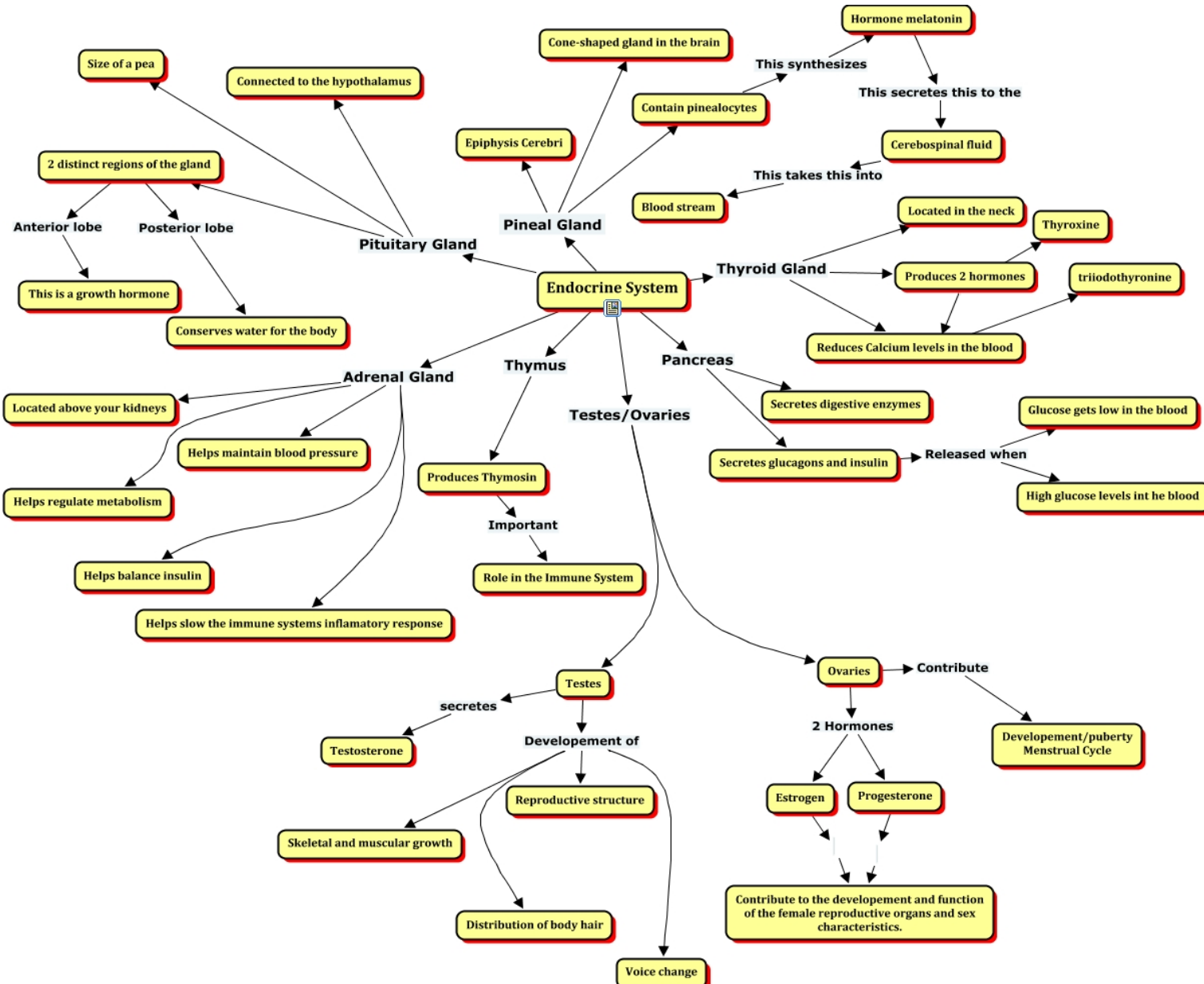
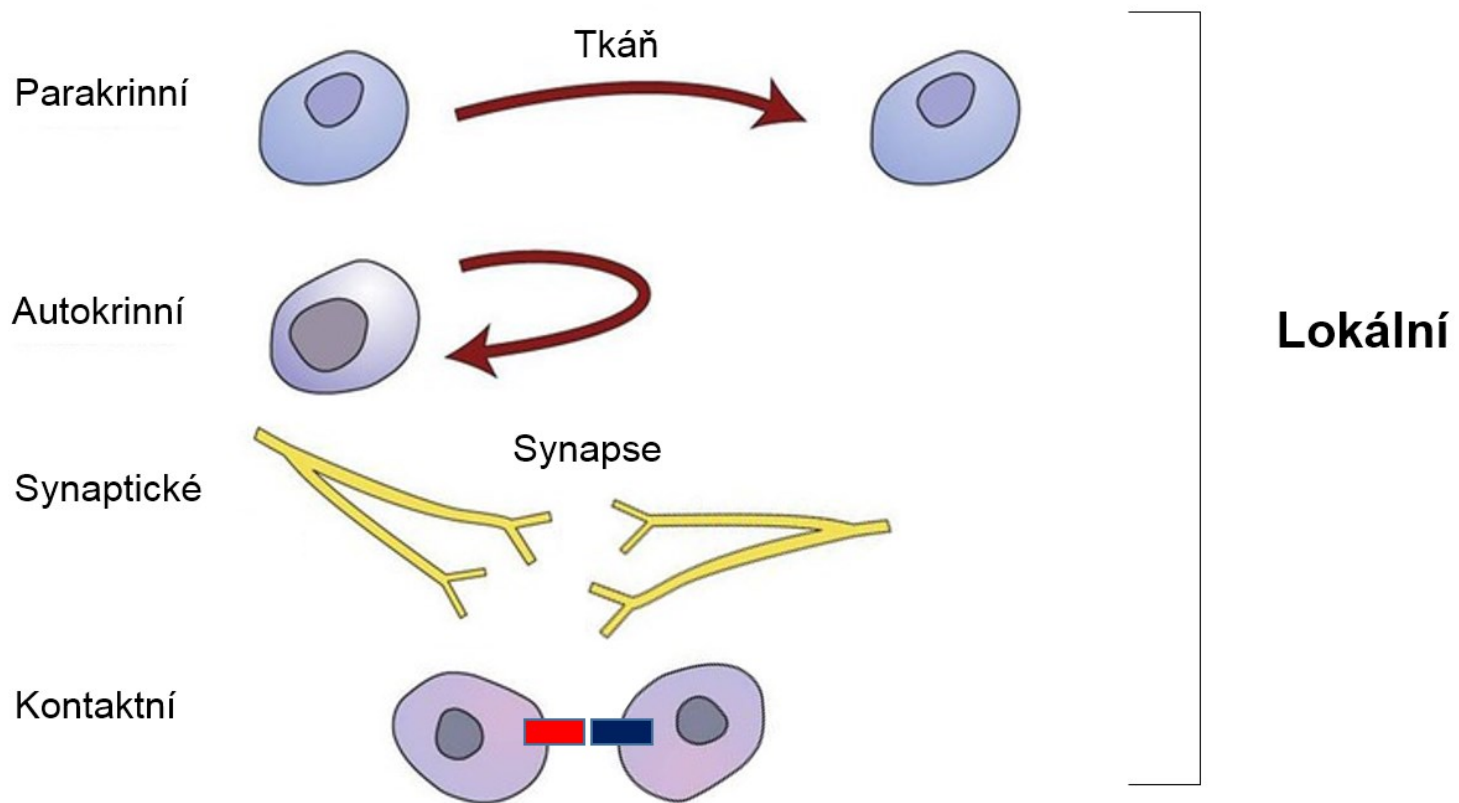


Endokrinní systém

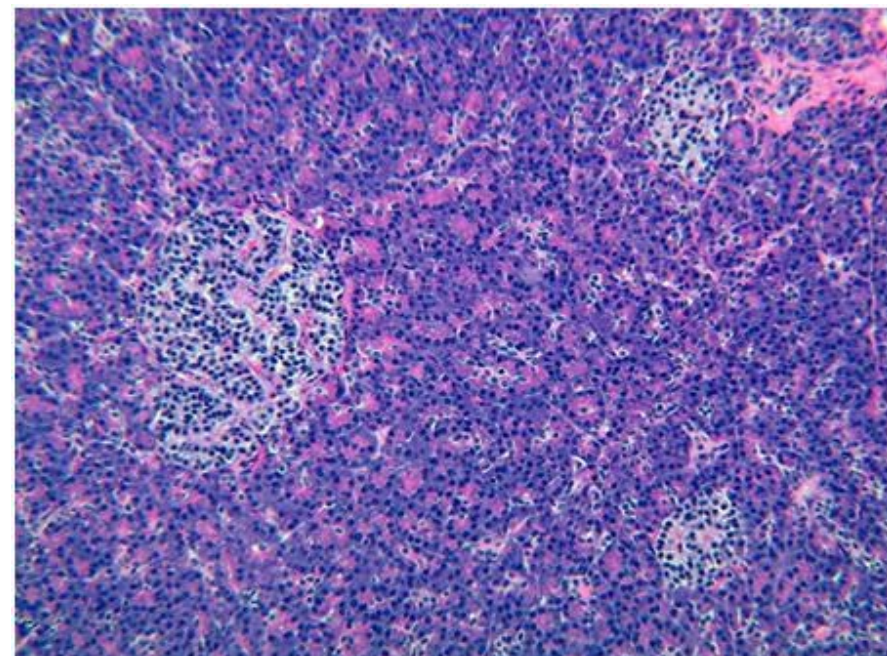
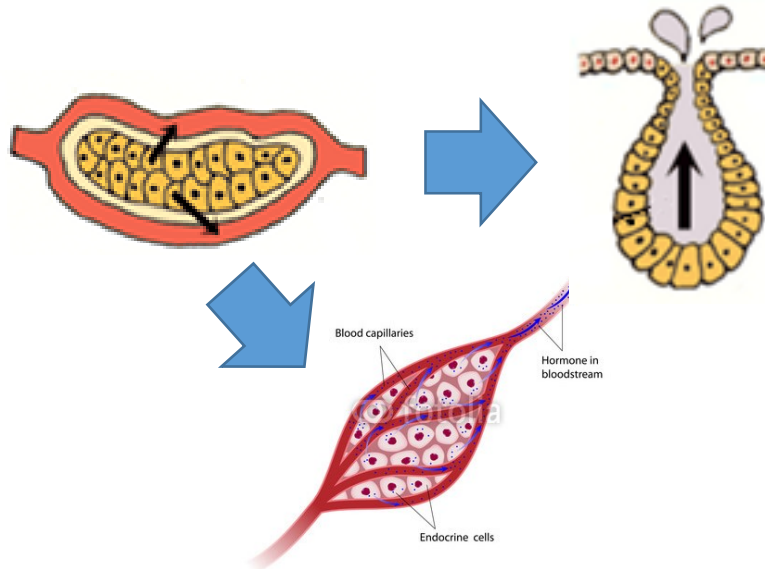


MEZIBUNĚČNÁ KOMUNIKACE



OBECNÉ VLASTNOSTI ENDOKRINNÍHO SYSTÉMU

- **ENDOKRINNÍ ORGÁNY** (např. hypofýza, štítná žláza, příštitná tělíska, nadledviny)
- **ENDOKRINNÍ TKÁŇ jako součást JINÝCH ORGÁNŮ**
(pankreas, gonády, ledviny, placenta)
- **IZOLOVANÉ ENDOKRINNÍ BUŇKY (DNES, APUD)**
- **NEUROENDOKRINNÍ BUŇKY**
- **Jednotné vývojové schéma endokrinních žláza**
 - invaginace různých epitelů, které ztratily kontakt s původní tkání
 - na rozdíl od exokrinních žláz nemají vývod

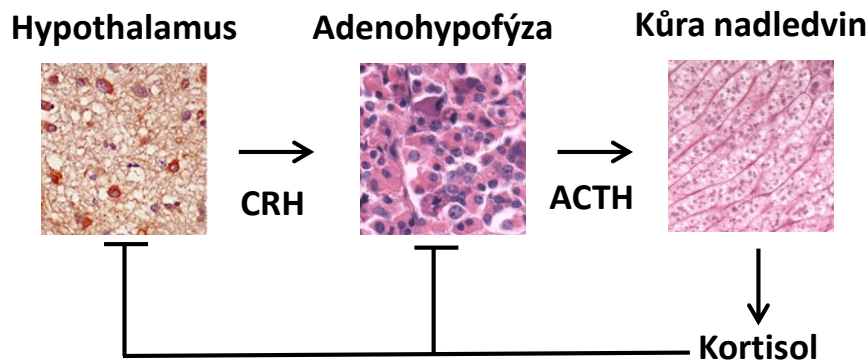


JAK JE ŘÍZENÁ SEKRECE HORMONŮ?

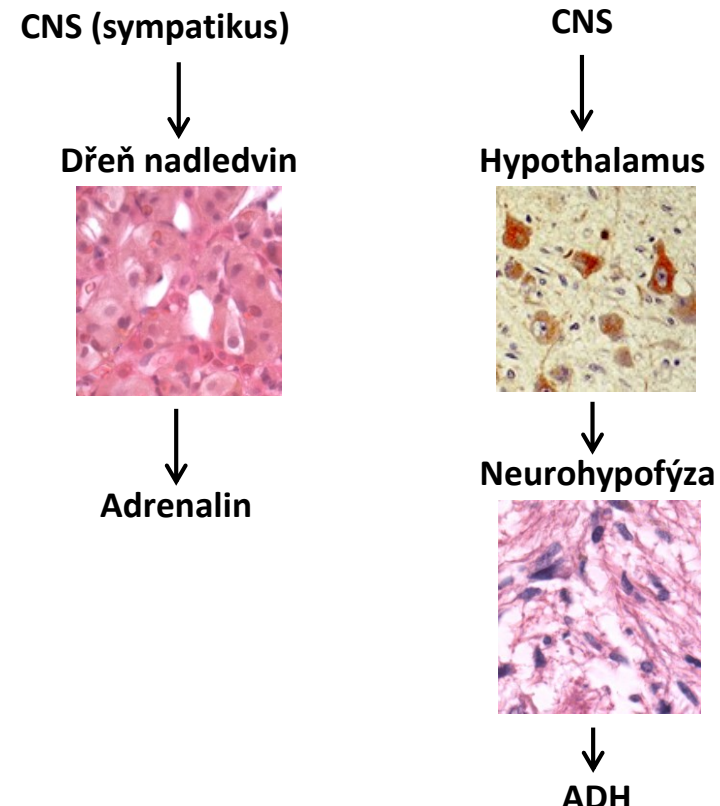
1. Negativní zpětná vazba změnou metabolického stavu



2. Negativní zpětná vazba zvýšením koncentrace sekretovaného hormonu

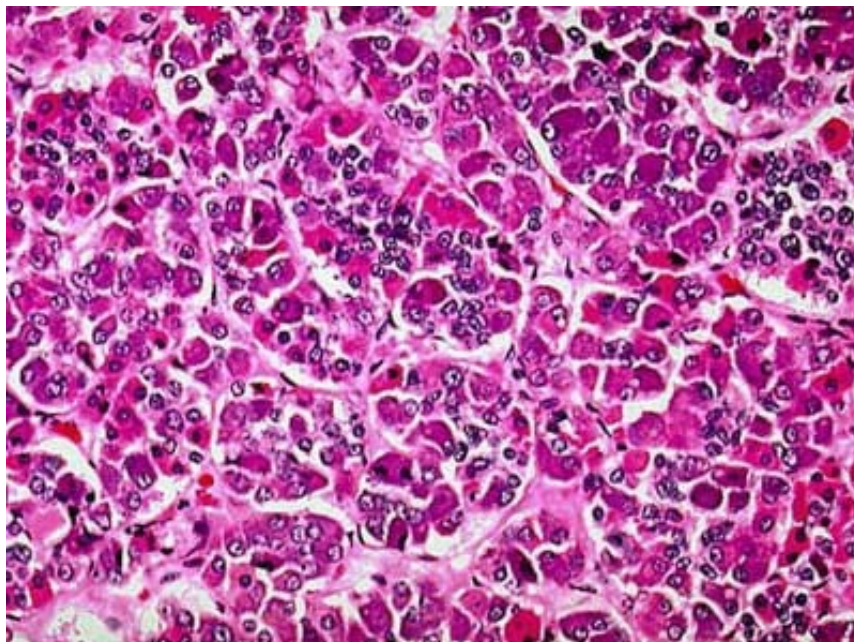


3. Nervovým systémem – přímou inervací



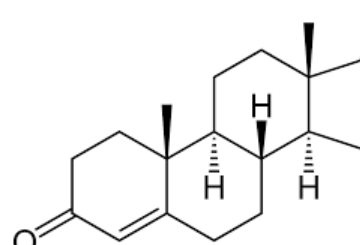
OBECNÁ MORFOLOGIE ENDOKRINNÍCH ORGÁNŮ

- **Vazivové pouzdro + septa**
- Trámce žlázového epitelu nebo **folikuly** nebo **skupinky** žlázových buněk
- **Kapilární síť**
 - Fenestrované kapiláry
 - Sinusoidy

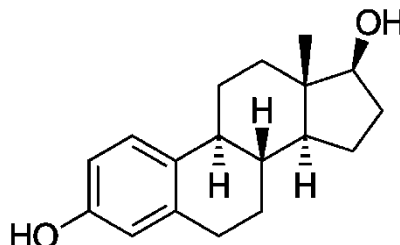


OBECNÉ VLASTNOSTI HORMONŮ

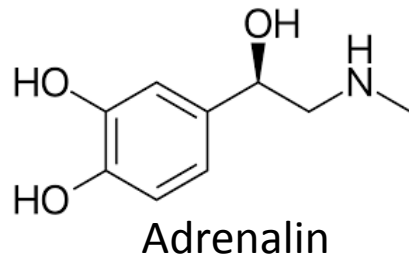
- **Steroidy** – hydrofobní, cytoplazmatické nebo jaderné receptory (pohlavní hormony, kortikoidy)
- **Proteiny a polypeptidy** – hydrofilní, receptory na buněčné membráně (insulin, hormony adenohypofýzy, PTH, ...)
- **Malé peptidy** (ADH, vasopresin)
- **Aminokyseliny** a jejich deriváty (adrenalin, noradrenalin, thyroxin)



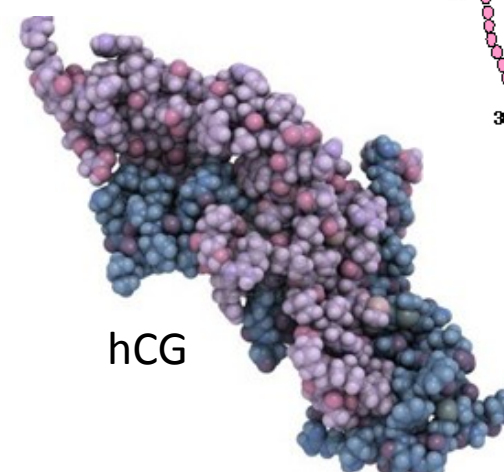
Testosteron



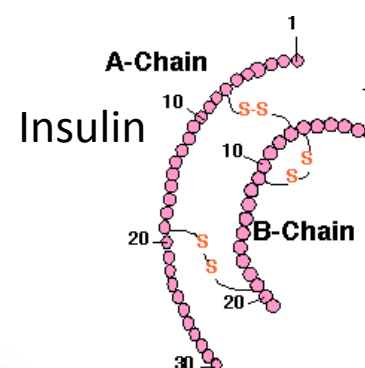
Estradiol



Adrenalin



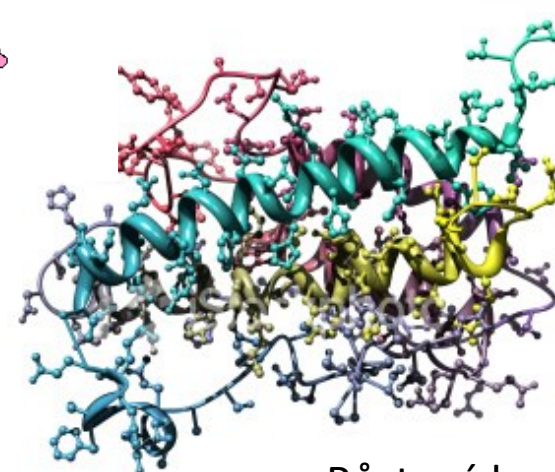
hCG



Insulin

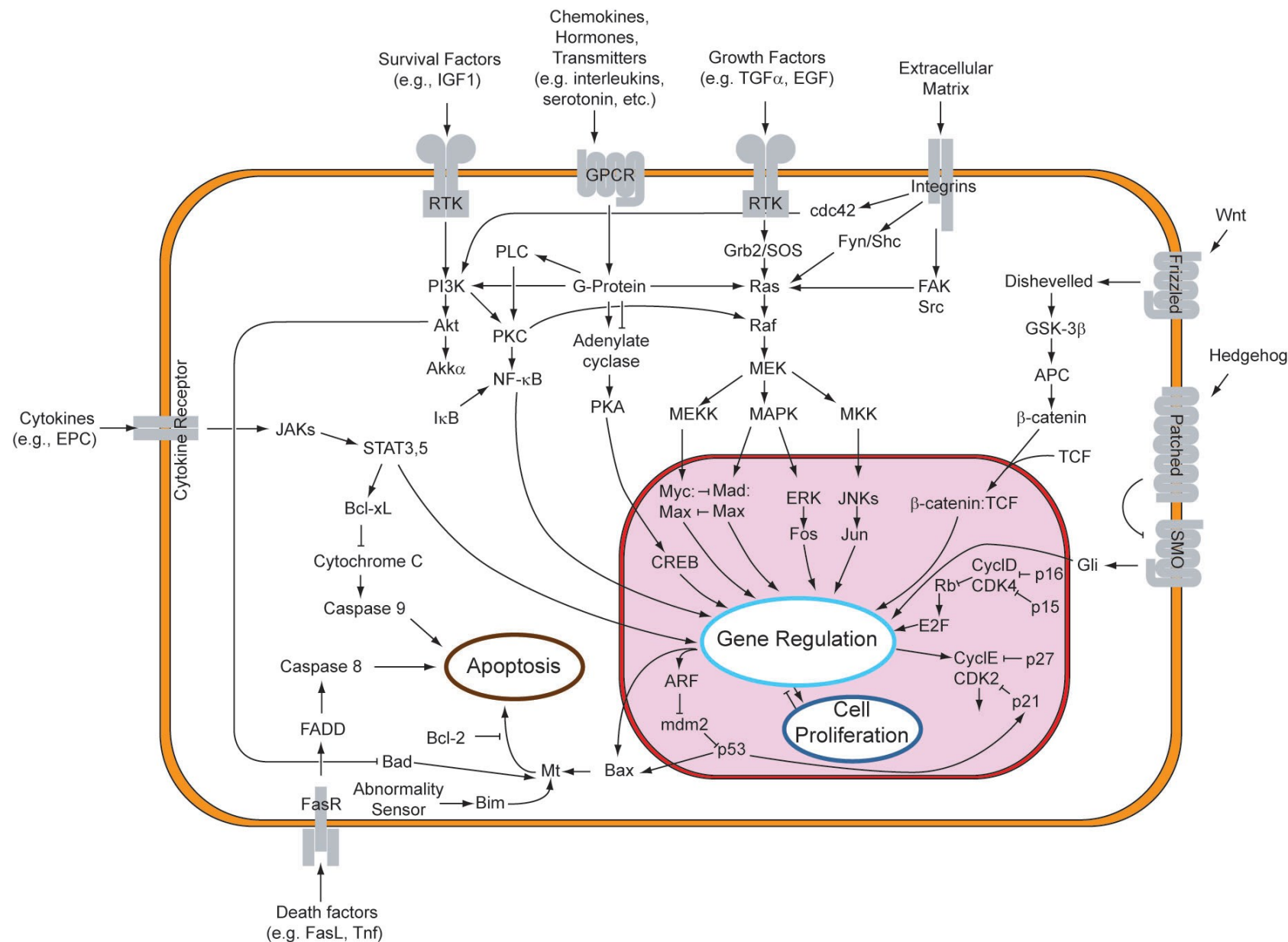


Melatonin

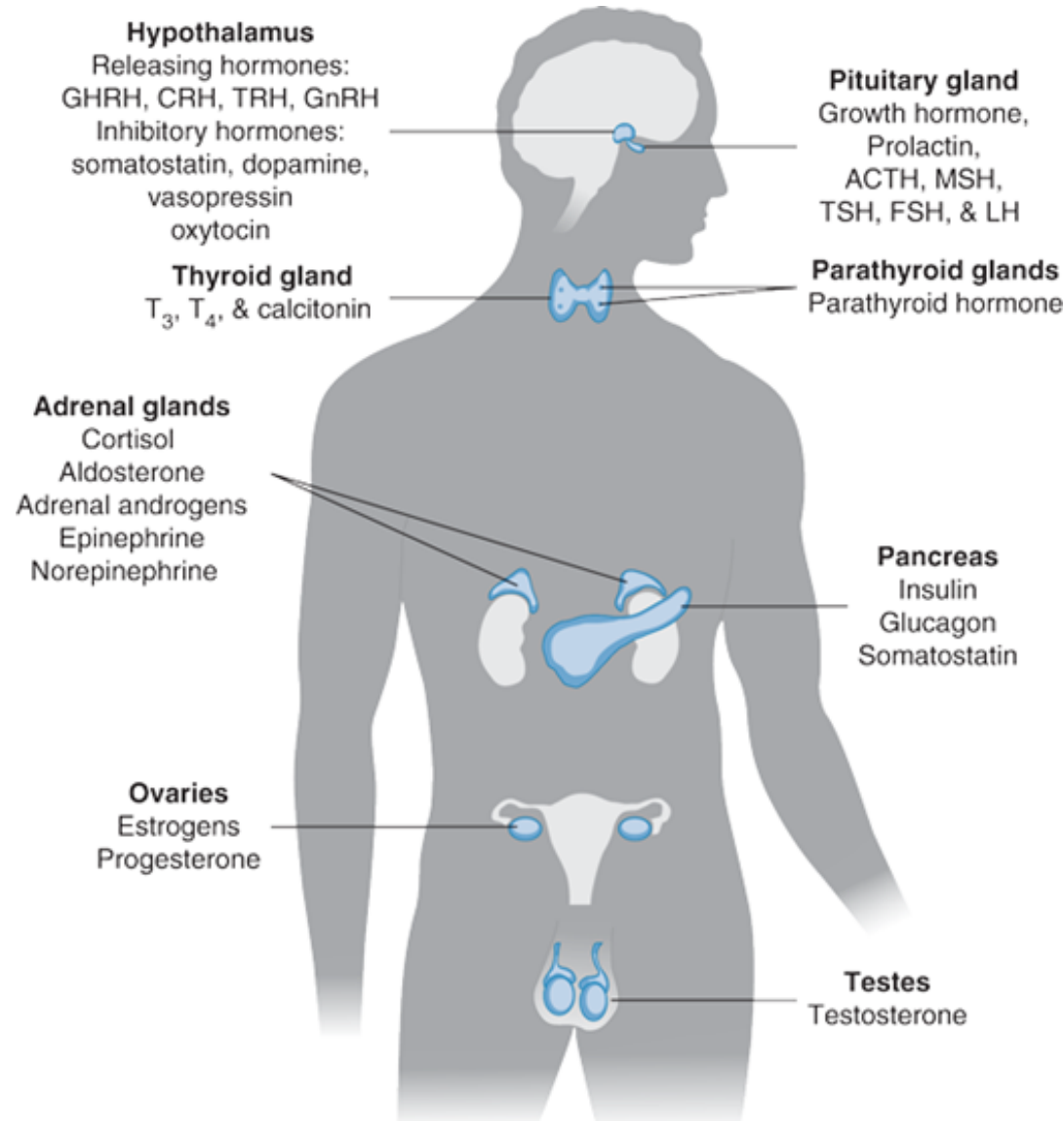


Růstový hormon

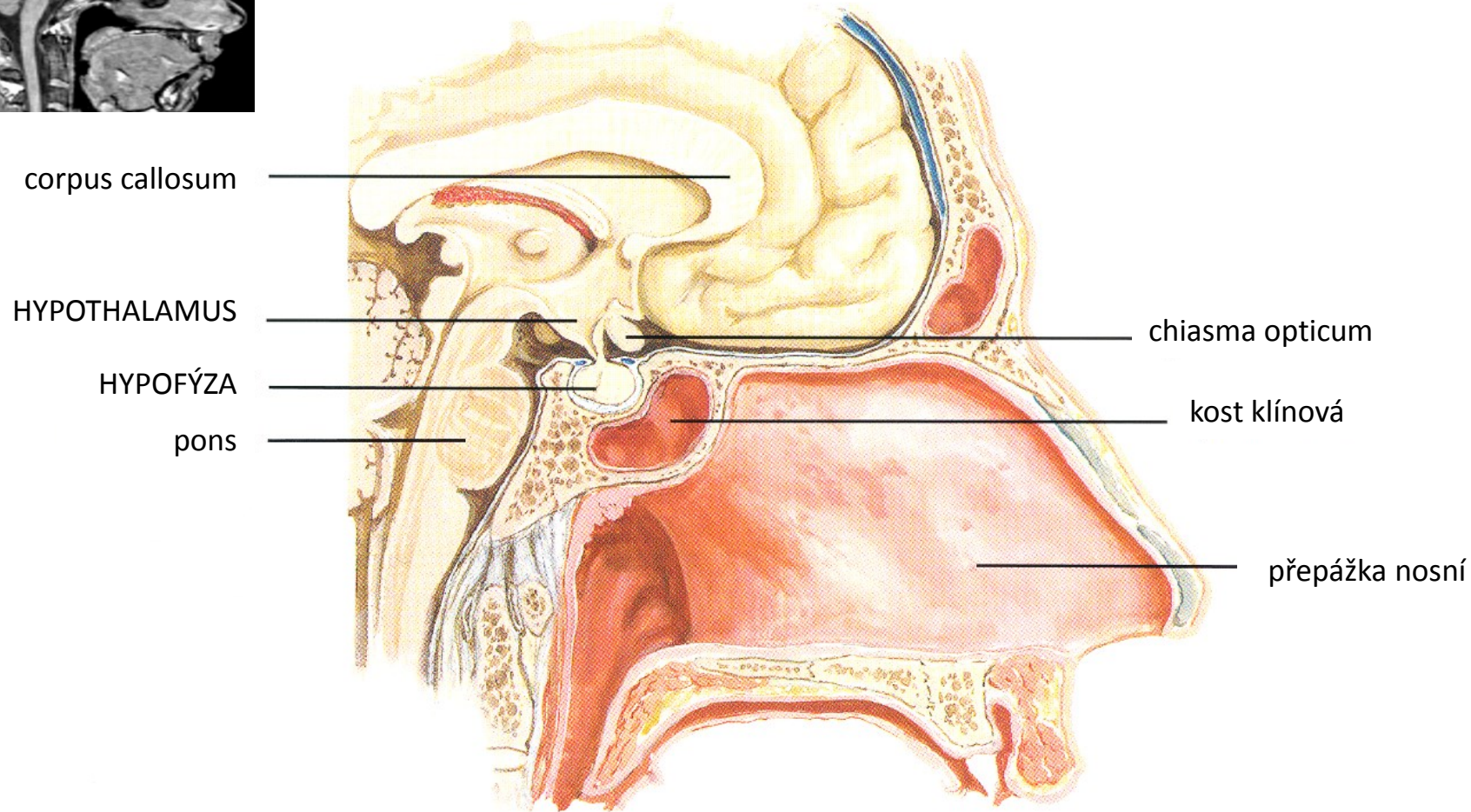
OBECNÉ VLASTNOSTI HORMONŮ



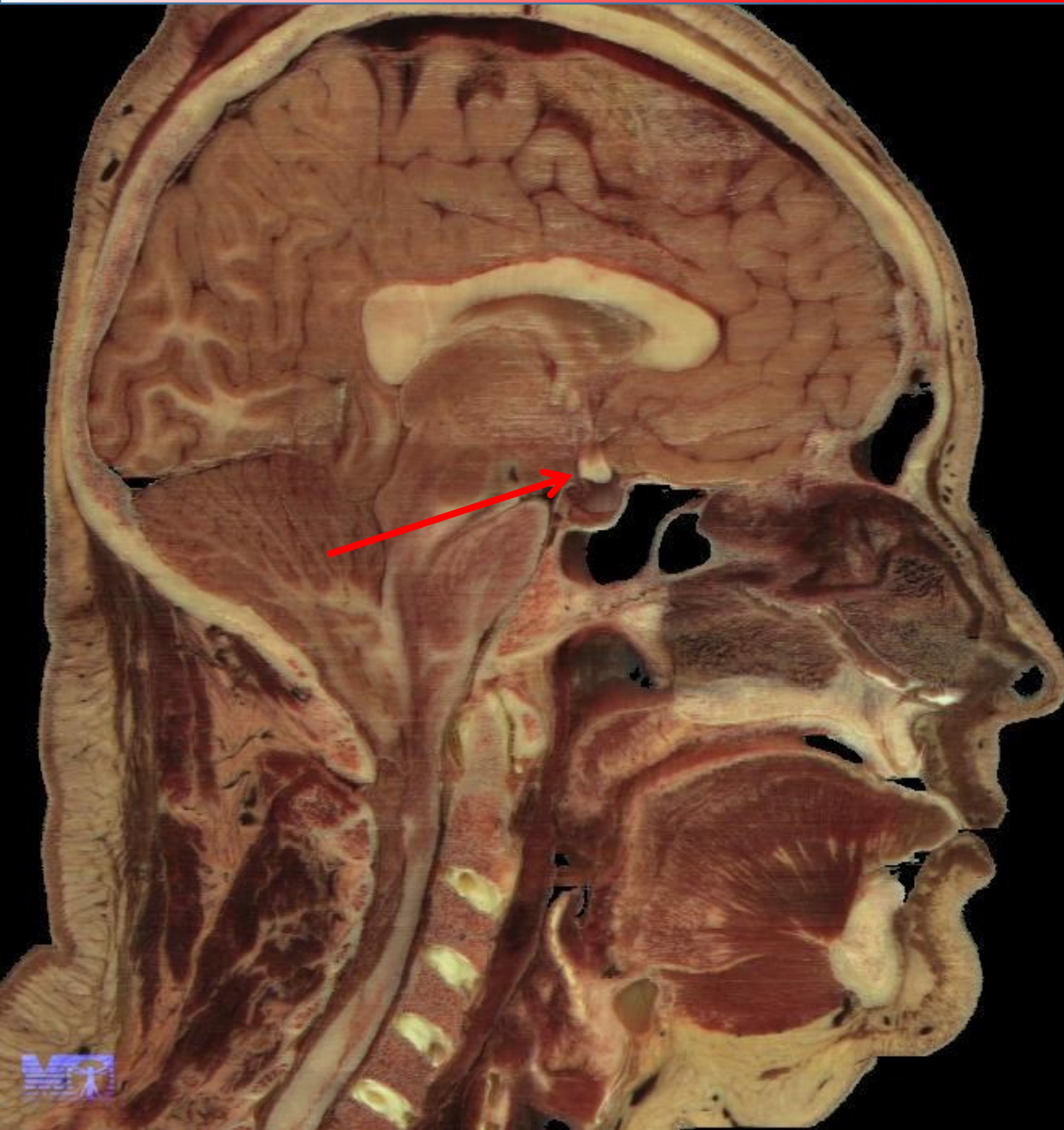
ENDOKRINNÍ ŽLÁZY



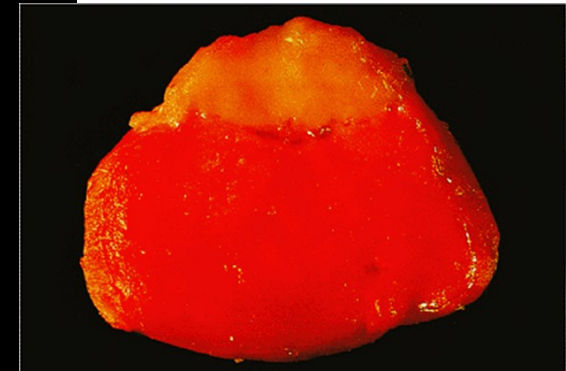
HYPOFÝZA (GL. PITUITARIA)



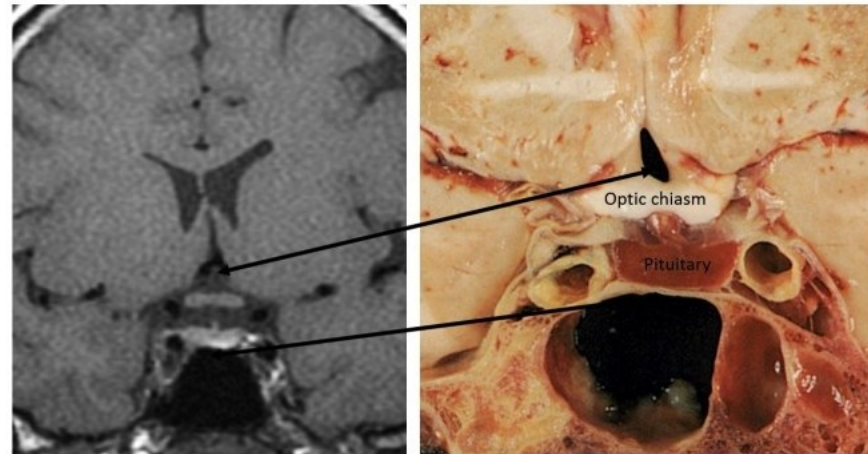
HYPOFÝZA (GL. PITUITARIA)



- hypothalamus
- sella turcica
- fossa hypophysialis
- optické chiasma



HYPOFÝZA (GL. PITUITARIA)



HYPOTHALAMUS



INFUNDIBULUM



ZADNÍ LALOK



Dolní hypofyzární arterie



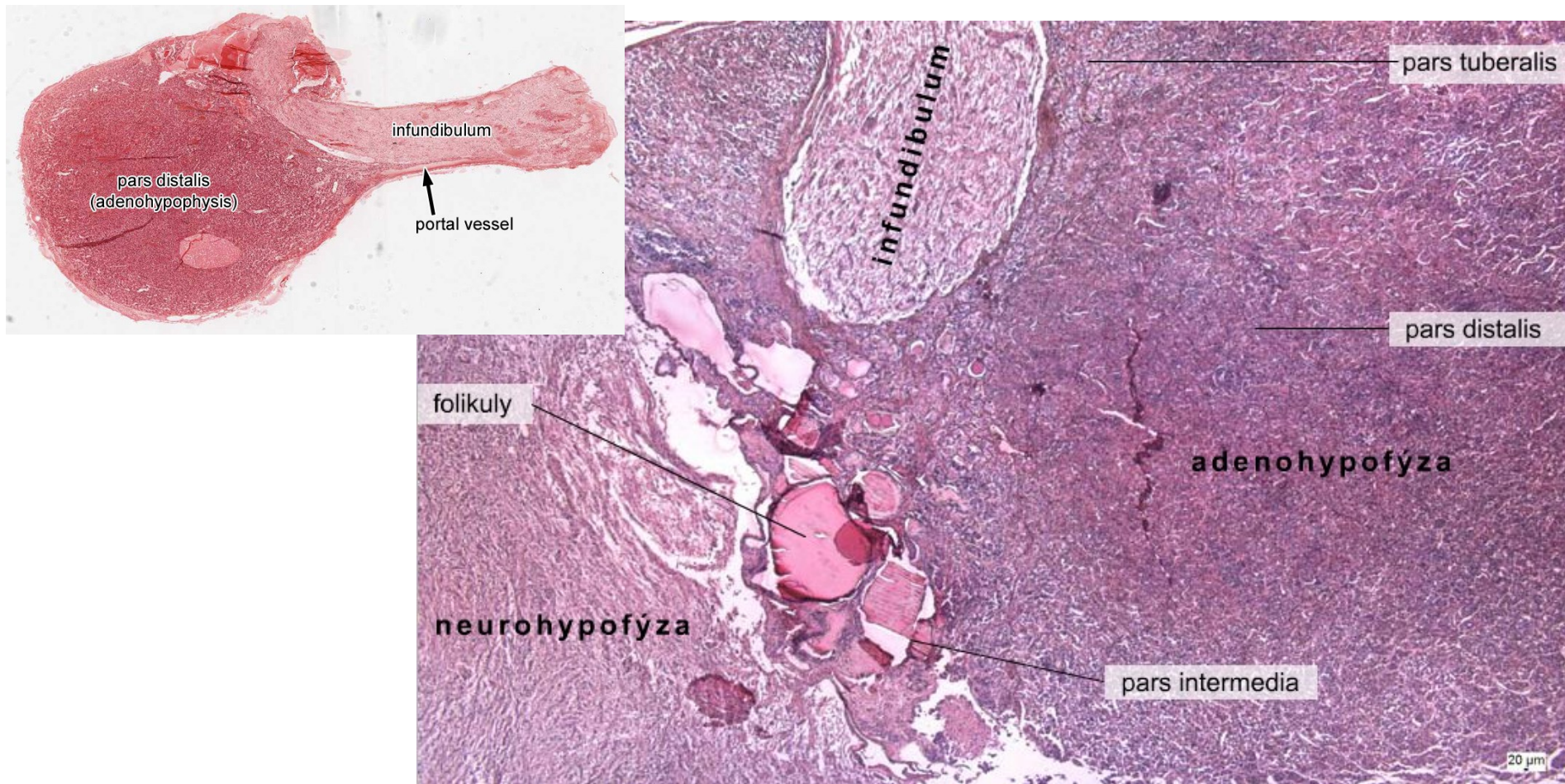
Dolní hypofyzární žíla

Sella turcica kosti klínové

J. Nettekoven M.D.

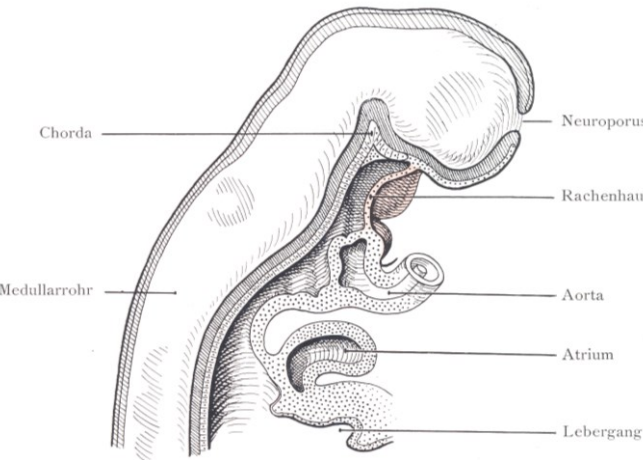
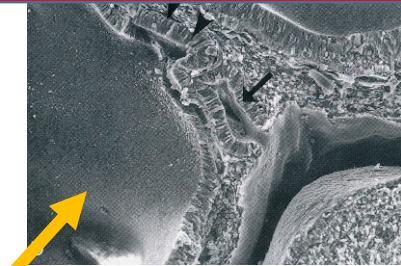
ZÁKLADNÍ STAVBA

- adenohypofýza (*pars distalis, pars tuberalis, pars intermedia*)
- neurohypofýza (*pars nervosa*)
- *infundibulum, eminentia mediana*

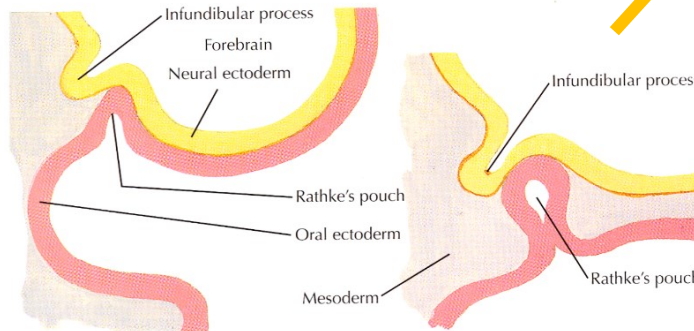


EMBRYONÁLNÍ VÝVOJ HYPOFÝZY

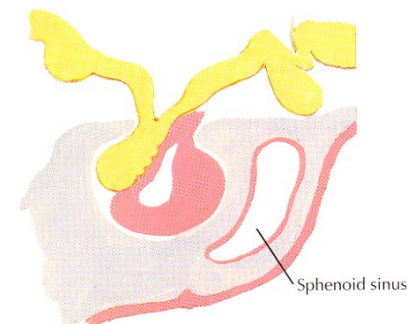
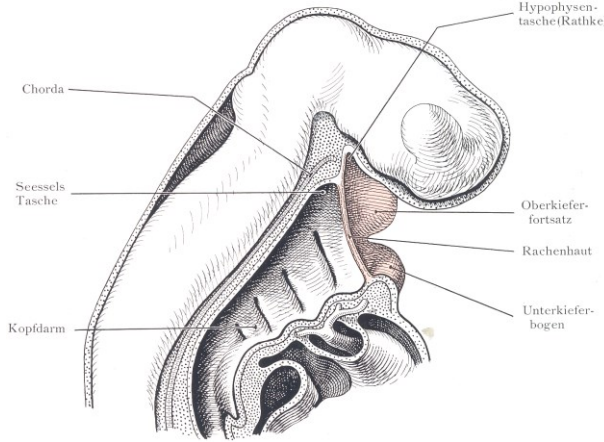
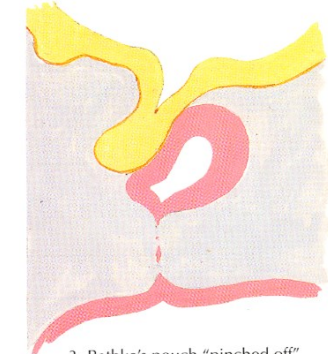
1. Ektoderm stomodea (Rathkeho výchlipka)
2. Neuroektoderm ventrální stěny diencefalonu



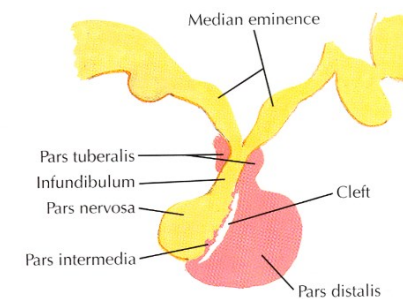
~3. týden



~6. týden



~11. týden



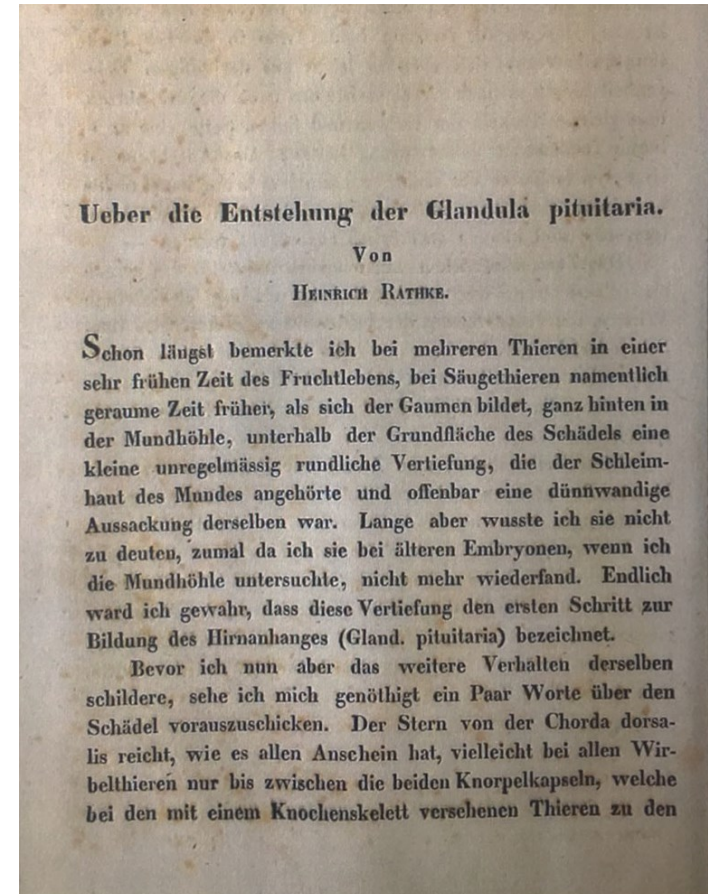
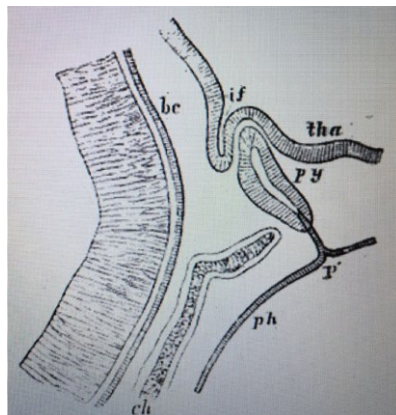
~16. týden

L. Náležný M.D.

Martin Heinrich Rathke (1793 – 1860)



- Lékař, anatom, embryolog, zoolog
- Jeden z otců zakladatelů moderní embryologie



"For a long time I have observed in several animals ... a small irregularly rounded depression which belongs to the mucous membrane of the mouth, of which it is clearly a thin-walled outpocketing. ... Finally I saw that this depression represents the first step in the formation of the pituitary gland" (p. 482).

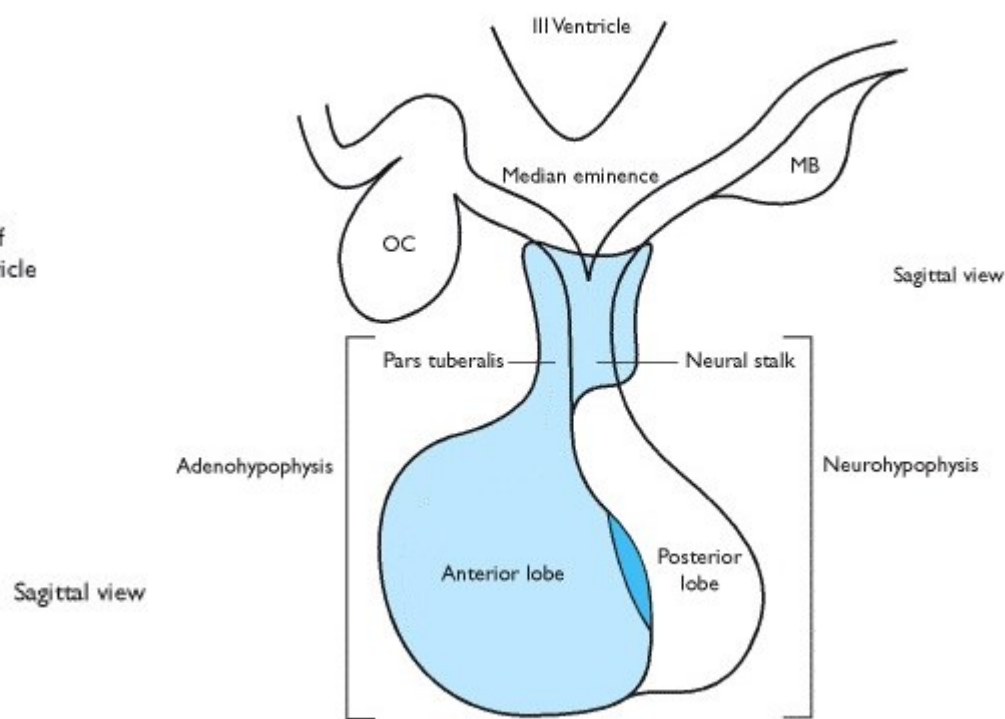
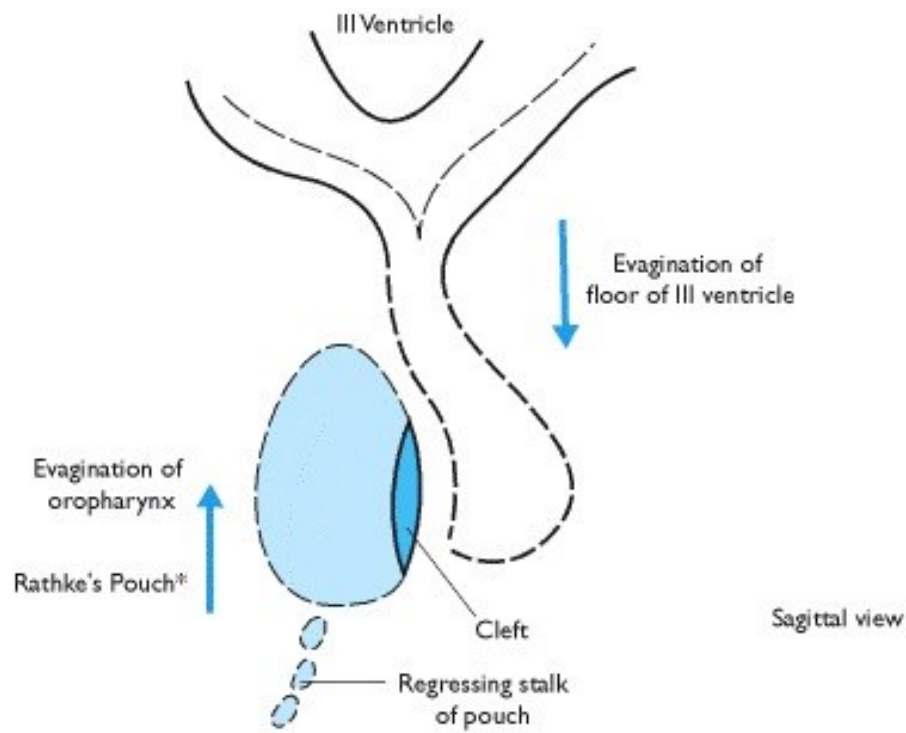
Rathke, H. : *Ueber die Entstehung der glandula pituitaria. Arch, f. Anat., Phys. und wiss. Med. S. 482-85.* **1838**

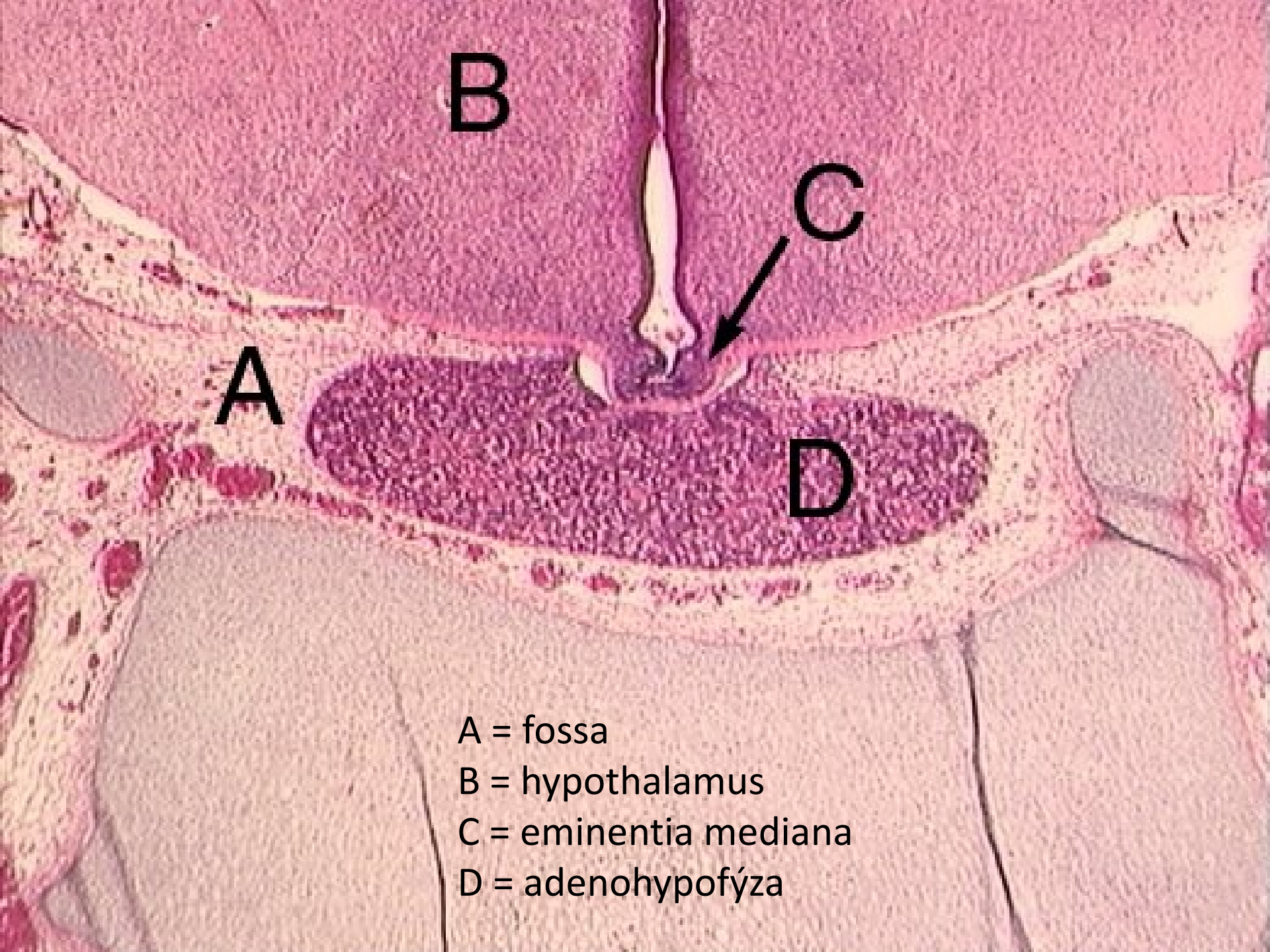
EMBRYONÁLNÍ VÝVOJ HYPOFÝZY

Development of the Hypophysis



4. týden - Rathkeho výchlipka
5. týden - růst, kontakt s divertikulem prosencephalonu (infundibulum)
6. týden - spojení Rathkeho výchlipky a stomodea zaniká
10. týden - detekovatelné hladiny GH a ACTH
16. týden - adenohypofýza plně diferencovaná





A = fossa

B = hypothalamus

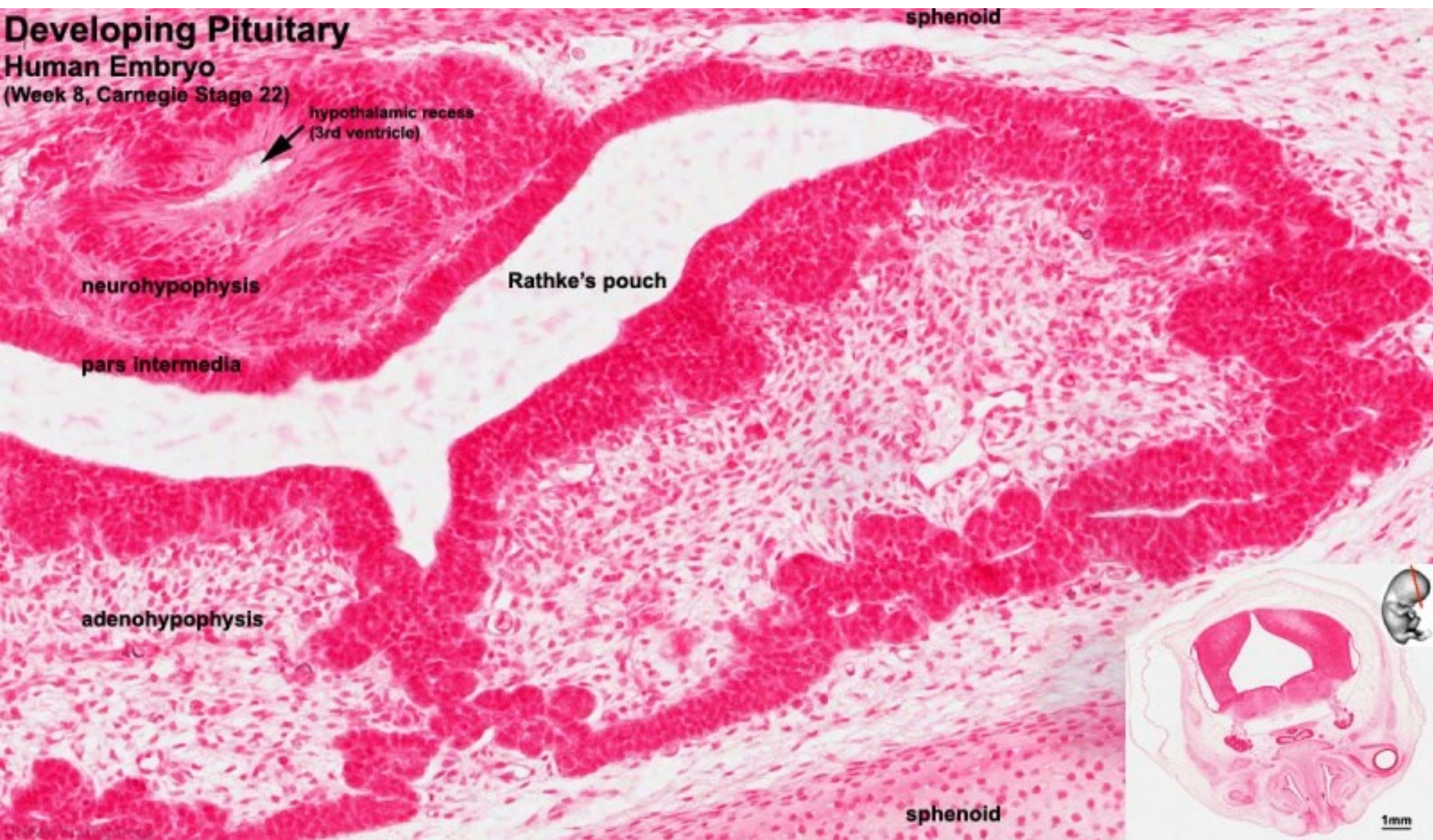
C = eminentia mediana

D = adenohypofýza

Developing Pituitary

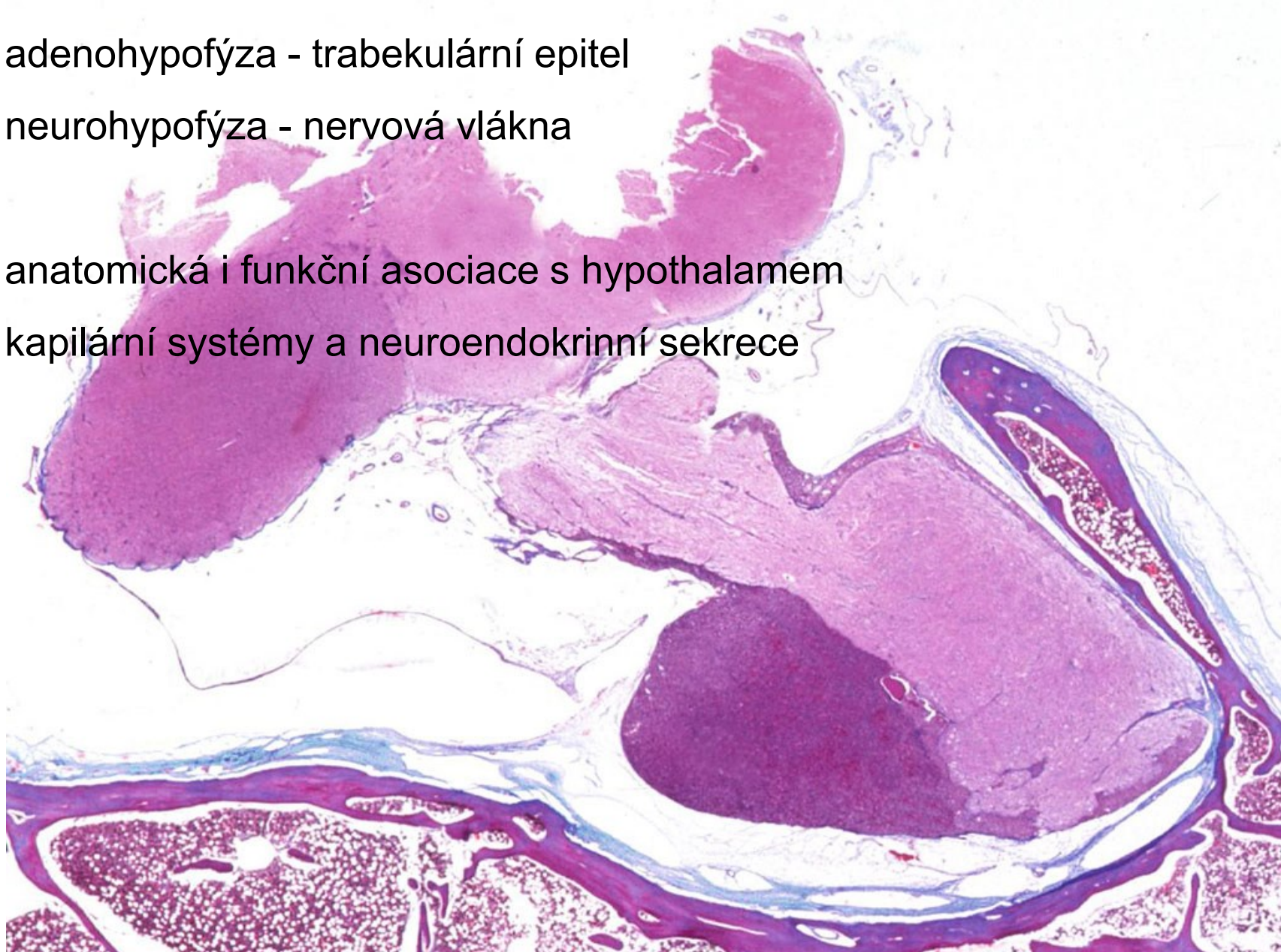
Human Embryo

(Week 8, Carnegie Stage 22)



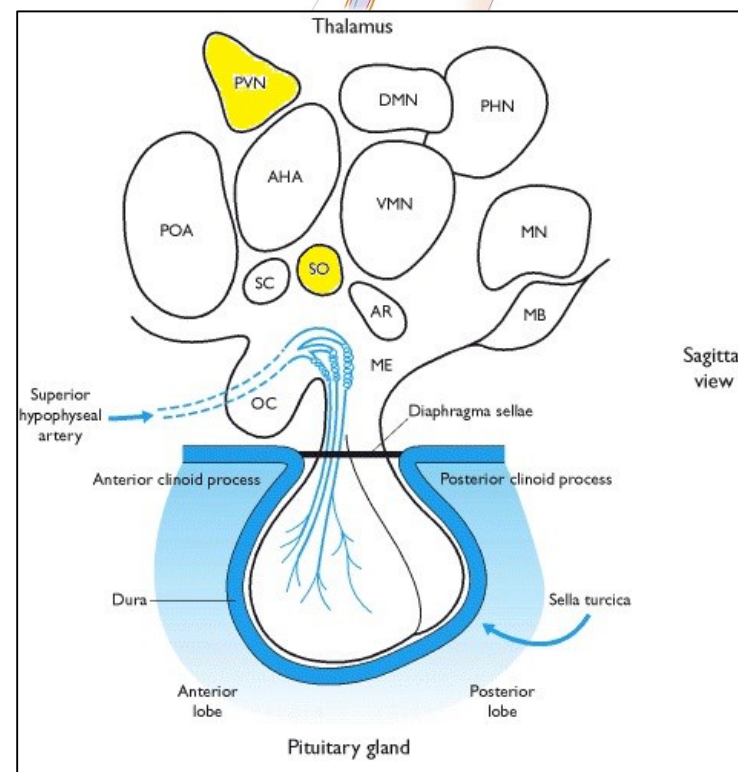
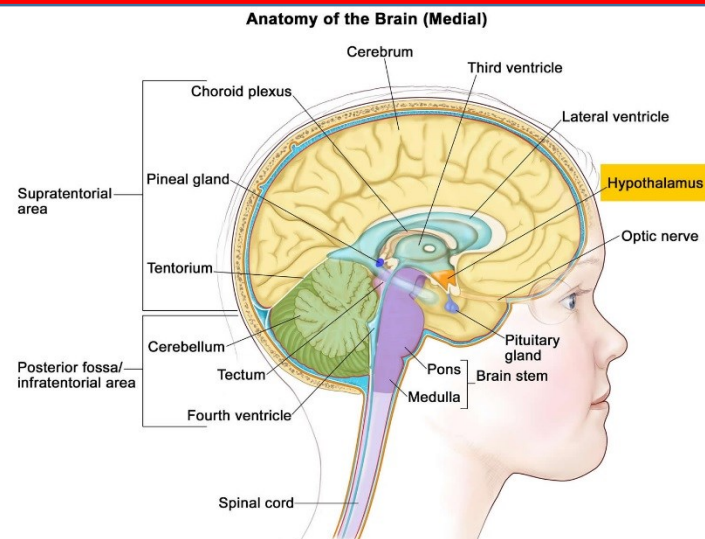
MIKROSKOPICKÁ STAVBA HYPOFÝZY

- adenohypofýza - trabekulární epitel
- neurohypofýza - nervová vlákna
- anatomická i funkční asociace s hypothalamem
- kapilární systémy a neuroendokrinní sekrece



HYPOTHALAMUS

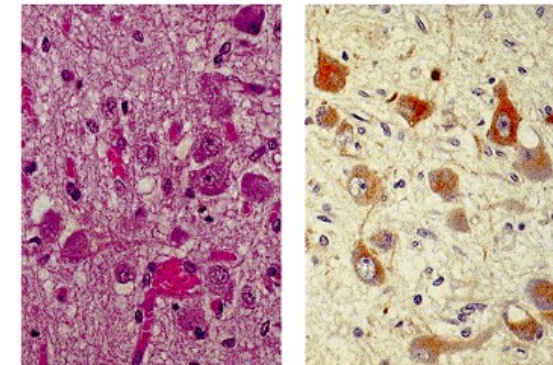
- malá oblast diencephala se složitou neuroarchitekturou, limbický systém
- komplexní funkce
- regulace teploty, emocí, příjmu potravy, cirkadiánních rytmů
- hormonální regulace na základě různých podnětů (osmorecepce, koncentrace živin, elektrolytů, systémové funkce - bolest)
- **neurosekrece z hypothalamických jader**
- *n. supraopticus, n. paraventricularis:* magnocelulární neurony → *tractus hypothalamo-hypophysialis*
- **hormony oxytocin, vasopresin vylučované neurohypofýzou**
- parvocelulární neurony → *kapiláry eminentia mediana*
- **hormony statiny a liberiny řídící sekreci z adenohypofýzy**



MECHANISMUS SEKRECE

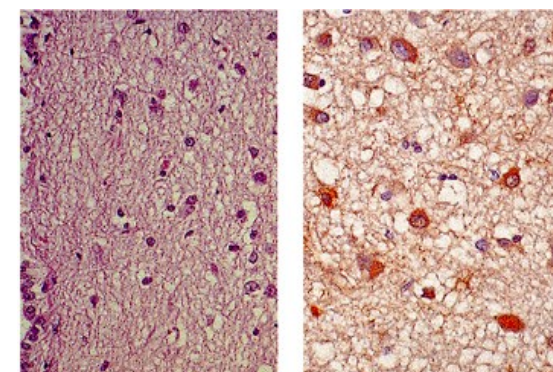
Tractus hypothalamo-hypophysialis

- axony magnocelulárních neuronů v *nucleus supraopticus* a *paraventricularis*
- zakončení na fenestrovaných kapilárách v neurohypofýze
- syntéza prohormonů, během axonálního transportu → maturace
- kapilární plexus z *a. hypophysialis inferior* (větve *a. carotis interna*) → *sinus cavernosus*



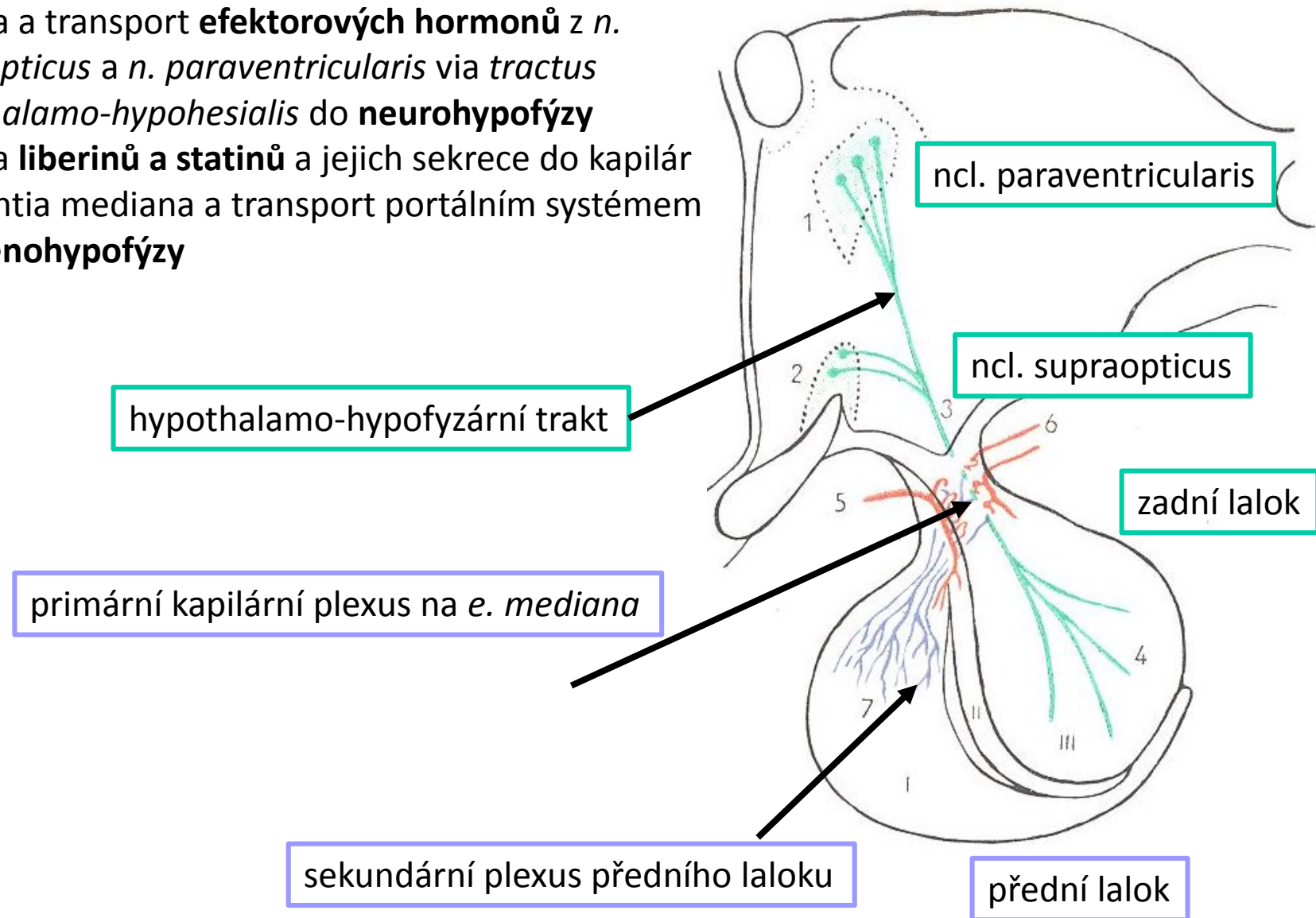
Hypofyzární portální systém

- parvocelulární neurony např. *nucleus arcuatus*, *preopticus*, *paraventricularis* a *nuclei tuberales*
- axonální transport na primární kapilární plexus (z předních a zadních *a. hypophysiales superior* - větve *a. carotis interna*; anastomózy s *a. hypophysialis inferior*) v *eminencia mediana* → hypofyzární portální véna (*v. portalis hypophysialis*) → sekundární kapilární plexus v adenohypofýze → *v. lobi anterioris* → *sinus cavernosus* → *v. jugularis interna*

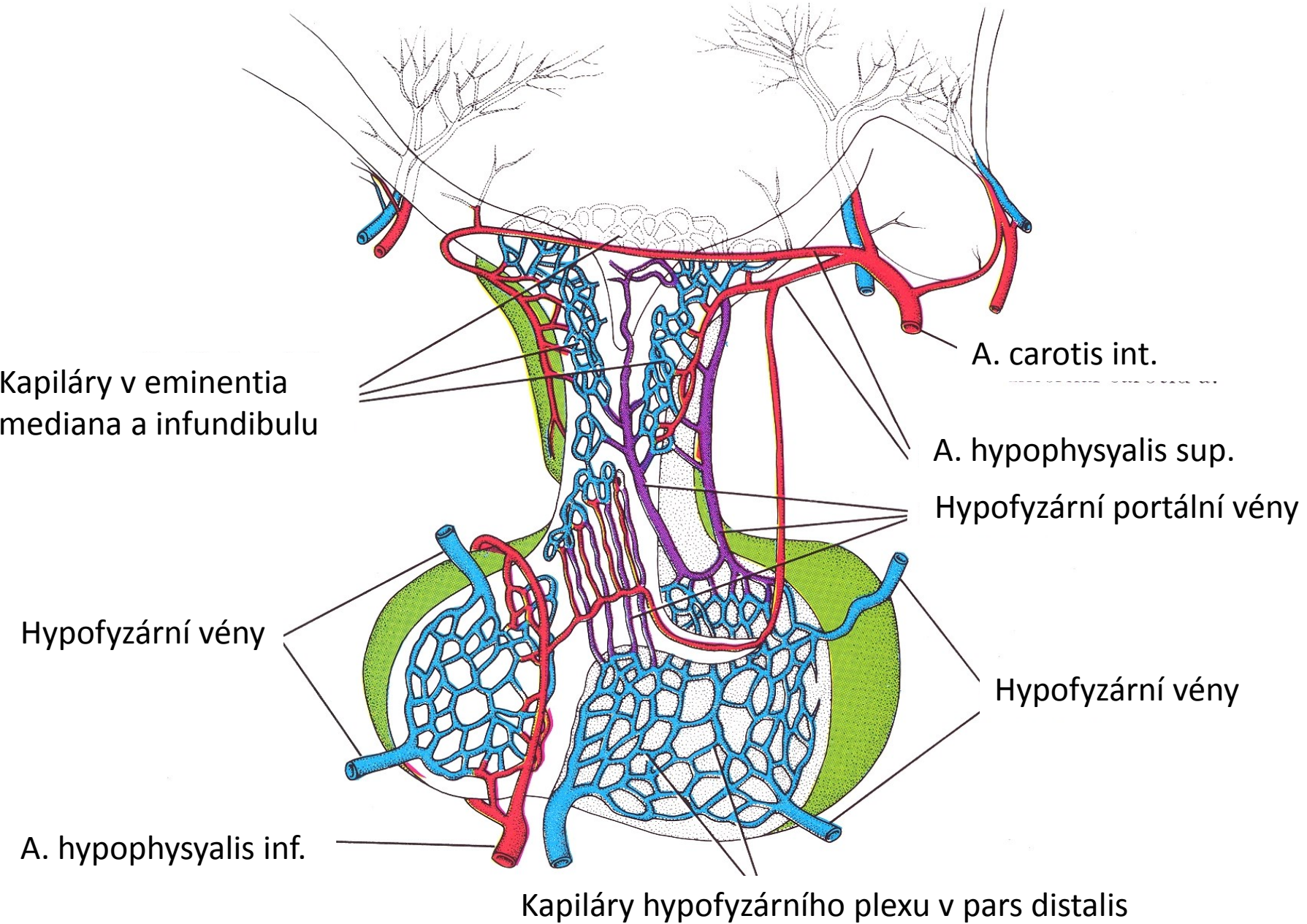


MECHANISMUS NEUROSEKRECE

- syntéza a transport **efektorových hormonů** z *n. supraopticus* a *n. paraventricularis* via *tractus hypothalamo-hypophesialis* do **neurohypofýzy**
- syntéza **liberinů** a **statinů** a jejich sekrece do kapilár eminentia mediana a transport portálním systémem do **adenohypofýzy**

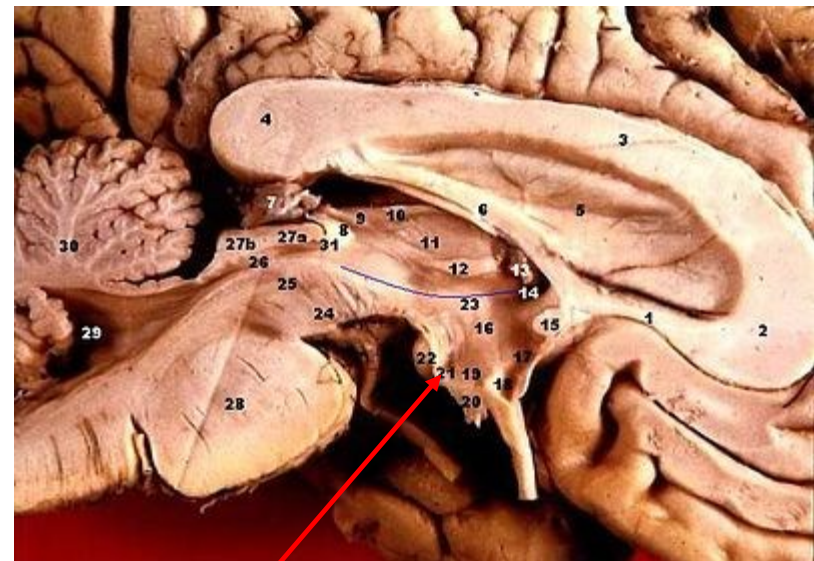
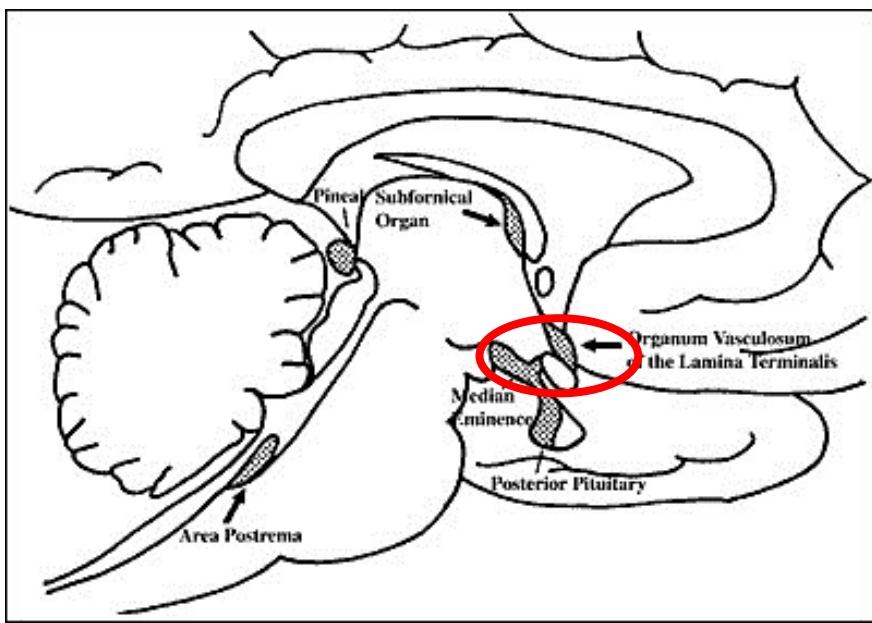


KAPILÁRNÍ SYSTÉMY HYPOFÝZY



EMINENTIA MEDIANA

- vyvýšená část *tuber cinereum*, kde odstupuje infundibulum p. nervosa
- neurohemální oblast - není vytvořena hematoencefalická bariéra
- fenestrované kapiláry s širokými perivaskulárními prostory

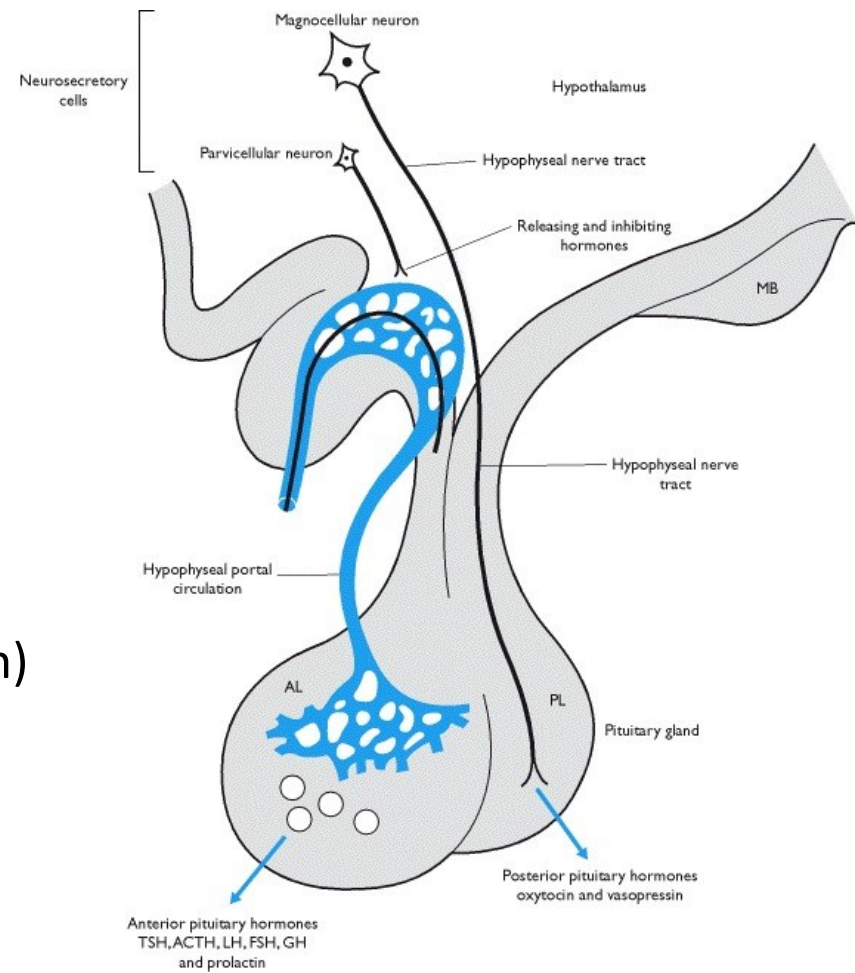


NEUROHYPOFÝZA

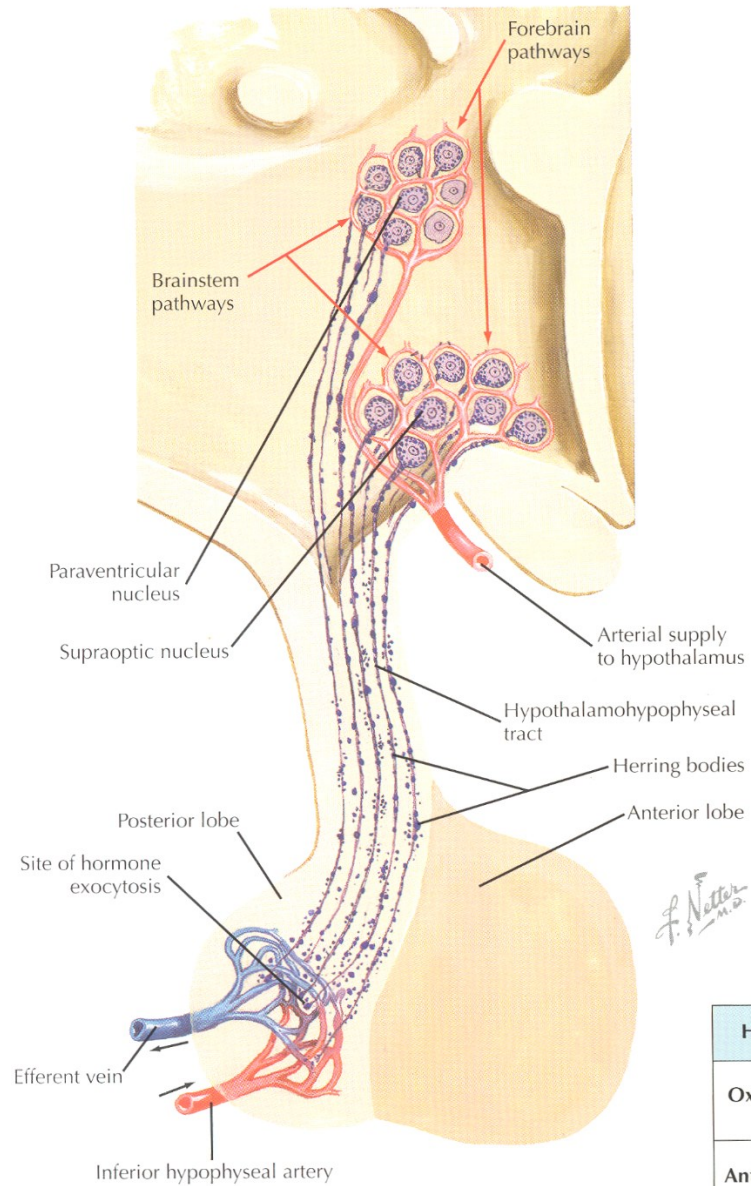
- **nemyelinizovaná nervová vlákna**
 - axony neurosekrečních buněk (100 000) hypotalamických jader (*n. supraopticus* a *n. paraventricularis*)

- **pituicyty (neuroglie)**
 - astrocyty, sekrece z neureskerčních termini - lokální kontrola
 - **Herringova tělíska** – neurosekreční zakončení – dilatace poblíž kapilár

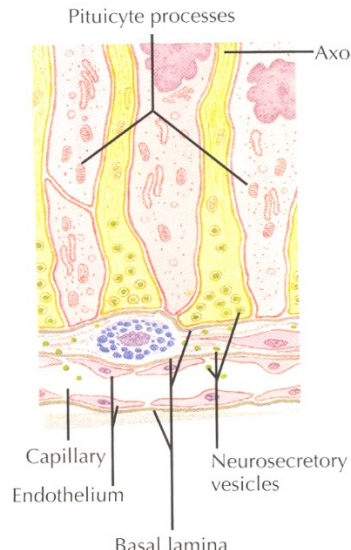
- **Hormony**
 - oxytocin (OT)
 - antidiuretický hormon (ADH, vasopresin)



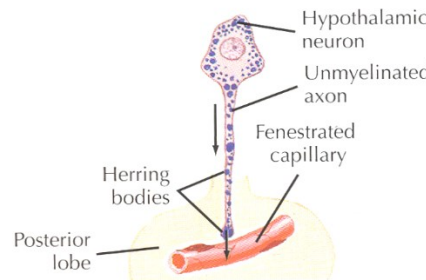
NEUROHYPOFÝZA



▼ Neurosecretory Ending (posterior pituitary).

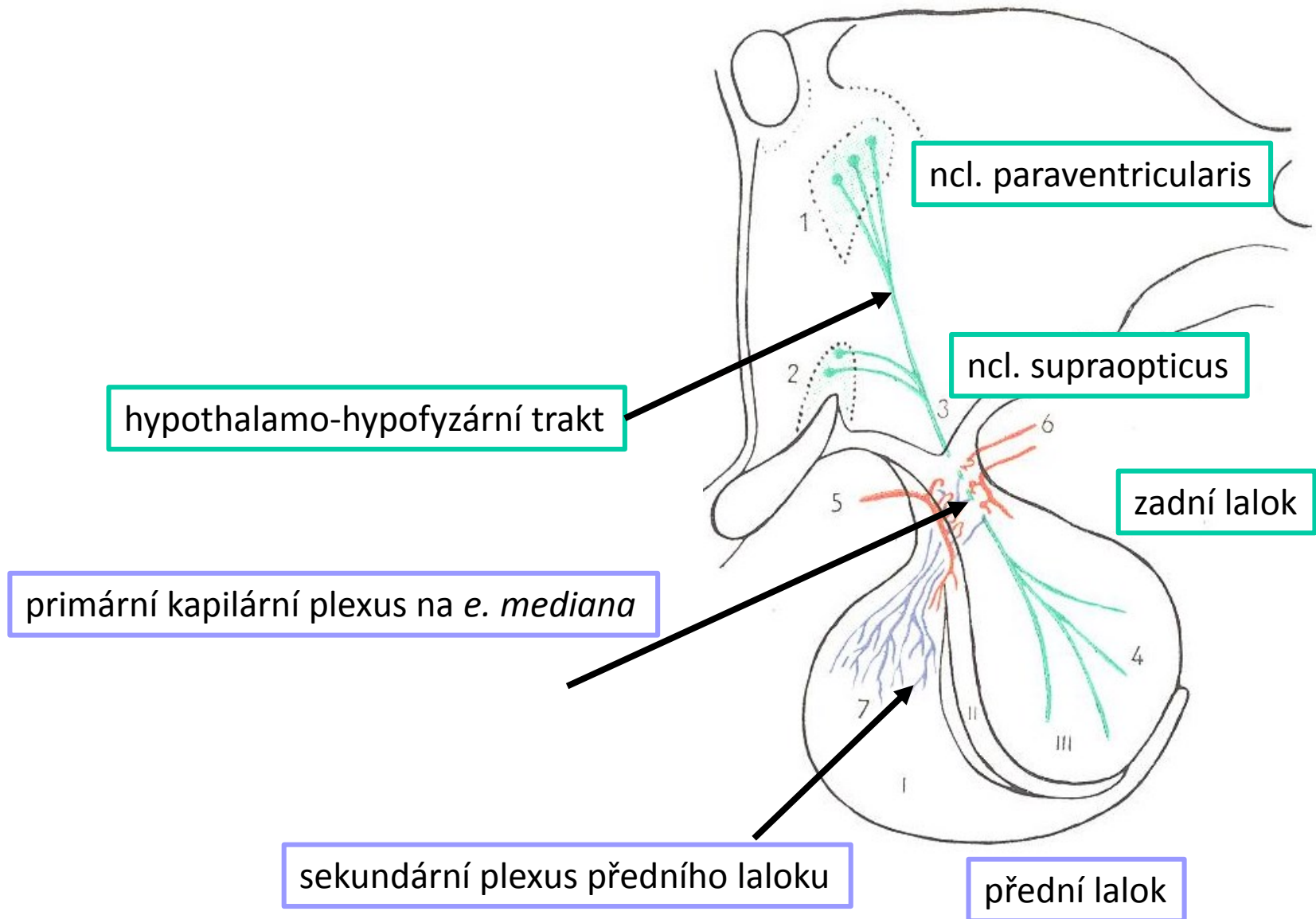


▼ Origin of ADH.

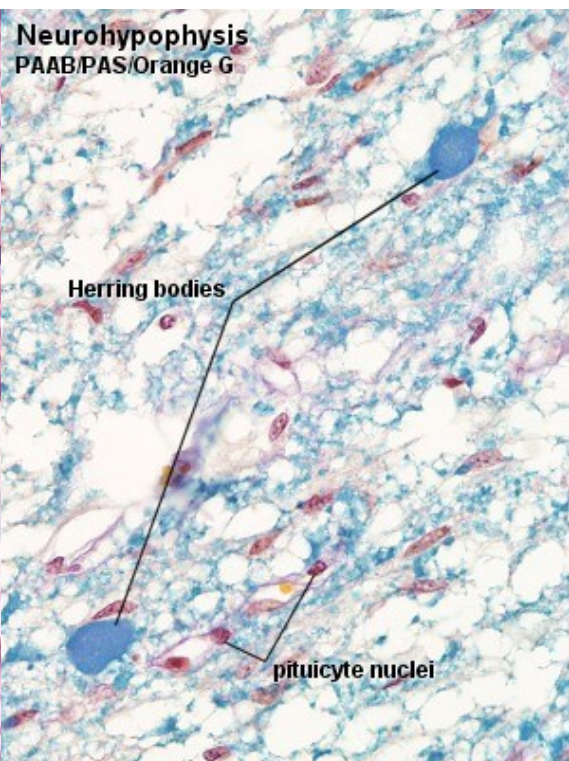
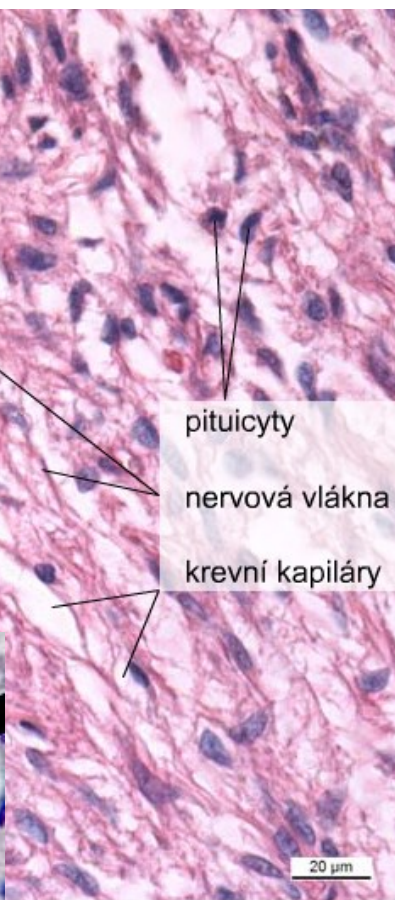
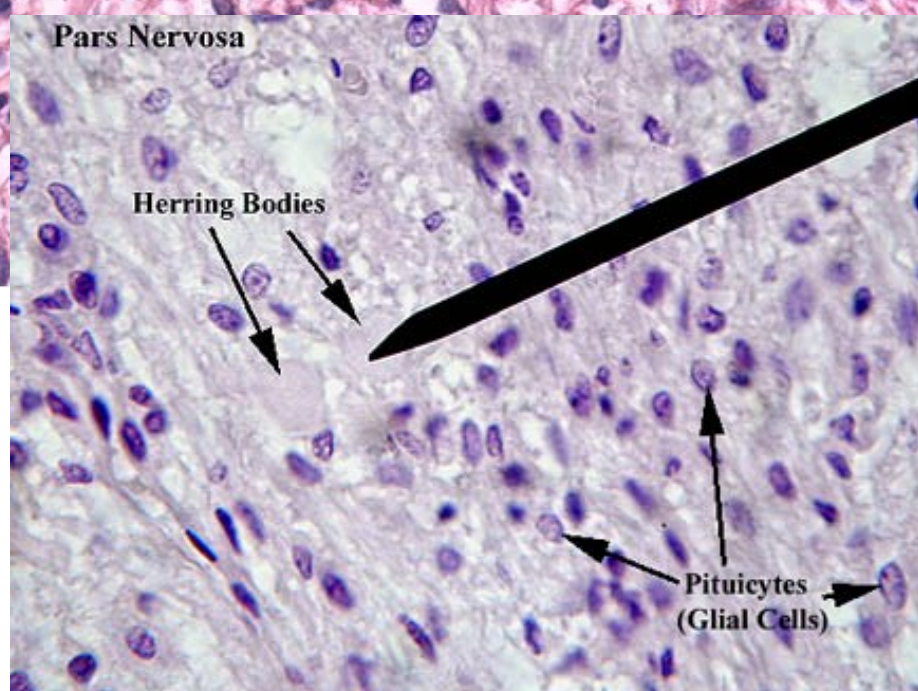


Hormone	Principal Action	Principal Nucleus of Origin
Oxytocin (OXY)	Uterine contraction, milk ejection	Paraventricular
Anti-diuretic hormone (ADH)	Water excretion in kidney, arteriolar constriction	Supraoptic

NEUROHYPOFÝZA



NEUROHYPOFÝZA

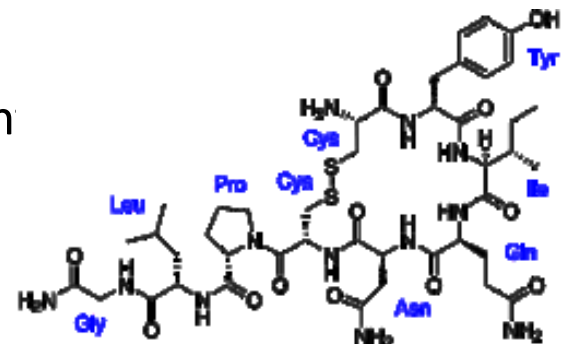


NEUROHYPOFÝZA – HERRINGOVA TĚLÍSKA



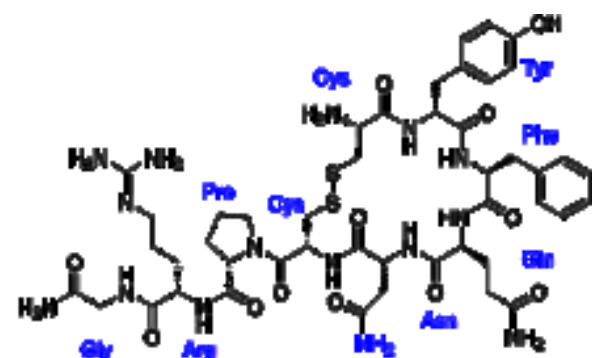
Oxytocin

- nonapeptid
- magnocellulární neurony n. supraopticus a paraventricularis
- OR - G-protein coupled receptor
- laktace (\rightarrow myoepitelie mléčné žlázy)
- kontrakce myometria
- behaviorální účinek



Vasopressin

- nonapeptid
- retence vody
- epithelie *t. reuniens* a *d. colligens*
- kontrakce svaloviny t. media cév
- diabetes insipidus, hypernatremia, polyuremia



Chromofilní buňky

- Acidofilní

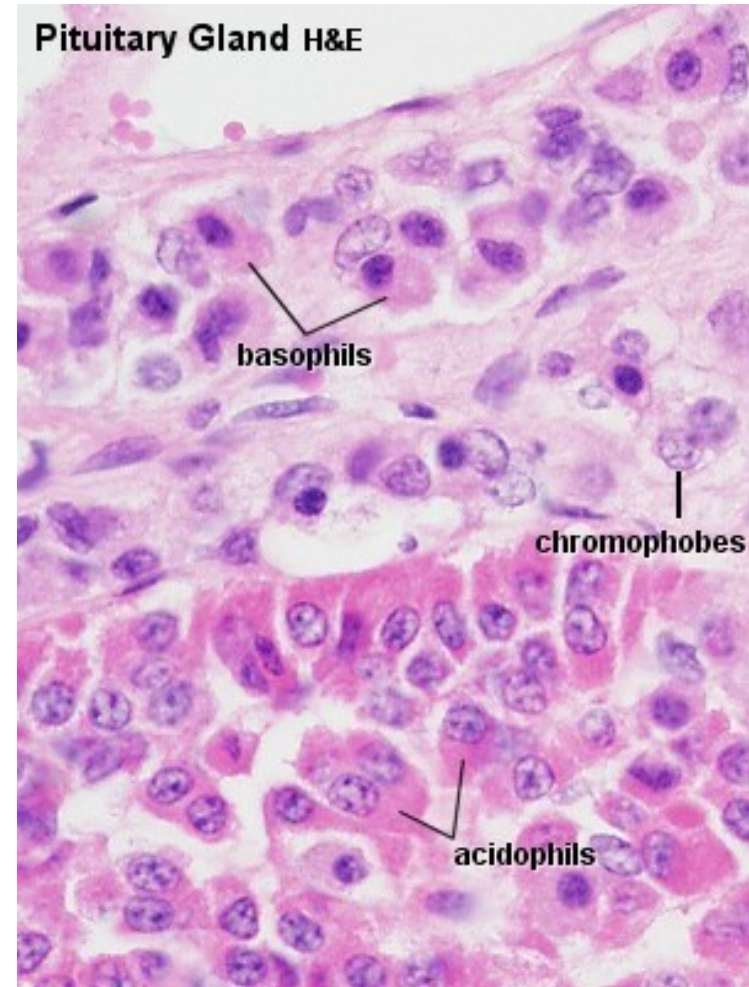
NEGLANDOTROPNÍ

- přímý účinek na cílové tkáně

- Bazofilní

GLANDOTROPNÍ

- regulace ostatních endokrinních žláz



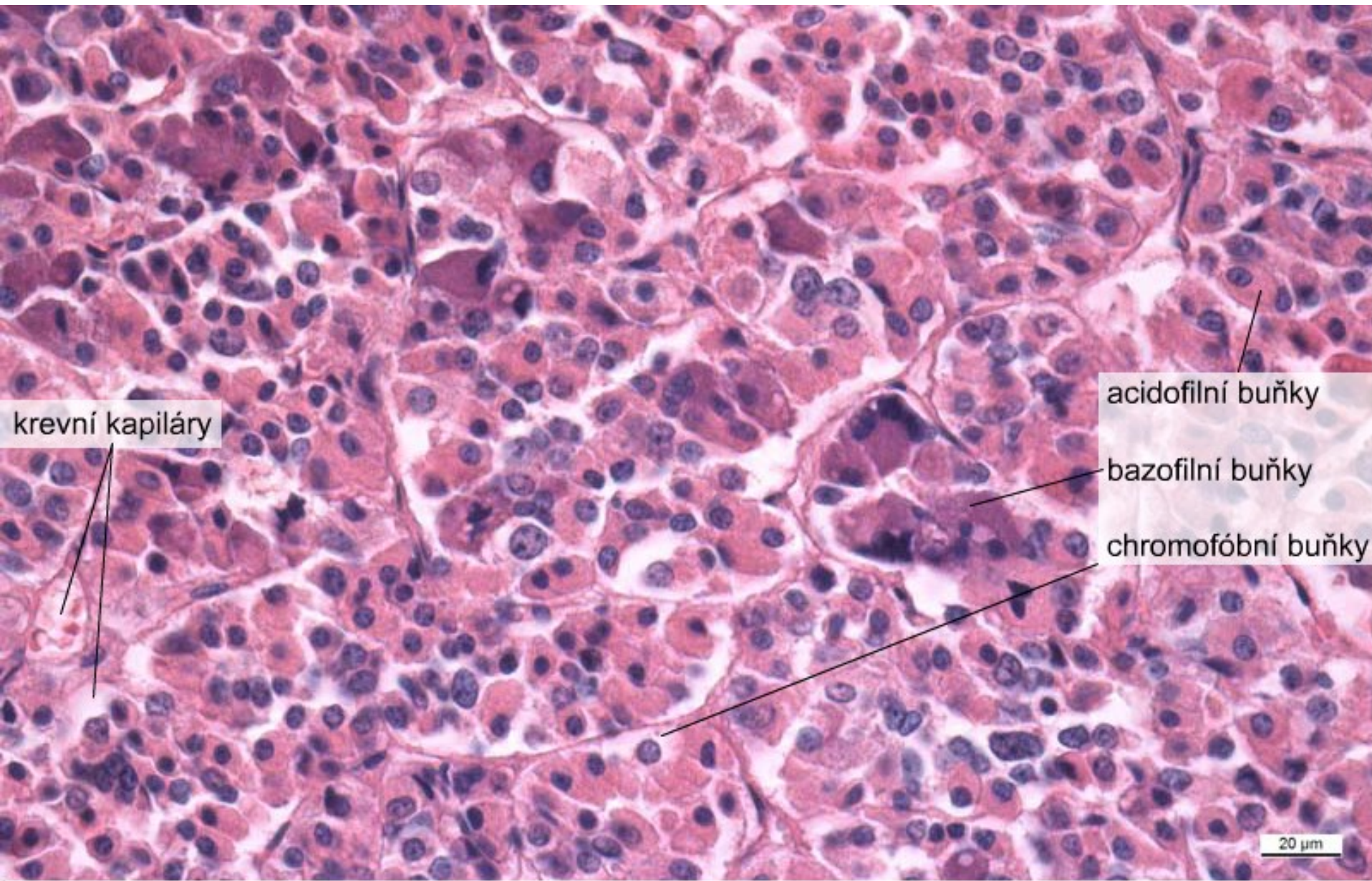
Chromofobní buňky

- nediferencované b.
- degranulované chromofilní b.
- stromální b.

Folikulostromální buňky

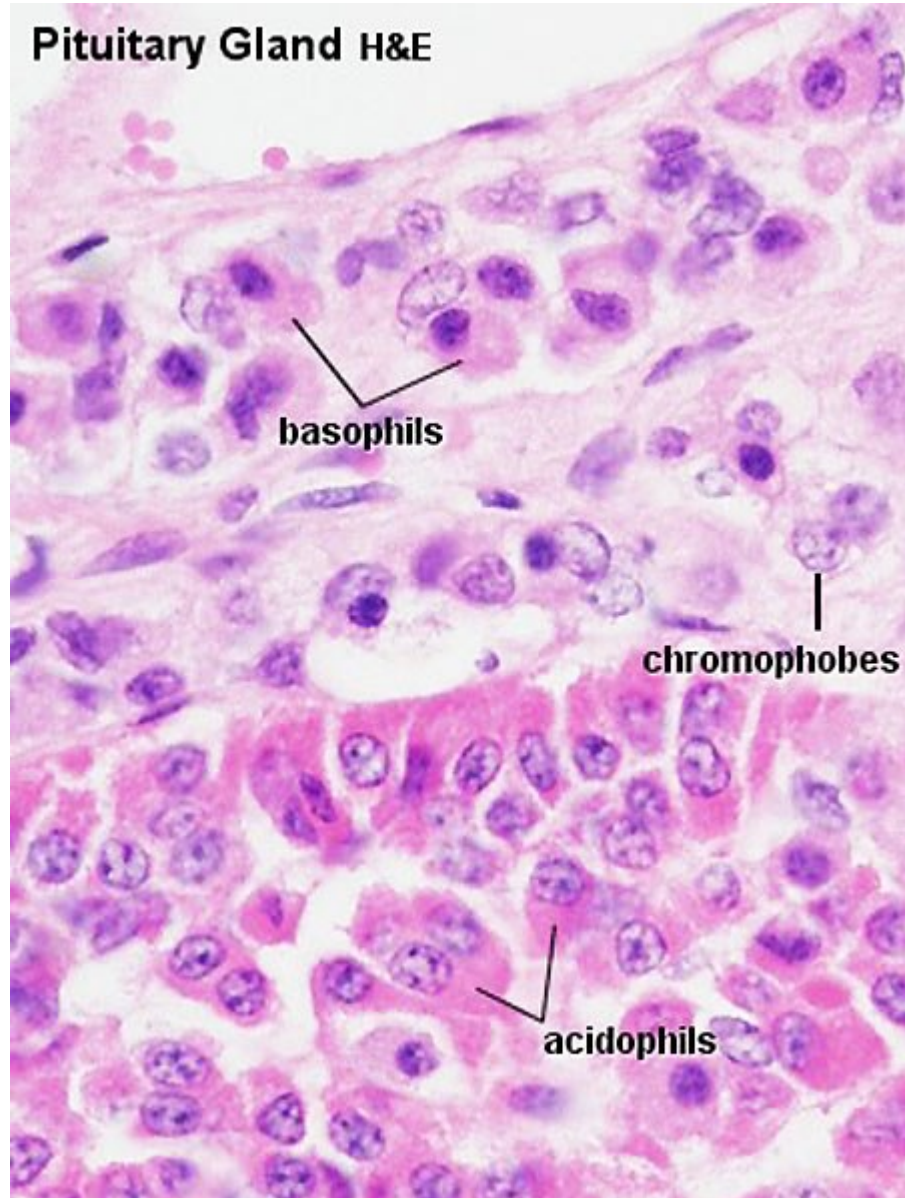
- nejasná funkce
- produkce cytokinů
- možná charakter kmenových buněk

ADENOHYPOFÝZA

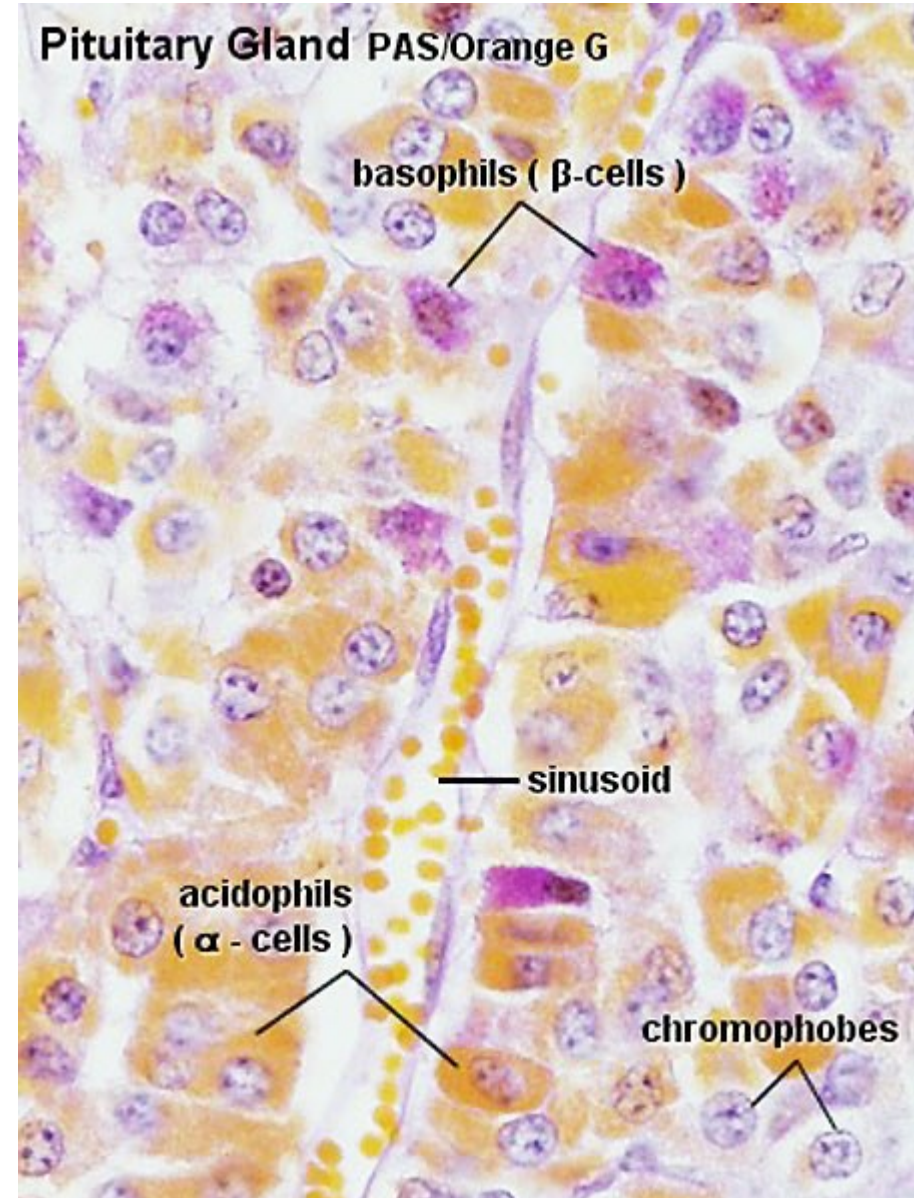


ADENOHYPOFÝZA

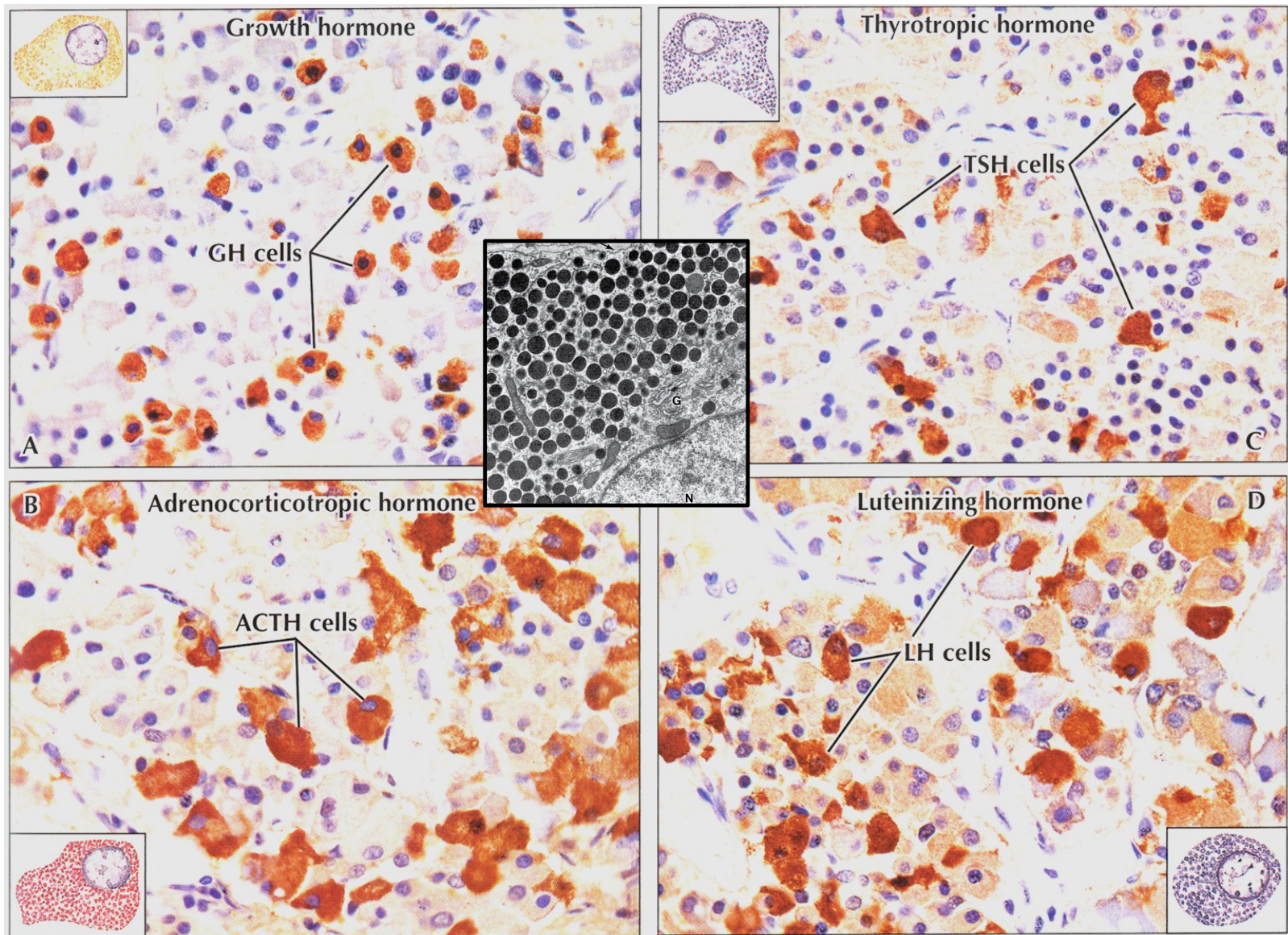
Pituitary Gland H&E



Pituitary Gland PAS/Orange G



ADENOHYPOFÝZA



REGULACE HORMONY HYPOTHALAMU

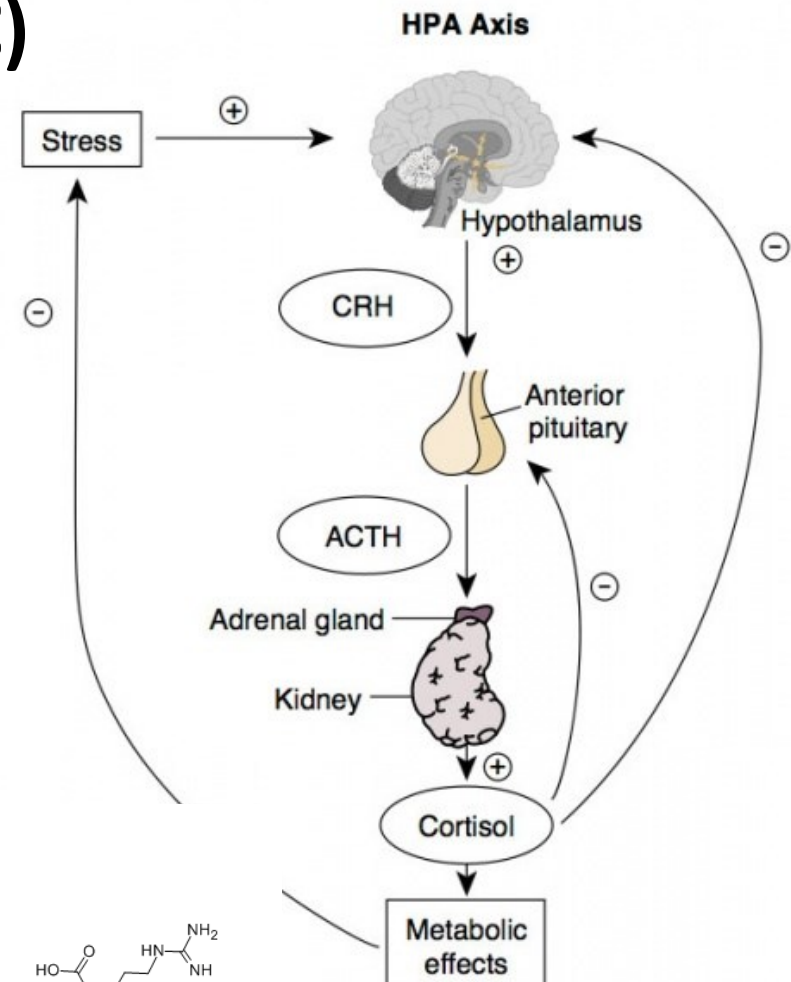
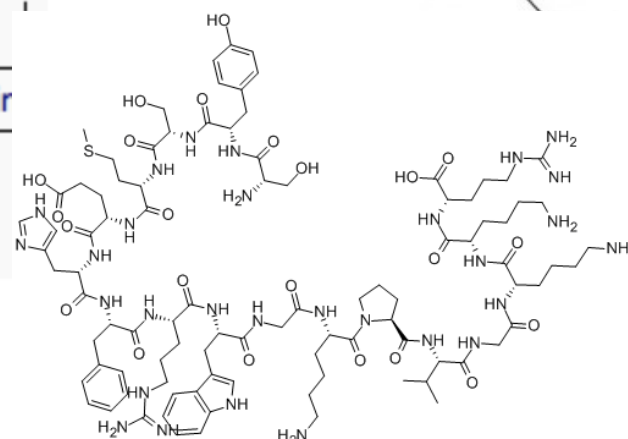
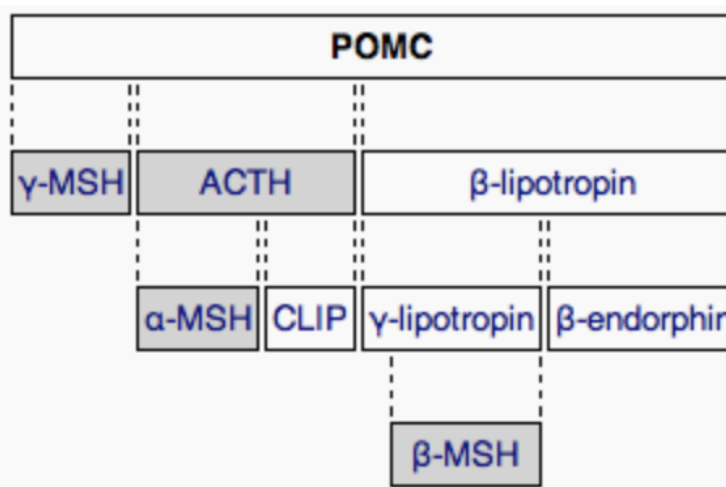
- gonadoliberin → FSH a LH
- kortikoliberin → kortikotropin
- thyreoliberin → thyreotropin
- *prolactin releasing hormone (?)* → prolaktin
- somatoliberin → somatotropin
- follistatin ↘ FSH a LH
- somatostatin ↘ somatotropin, TSH
- dopamin ↘ prolaktin

"FLAT PEG"

- FSH
- LH
- ACTH
- TSH
- Prolaktin
- Endorfiny
- Růstový hormon (growth)

Pro-opio-melanocortin (POMC)

- drsné ER → pre-prohormon různé tkáně
- ACTH (kůra nadledvin → kortisol)
- MSH (melanocyty - zejména parakrinně)
- lipotropin (lipolýza, steroidogenze)
- endorfiny



FSH (folitropin), LH (lutropin)

- gonadotropní buňky adenohypofýzy v závislosti na GnRH
- glykoprotein, 30kDa
- heterodimer dvou nekovalentně spojených podjednotek (**a/α** - společná pro více hormonů - lh, FSH, TSH, hCG, **b/β** - specifická)
- FSH receptor (testes, ovaria, uterus) asociovaný s G-proteiny
- glykosylovaná extracelulární doména 11 leucine rich repeats specifická vůči FSH
- po vazbě ligandu aktivace G-proteinu a cAMP signální dráhy
- alternativní aktivace MAPK kaskády (ERK)
- komplexní signální odpověď (prostaglandiny a PLPc, NO)

FSH

ovarium vývoj folikulů (exprese FSHR v buňkách
membrana granulosa)

LH

ovulace, vývoj corpus luteum,
 produkce androgenů v
 buňkách théky

testes vývoj spermíí, FSHR v Sertoliho buňkách

produkce testosteronu v
 Leydigových buňkách (LHR)

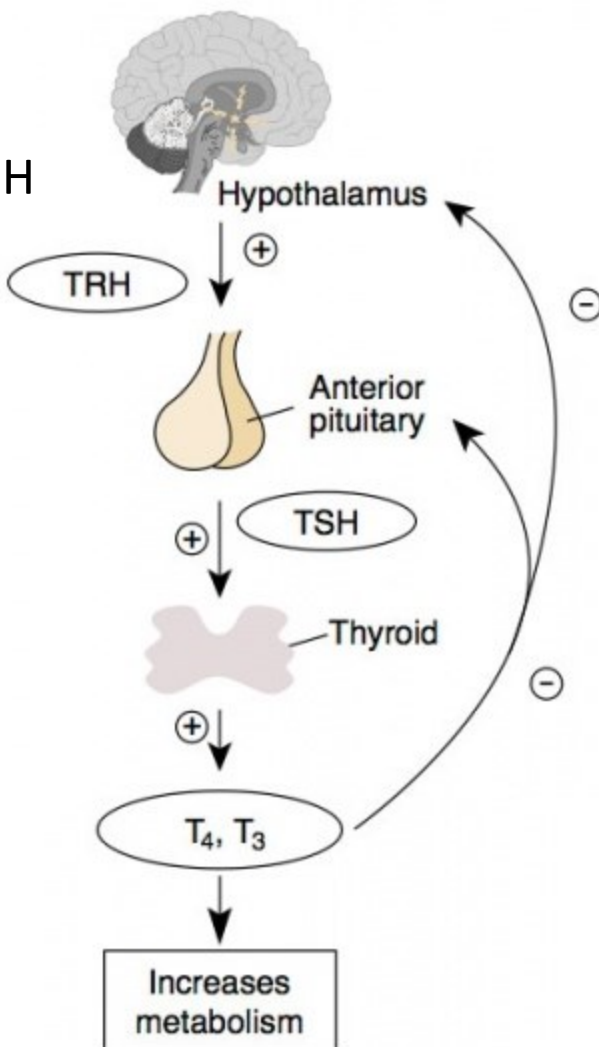
exagonadální FSHR v sekrečním endometriu luteální fáze
 uteru (endometriální fukce, embryo-
 endometriální interakce)

uterus, seminální váčky,
 prostaty, kůže... neznámá
 funkce

TSH, thyrotropin

- thyrotropní buňky adenohypofýzy v závislosti na TRH
- indukuje produkci T4 (thyroxin) a T3 (trijodtyronin)
- glykoprotein, 28,5 kDa, heterodimer nekovalentně spojených podjednotek (a, b)
- TSH receptor na thyroidních folikulárních buňkách
- G-proteinová signální kaskáda → adenylylcycláza
- cAMP → jodové kanály (pendrin), transkripce thyreoglobulinu, endo- a exocytická dráha
- krosreaktivita s hCG → v těhotenství alterace syntézy thyroidních hormonů (gestační hyperthyroidismus)

HPT Axis



GH, somatotropin, růstový hormon

- somatotropní buňky adenohypofýzy v závislosti na GHRH (somatokrinin)
- několik molekulárních isoform (alternativní sestřih), ~20-24 kDa
- široké spektrum cílových buněčných typů i fyziologických dějů
 - transkripce DNA, translace RNA, proteosyntéza
 - využití tuků (mobilizace mastných kyselin, konverze na acetyl-CoA)
 - inhibice přímého využití glukózy, stimulace glukoneogeneze
 - transport aminokyselin
 - proteosyntéza v chondrocytech a osteoblastech, proliferace, osteogeneze
- GHR v různých tkáních
- RTK, JAK-STAT
- somatomediny
 - malé proteiny (MW 7,5 kDa) typu IGF, produkované játry
- rozmanité projevy deregulace GH

ADENOHYPOFÝZA – HORMONY

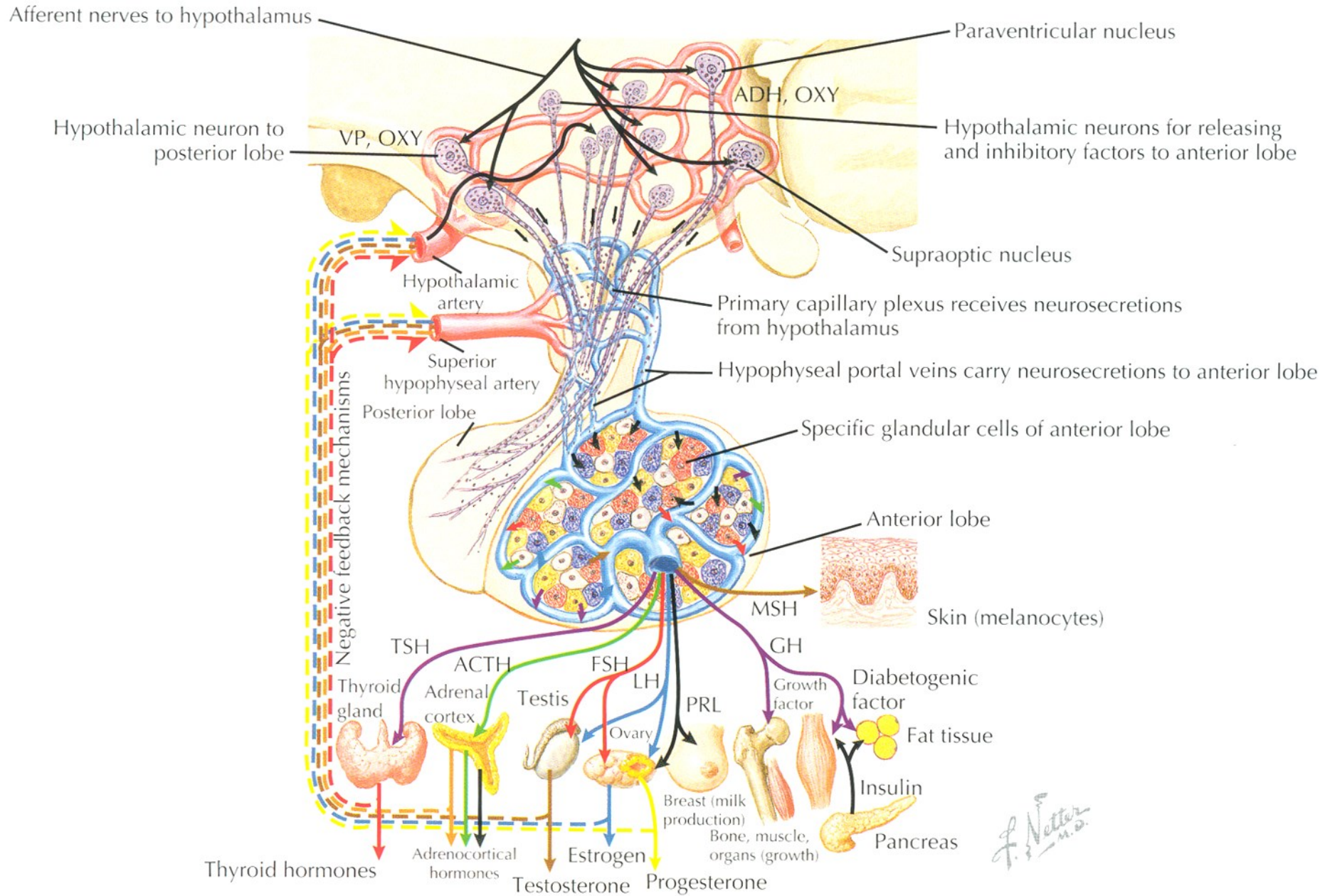
Table 2. Nonclassical Anterior Pituitary Substances and Cell(s) of Origin

Substances	Cell Types
PEPTIDES	
ACTIVIN B, INHIBIN, FOLLISTATIN	F,G
ALDOSTERONE STIMULATING FACTOR	UN
ANGIOTENSIN II (ANGIOTENSINOGEN, ANGIOTENSIN I)	
CONVERTING ENZYME, CATHEPSIN B, RENIN)	C,G,L,S
ATRIAL NATURETIC PEPTIDE	G
CORTicotropin-Releasing Hormone-BINDING PROTEIN	C
DYNORPHIN	G
GALANIN	L,S,T
GAWK (CHROMOGRANIN B)	G
GROWTH HORMONE RELEASING HORMONE	UN
HISTIDYL PROLINE DIKETOPIPERAZINE	UN
MOTILIN	S
NEUROMEDIN B	T
NEUROMEDIN U	C
NEUROPEPTIDE Y	T
NEUROTENSIN	UN
PROTEIN 7B2	G,T
SOMATOSTATIN 28	UN
SUBSTANCE P (SUBSTANCE K)	G,L,T
THYROTROPIN RELEASING HORMONE	G,L,S,T
VASOACTIVE INTESTINAL POLYPEPTIDE	G,L,T
GROWTH FACTORS	
BASIC FIBROBLAST GROWTH FACTOR	C,F
CHONDROCYTE GROWTH FACTOR	UN
EPIDERMAL GROWTH FACTOR	G,T
INSULIN-LIKE GROWTH FACTOR I	S,F
NERVE GROWTH FACTOR	UN
PITUITARY CYTOTROPIC FACTOR	UN
TRANSFORMING GROWTH FACTOR ALPHA	L,S,G
VASCULAR ENDOTHELIAL GROWTH FACTOR	F
CYTOKINES	
INTERLEUKIN-1 BETA	T
INTERLEUKIN-6	F
LEUKEMIA INHIBITORY FACTOR	C,F
NEUROTRANSMITTERS	
ACETYLCHOLINE	C,L
NITRIC OXIDE	F

C = corticotroph, F = folliculostellate cell, G = gonadotroph, L = lactotroph,

S = somatotroph, T = thyrotroph, UN = unknown

ADENOHYPOFÝZA – HORMONY



Tumory hypofýzy

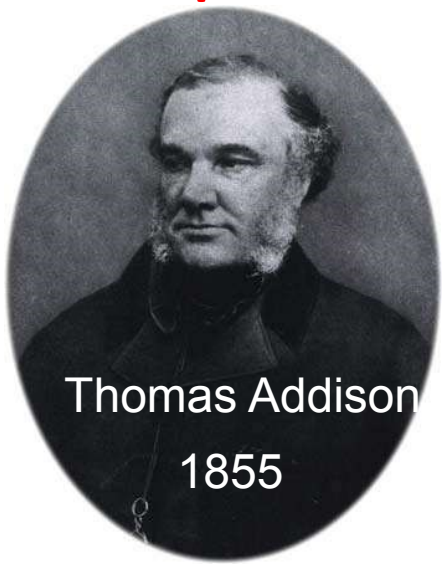
- útlak okolních struktur (optické chiasma)

Hyperfunkce endokrinní komponenty

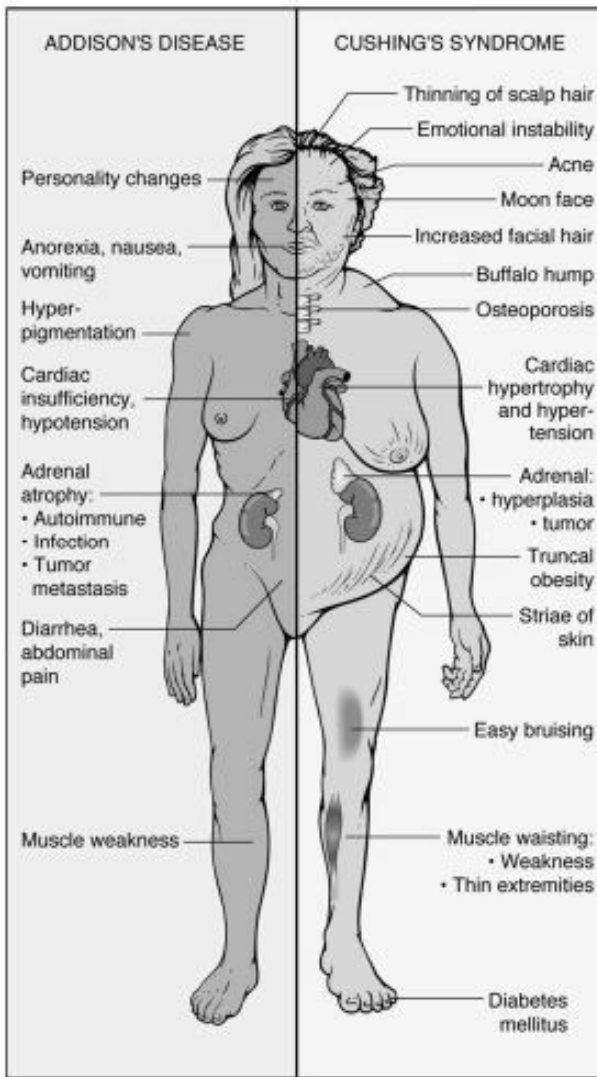
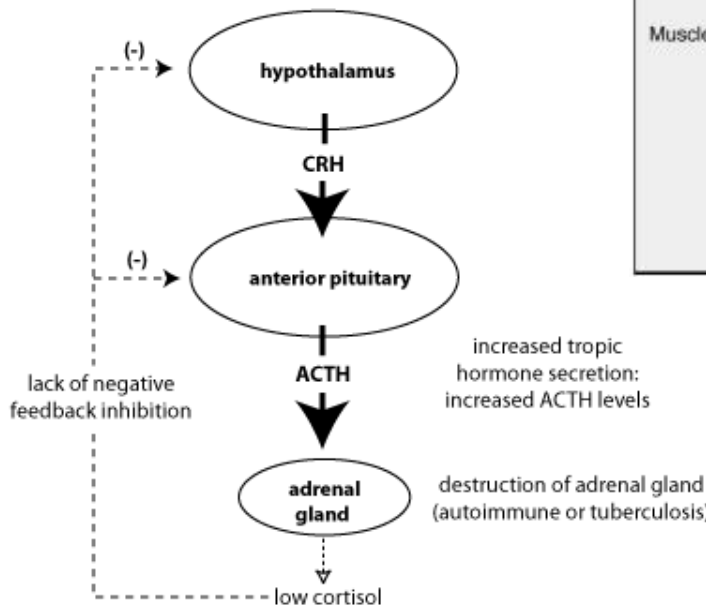
- prolaktinom - galactorrhea
- hypogonadismus (poruchy GnRH)
- gigantismus - akromegalie
- nanismus



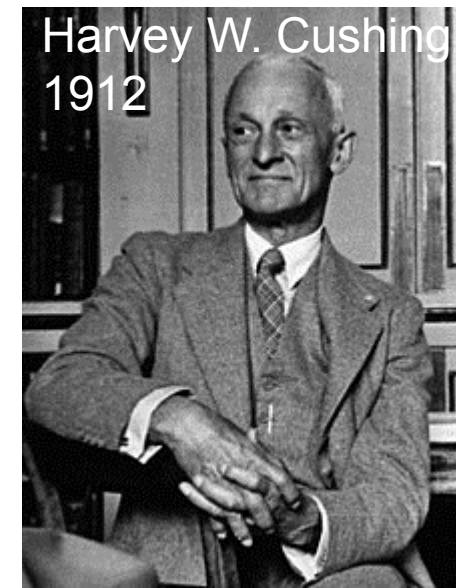
Hypofunkce kortikotropních buněk



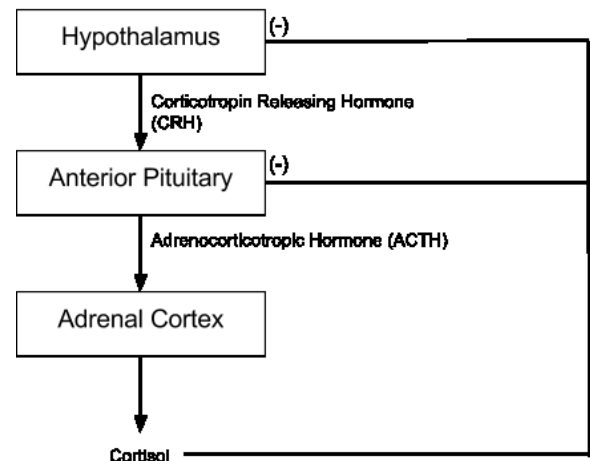
Addison's Disease



Hyperfunkce kortikotropních buněk



Cushing's Syndrome



Anatomická stavba		Mikroskopická struktura		Hormony a cílové tkáně				
Přední lalok (adenohypofýza)		horní hypofyzární arterie → eminentia mediana → primární kapilární plexus, fenestrované kapiláry → portální vény → sekundární kapilární plexus, sinusoidní kapiláry	trabekulární epitel v trámcích a clusterech, retikulární vlákna, folikulostelátní buňky					
			chromofobní b.	nediferencované b. degranulované chromofilní b. stromální b.		nemají zřejmou hormonální aktivitu		
				acidofilní neglandotropní	mammotropní b.	dopamin (PIH) \perp PRF(?) → prolactin	změny mléčné žlázy v graviditě a aktivita v laktaci	
					somatotropní b.	somatostatin (GHIH) \perp GHRH → somatotropin (STH)	přímo játra, růstové ploténky různé další tkáně via somatomediny	
		pars tuberalis			kortikotropní b.	CRH → ACTH, MSH	kortex nadledvin → kortisol melanocyty	
		bazofilní glandotropní			thyrotropní b.	TRH → TSH	štítová žláza → thyroxin, T3	
					gonadotropní b.	GnRH → FSH (ICSH), LH	gonády → androgeny, estrogeny, progesteron	
Zadní lalok (neurohypofýza)		infundibulum	dolní hypofyzární arterie → kapilární plexus, fenestrované kapiláry		malé peptidy	ADH	tubulus reuniens, ductus colligens t. media cév	
			nemyelinizované axony hypothalamických neuronů n. supraopticus, n. paraventricularis (tractus hypothalamo-hypophysialis), pituicyty			oxytocin	myometrium uteru během gravidity myoepithelium mléčné žlázy v laktaci	

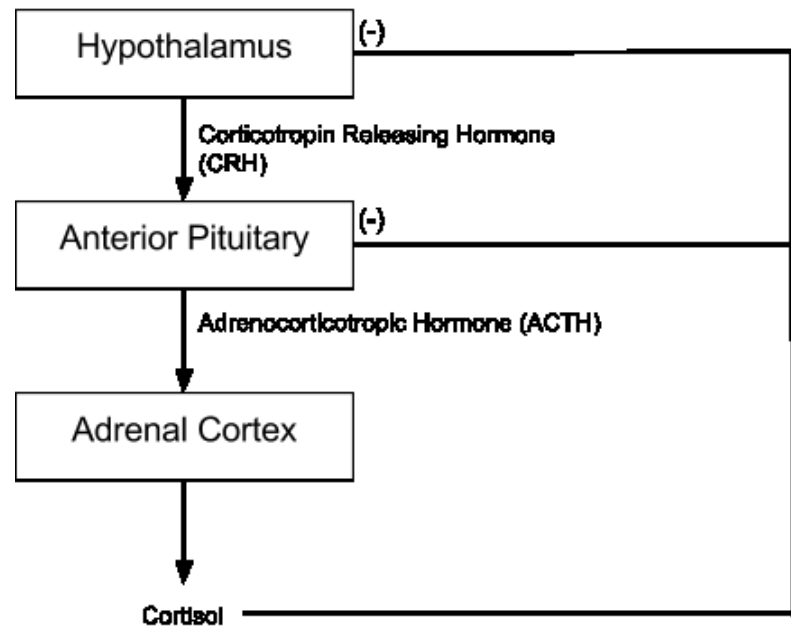
To study the effects of the **hypothalamo-pituitary-adrenal axis**, groups of mice were injected with different hormones. **Group A mice were injected with cortisol** to mimic effects of Cushing's syndrome. **Group B mice were injected with hormone X.** **Group C mice were injected with a saline solution.** Blood samples were later taken from the various groups and average hormone levels were measured and recorded in Table 1.



Table 1. Levels of hormones (in nmol/L) found in blood sample taken from experimental mice groups.

	CRH	ACTH	Cortisol
Group A	20	150	900
Group B	45	430	760
Group C	30	230	400

LFMUHISTO





coffee break

To study the effects of the hypothalamo-pituitary-adrenal axis, groups of mice were injected with different hormones. Group A mice were injected with cortisol to mimic effects of Cushing's syndrome. Group B mice were injected with hormone X. Group C mice were injected with a saline solution. Blood samples were later taken from the various groups and average hormone levels were measured and recorded in Table 1.

Table 1. Levels of hormones (in nmol/L) found in blood sample taken from experimental mice groups.

	CRH	ACTH	Cortisol
Group A	20	150	900
Group B	45	430	760
Group C	30	230	400

1. According to the results of the experiment, which is the most likely identity of hormone X?

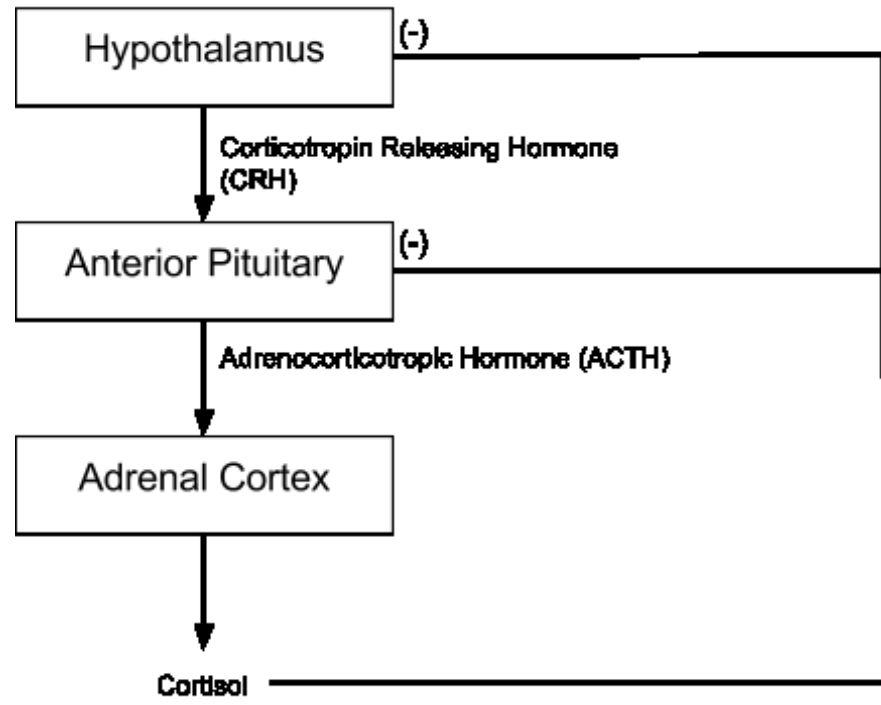
Please choose from one of the following options.

- CRH, because Group C's concentration of ACTH and cortisol is lower than that of the control group.
- ACTH, because Group B's concentration of ACTH and cortisol is higher than that of the control group.
- ACTH, because Group C's concentration of ACTH and cortisol is lower than that of the control group.
- CRH, because Group B's concentration of ACTH and cortisol is higher than that of the control group.

2. Which of the following would exacerbate the symptoms of Cushing's disease?

Please choose from one of the following options.

- Somatic cells not responding to cortisol.
- Taking a glucocorticoid receptor antagonist.
- Radiation therapy to treat a pituitary adenoma.
- Taking glucocorticoids to treat asthma.



3. Why does a pituitary adenoma cause a patient to have an excess level of cortisol?

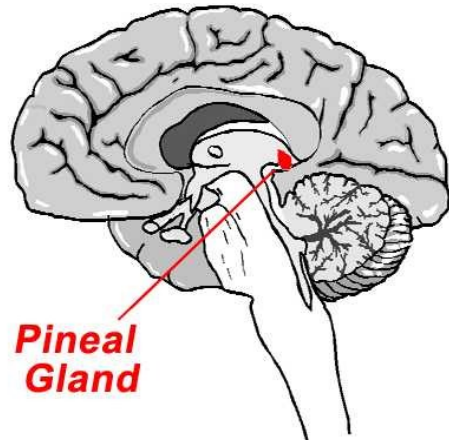
Please choose from one of the following options.

- It increased the size of the hypothalamus.
- Its cells did not respond to CRH.
- Its cells did not respond normally to cortisol.
- It decreased the level of ACTH circulating in the body.

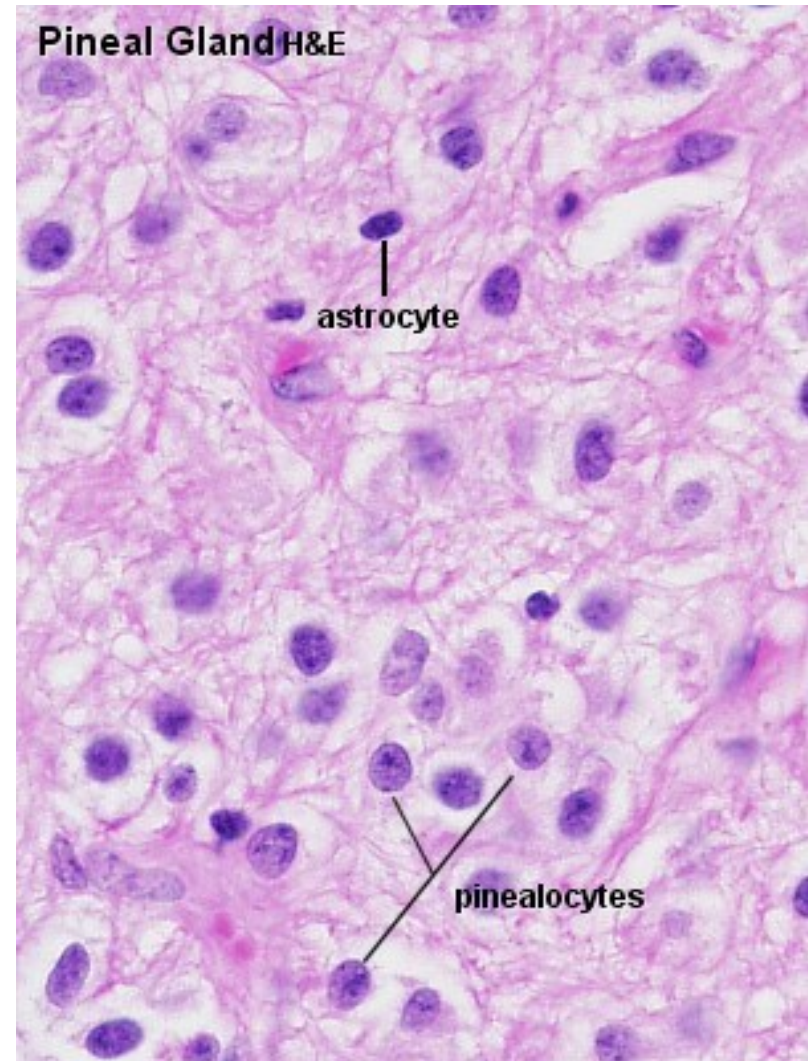
4. Which of the following can result in a chronic increase in a patient's ACTH and CRH levels?

- Pituitary tumor.
- Destruction of the adrenal glands.
- Taking medicinal glucocorticoids, such as prednisone.
- Hypersecretion of cortisol from the hypothalamus.

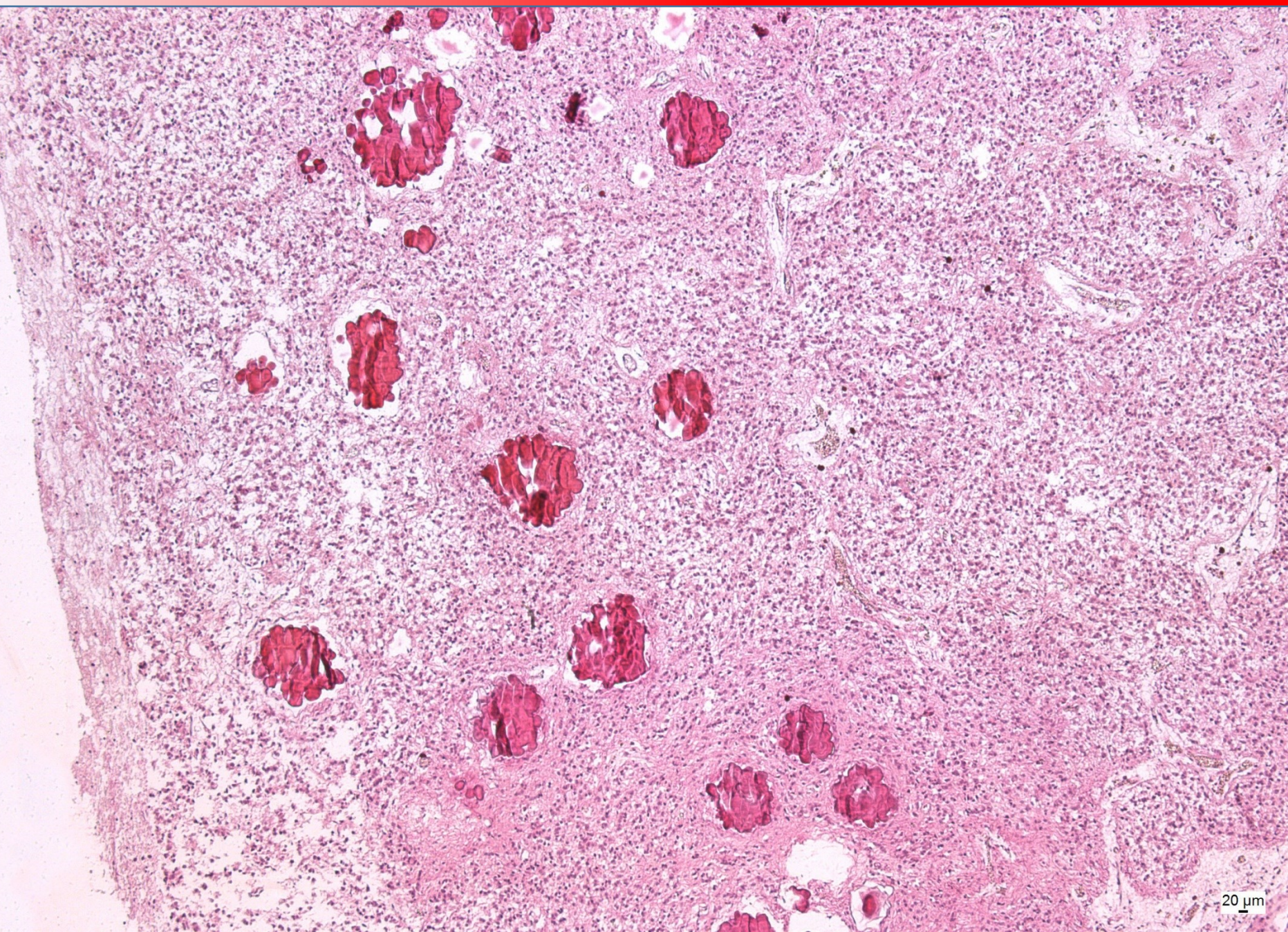
EPIFÝZA (C. PINEALE)



- epithalamus
- vazivové pouzdro navazující na pia mater
- tenká vazivová septa
- nemyelinizovaná nervová vlákna
- pinealocyty (95%, velké, světlé, kulatá jádra)
- intersticiální neuroglie (astrocyty, tmavé, podlouhlá jádra)
- acervulus cerebri
- melatonin

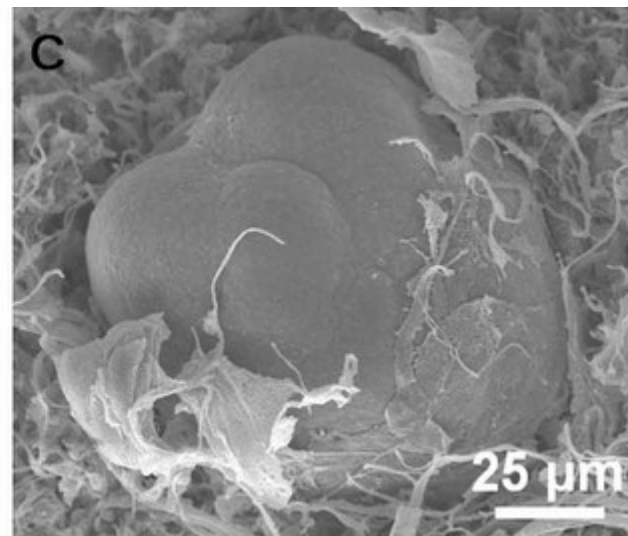
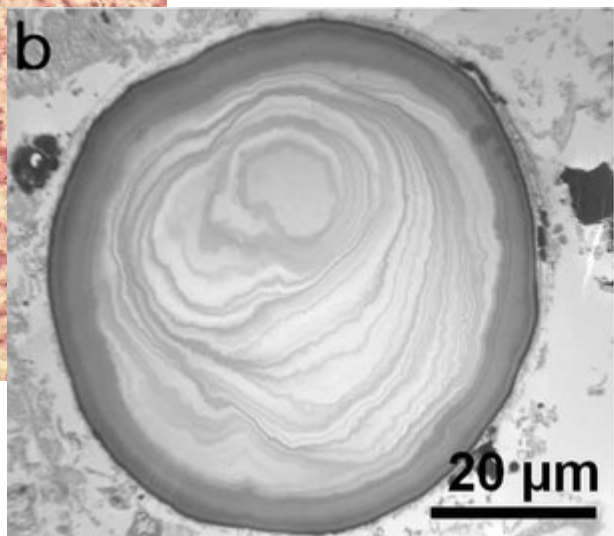
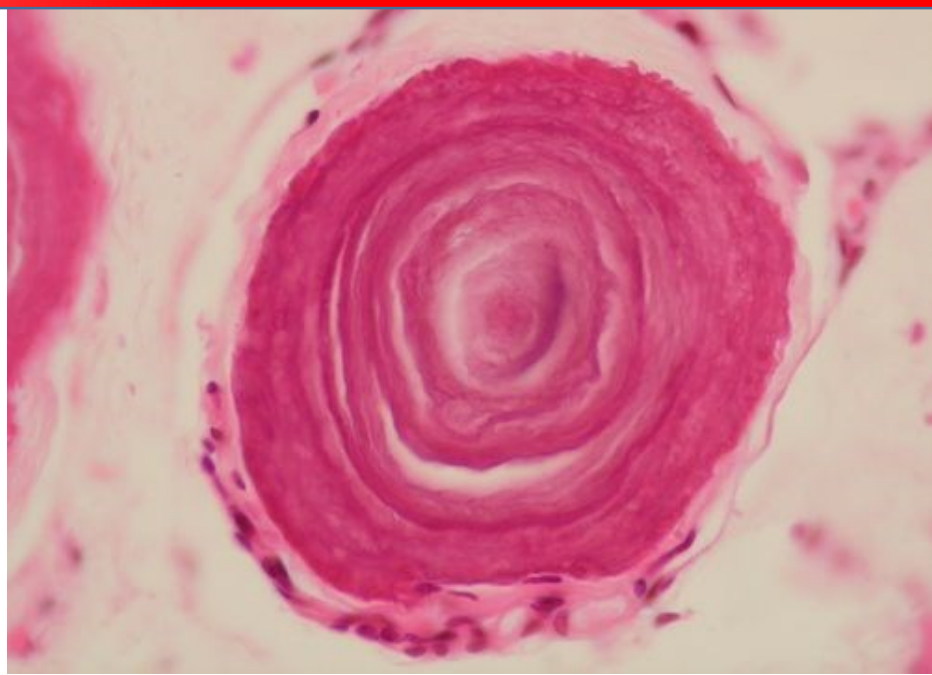
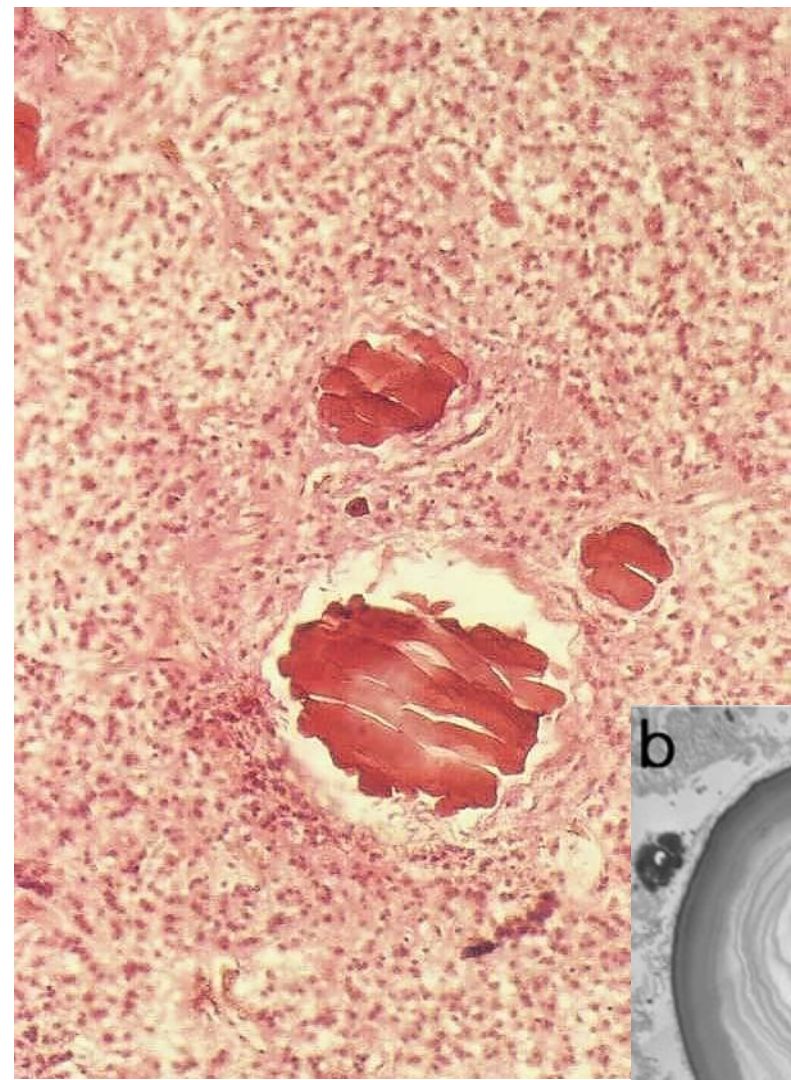


EPIFÝZA (C. PINEALE)



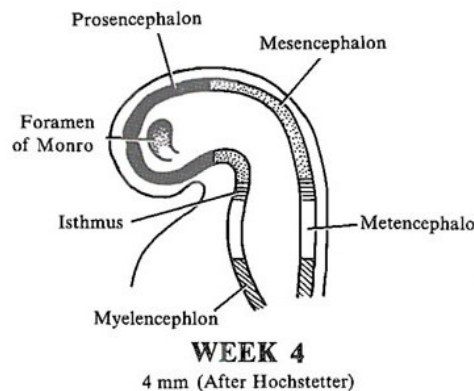
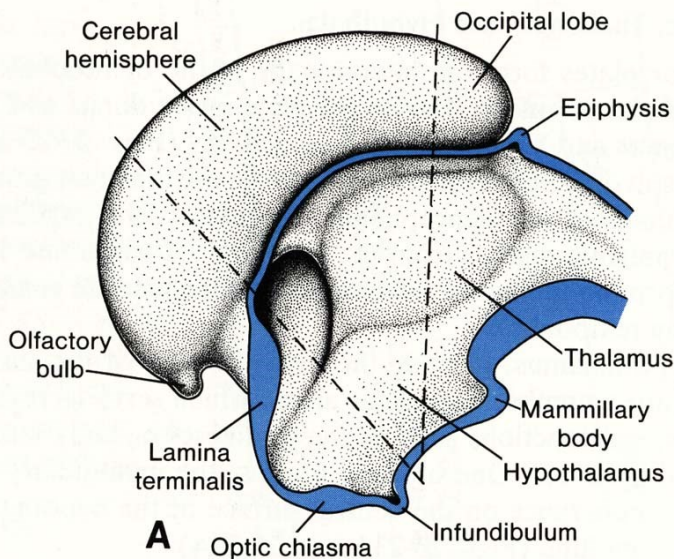
20 µm

EPIFÝZA - ACERVULUS CEREBRI

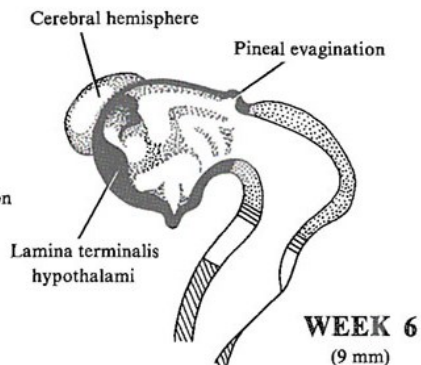


EMBRYONÁLNÍ VÝVOJ EPIFÝZY

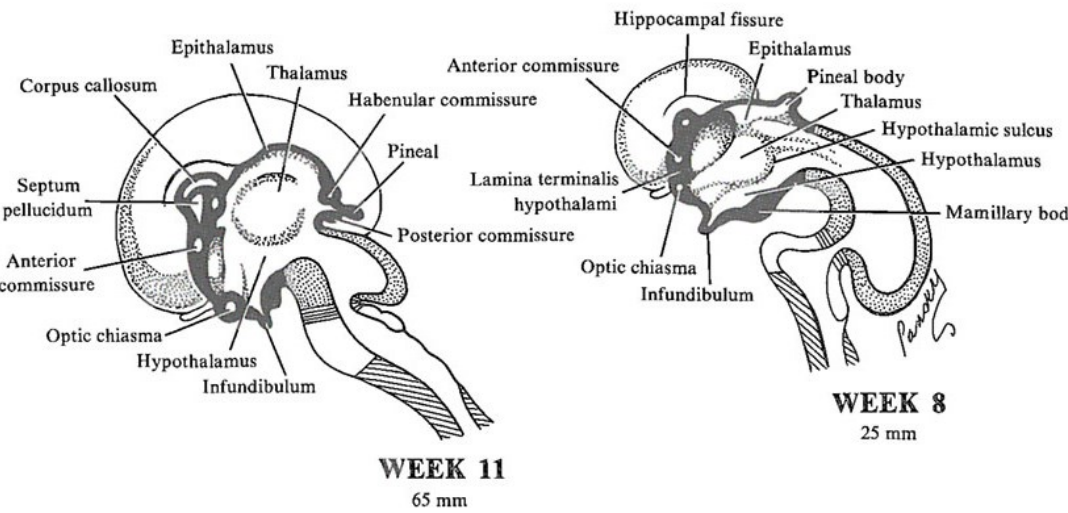
- proliferace kaudální části ependymu který se nepodílí na vzniku choroidního plexu ve stropu diencephalonu
- neuroektoderm



WEEK 4
4 mm (After Hochstetter)

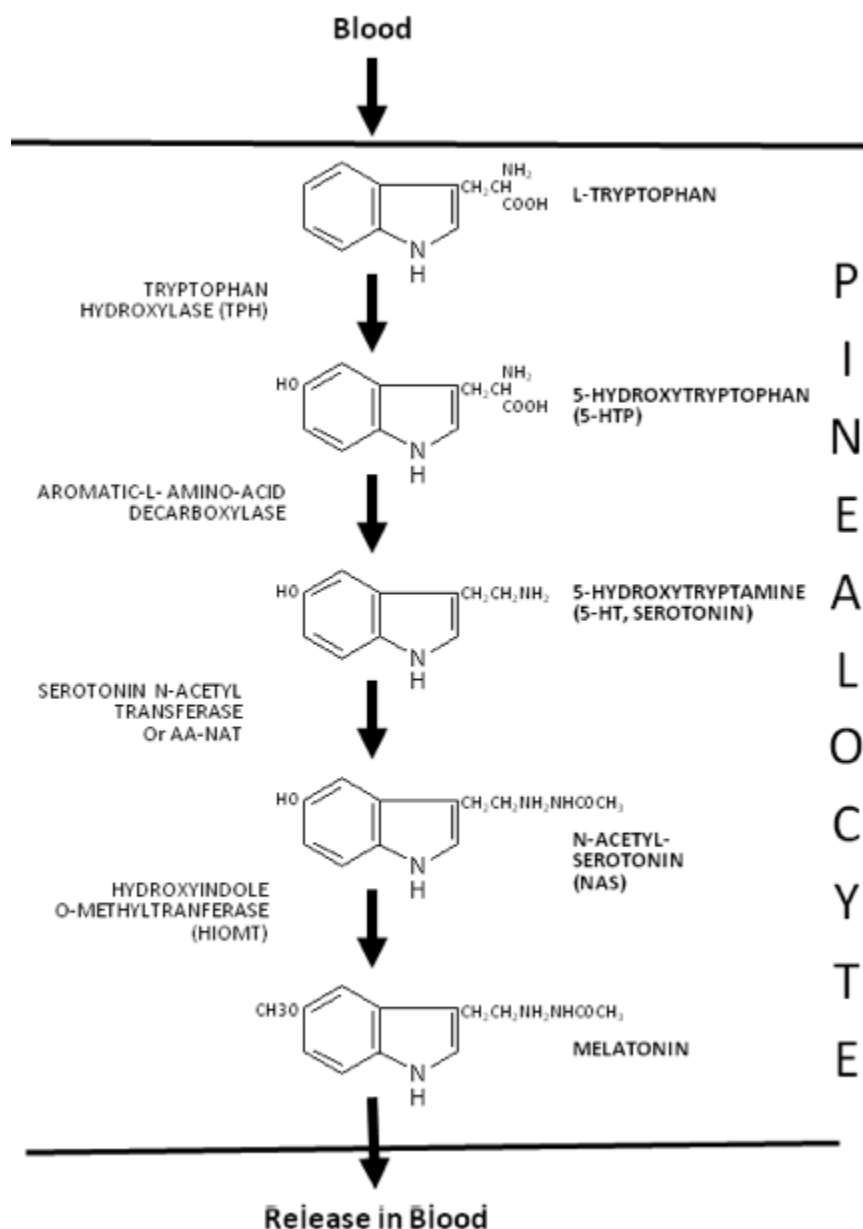


WEEK 6
(9 mm)



MIKROSKOPICKÁ STAVBA EPIFÝZY

- pinealocyty
- hvězdicovité, modifikované neurony v trámcích
- asociace s fenestrovanými kapilárami
- neurosekreční dilatace
- nevizuální fotorecepce
- melatonin – acetylace serotoninu (hydroxytryptaminu)
- cirkadiánní rytmy



Anolis rudokrký



Parietální oko



Haterie novozélandská



ŠTÍTNÁ ŽLÁZA (GL. THYROIDA)

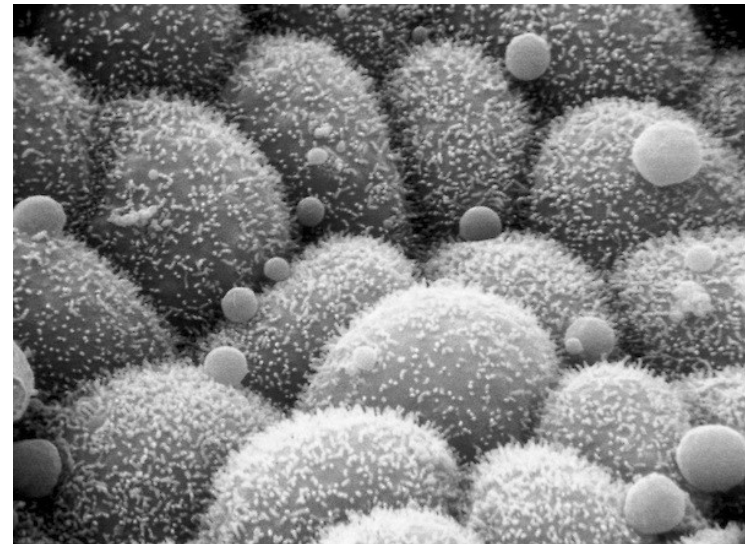
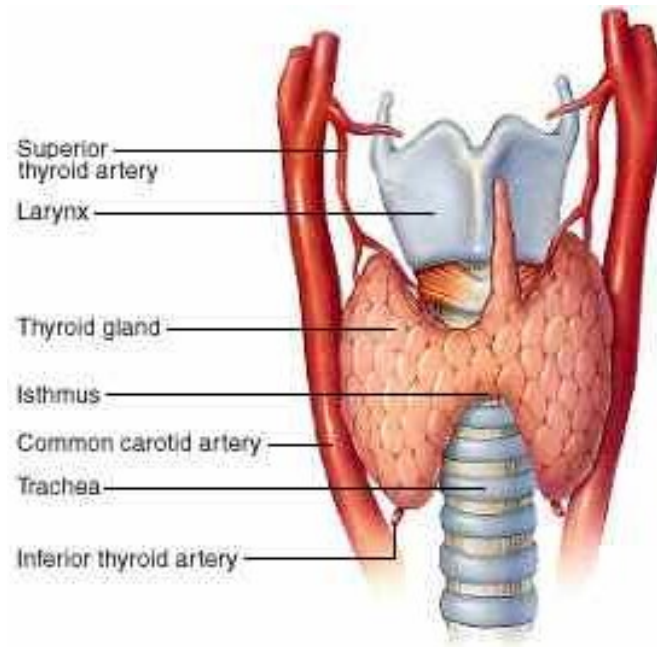
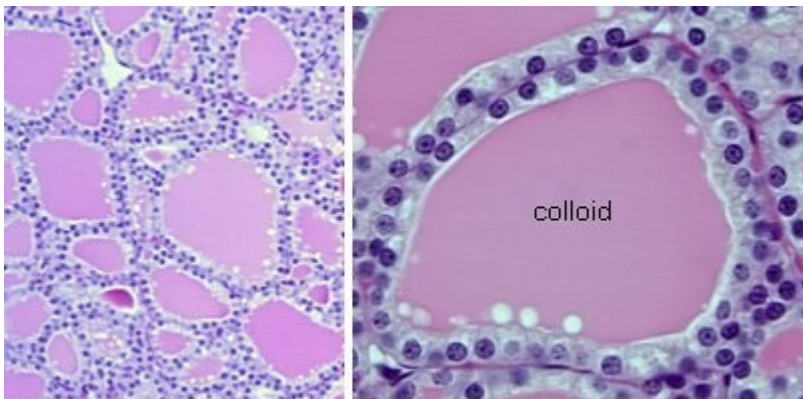
- Thyroidní hormony (T₃, T₄)
- C buňky *calcitonin*,

Vazivový obal + septa

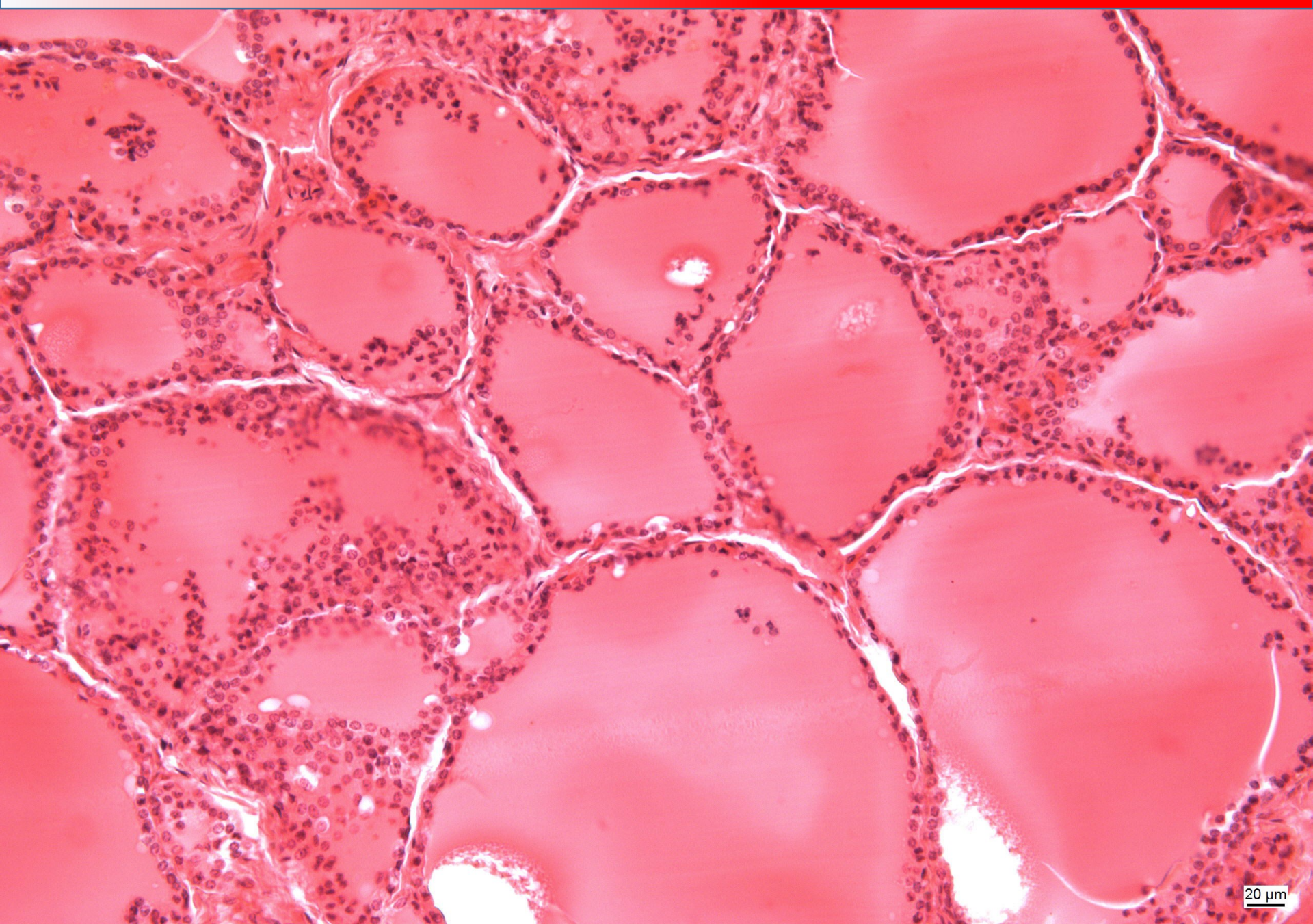
Laloky → lalůčky - folikuly

Folikuly (50 µm -1 mm)

- Odděleny řídkým vazivem
- Jednoduchý kubický epitel
- Koloid

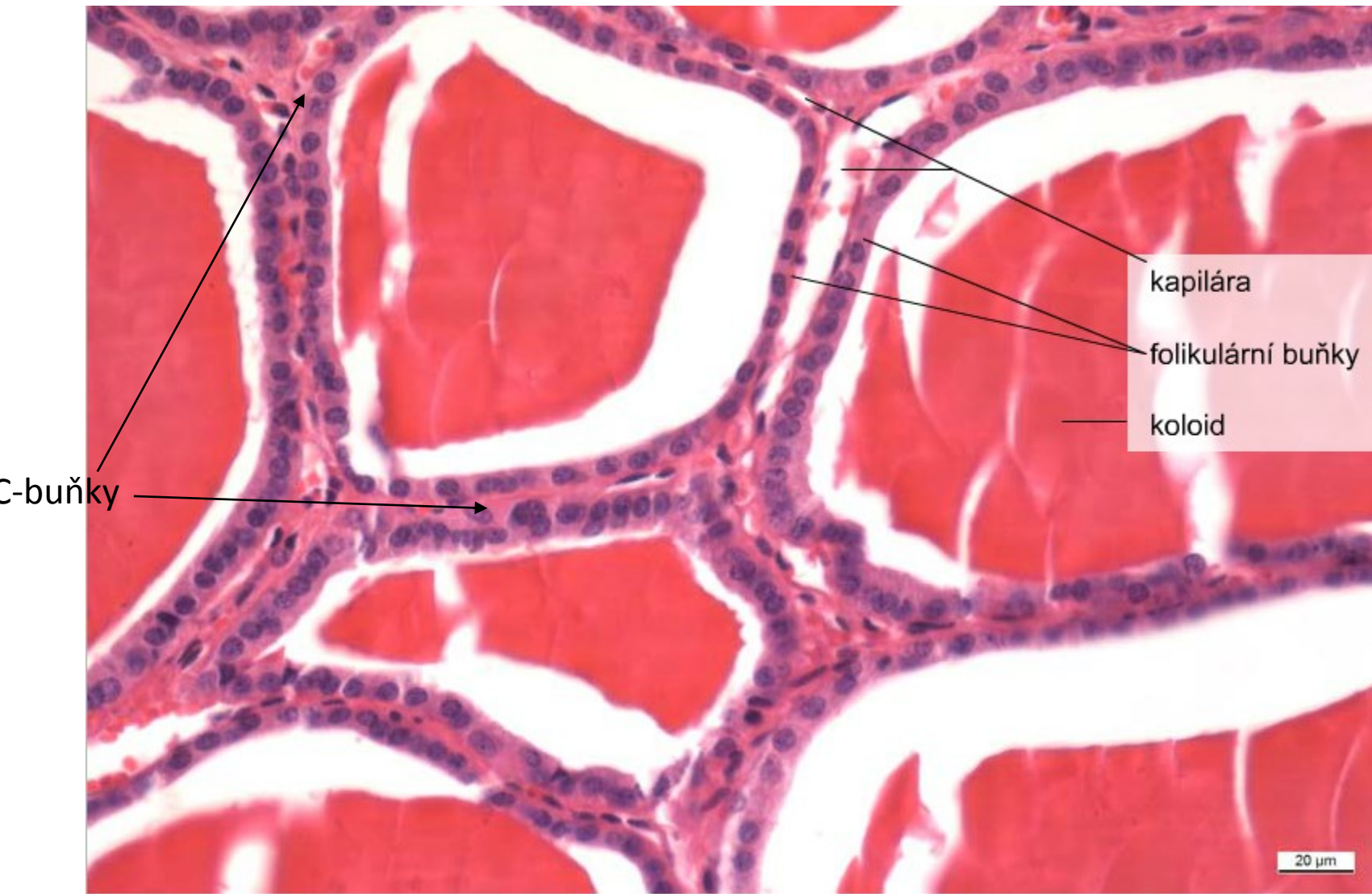


ŠTÍTNÁ ŽLÁZA (GL. THYROIDA)



20 µm

FOLIKULY ŠTÍTNÉ ŽLÁZY



C buňky (parafolikulární) - báze epithelu, bez kontaktu s koloidem

Kapilární síť kolem folikulů



T3 a T4 hormony

Syntéza T4 ve štítné žláze

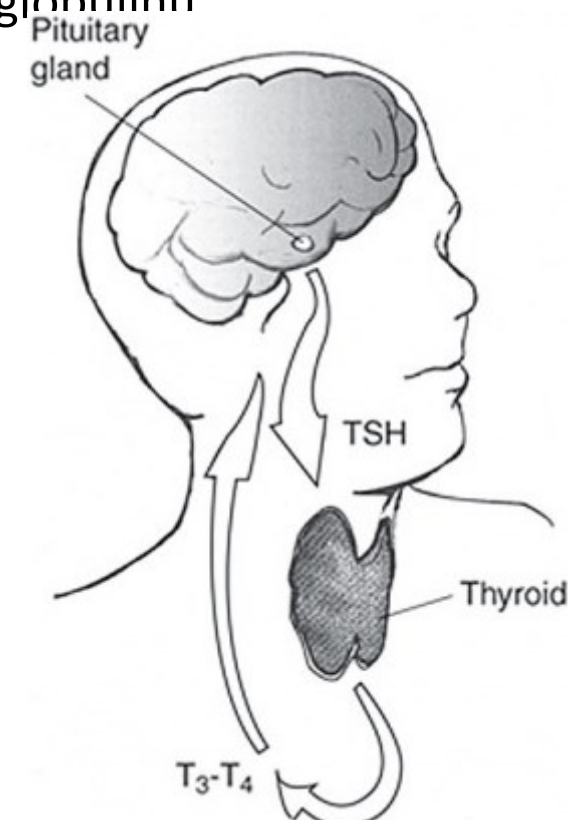
- Na-I symporter přenáší z krevního oběhu 2 Na⁺ and 1 I⁻ přes membrány
- I transportér (pendrin) přenáší I⁻ do koloidu folikulárních buněk
- thyroperoxidasa oxiduje 2 I⁻ → I₂.
- folikulární buňky produkují thyroglobulin (660kDa, <100 Tyr)
- thyroperoxidasa iodinuje tyrosylové zbytky (cca 20) thyroglobulinu
- endocytóza koloidu
- endocytické vesikuly + lysosomy, lysosomální enzymy odštěpují T₄ z molekuly thyroglobulinu
- exocytóza

Syntéza T3 z T4

- T4 v krevním oběhu ~6.5 dnů, T3 ~2.5
- tkáňově specifické deiodinasy generují T3 T3

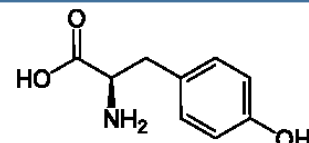
Funkce

- kritické pro vývoj mozku
- metabolismus (dusíková bilance, proteosyntéza, lipolýza)

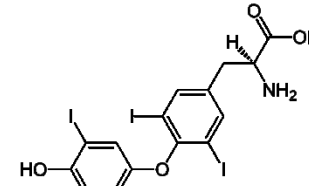


HORMONY ŠTÍTNÉ ŽLÁZY

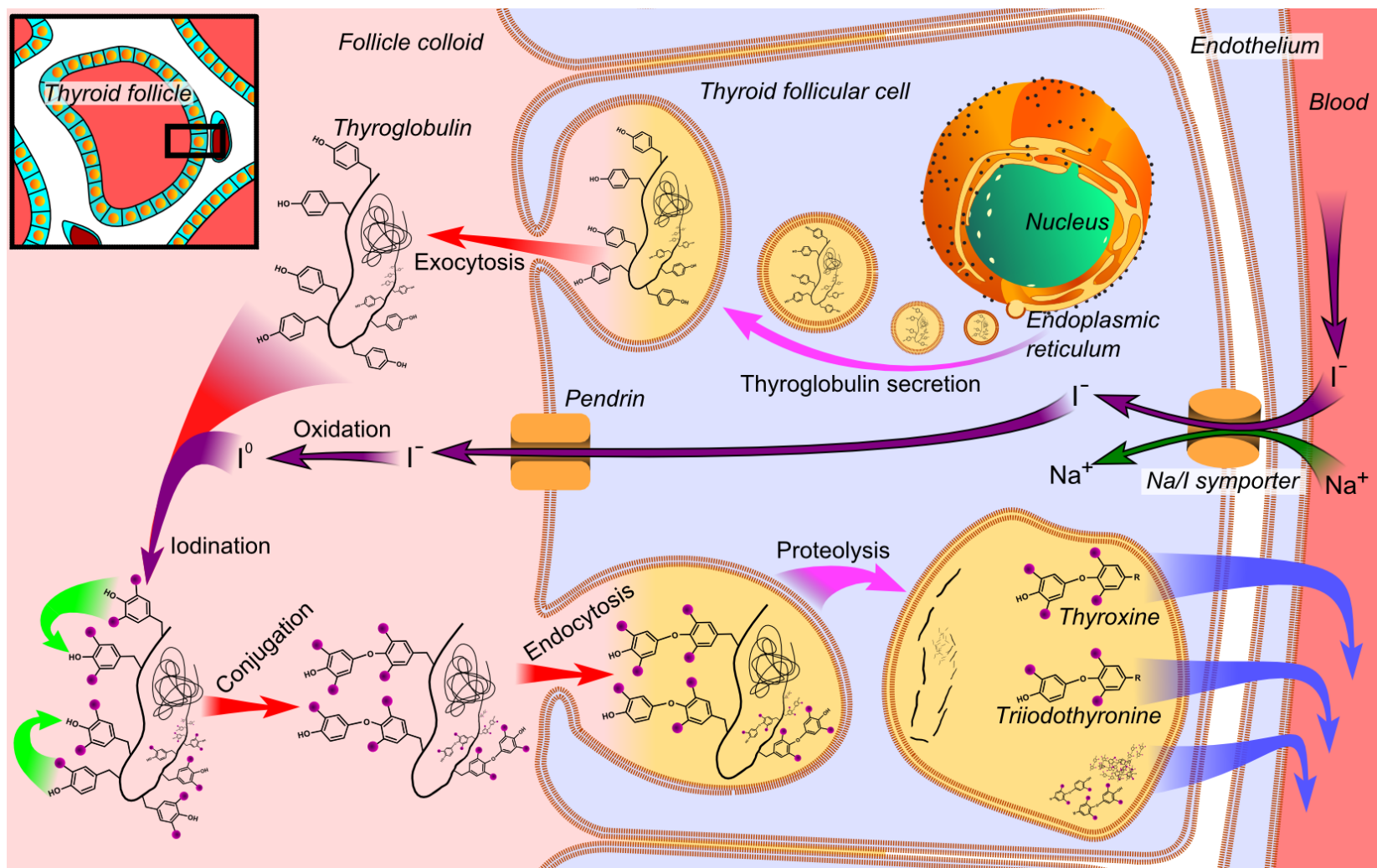
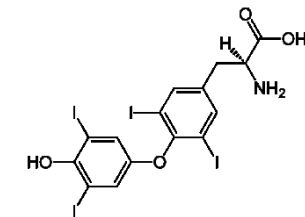
thyreoglobulin



trijodothyronin T₃



tetrajodothyronin (thyroxin) T₄



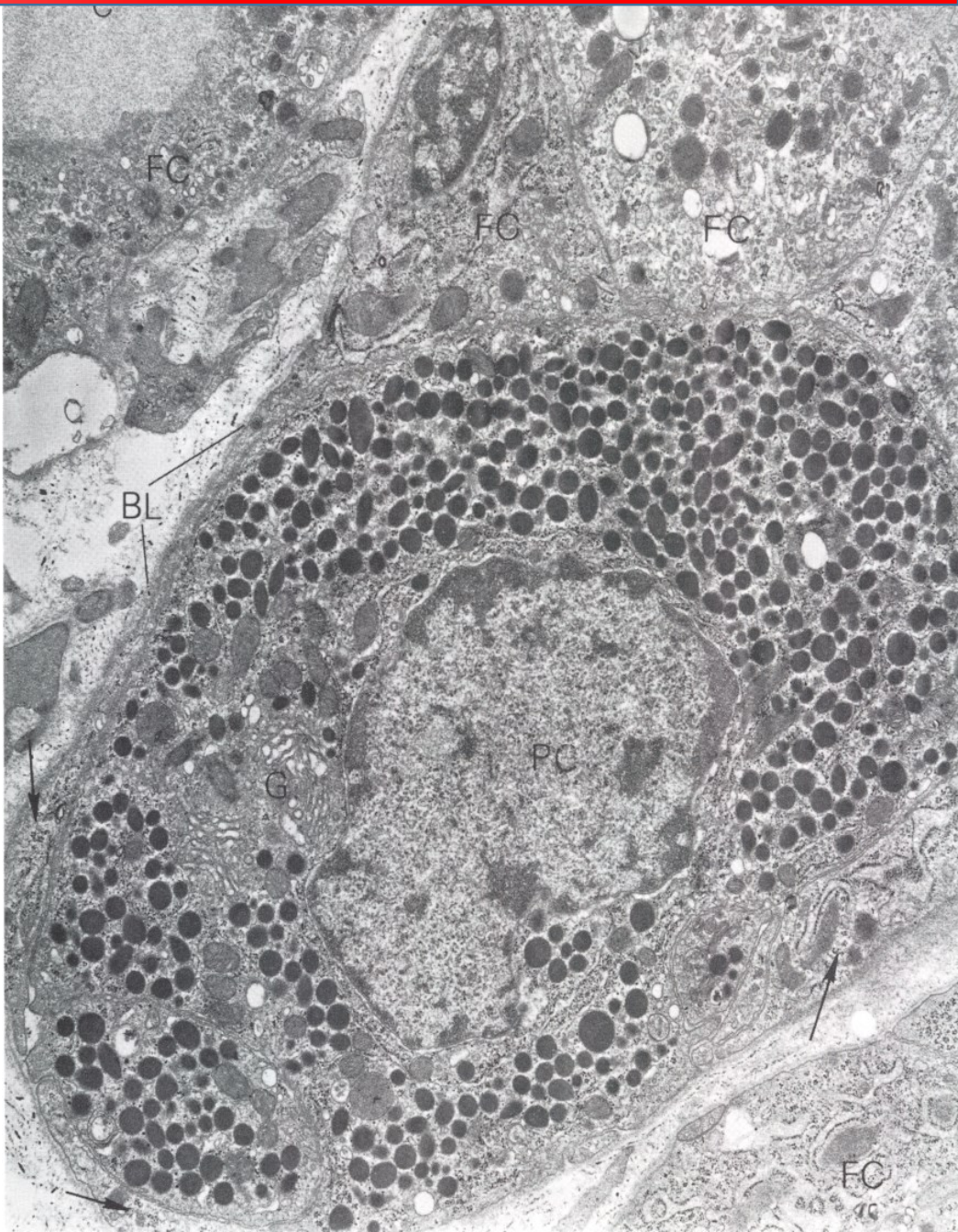
PARAFOLIKULÁRNÍ (C) BUŇKY ŠTÍTNÉ ŽLÁZY

- původ z neurální lišty
- při bázi folikulárního epitelu
- nemají kontakt s koloidem
- deriváty 4. entodermální výchlopky

- rER, Golgi
- sekreční granula

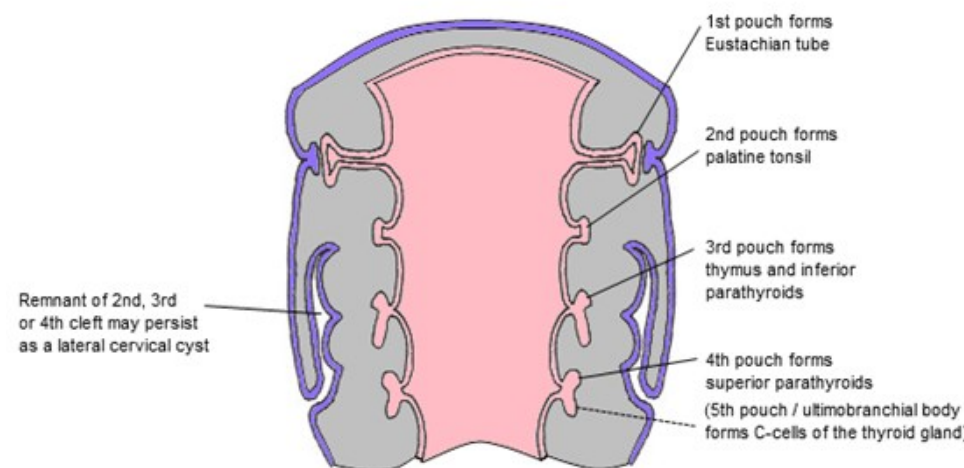
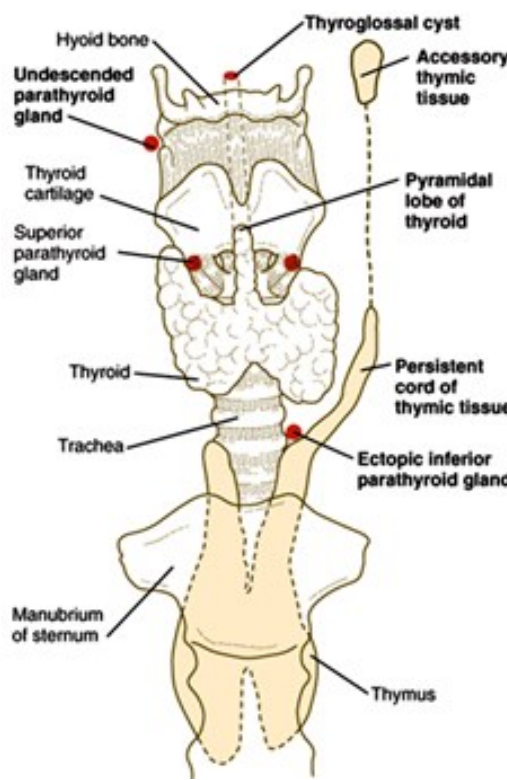
Calcitonin

- metabolismus Ca^{++}



VÝVOJ ŠTÍTNÉ ŽLÁZY

- endodermální proliferace epitelu faryngu mezi *tuberculum impar* a copulou
- slepě zakončený epitelový čep, vazivové stroma z neurální lišty
- obliterující *ductus thyreoglossus* → *foramen caecum*
- ektopická tkáň štítné žlázy



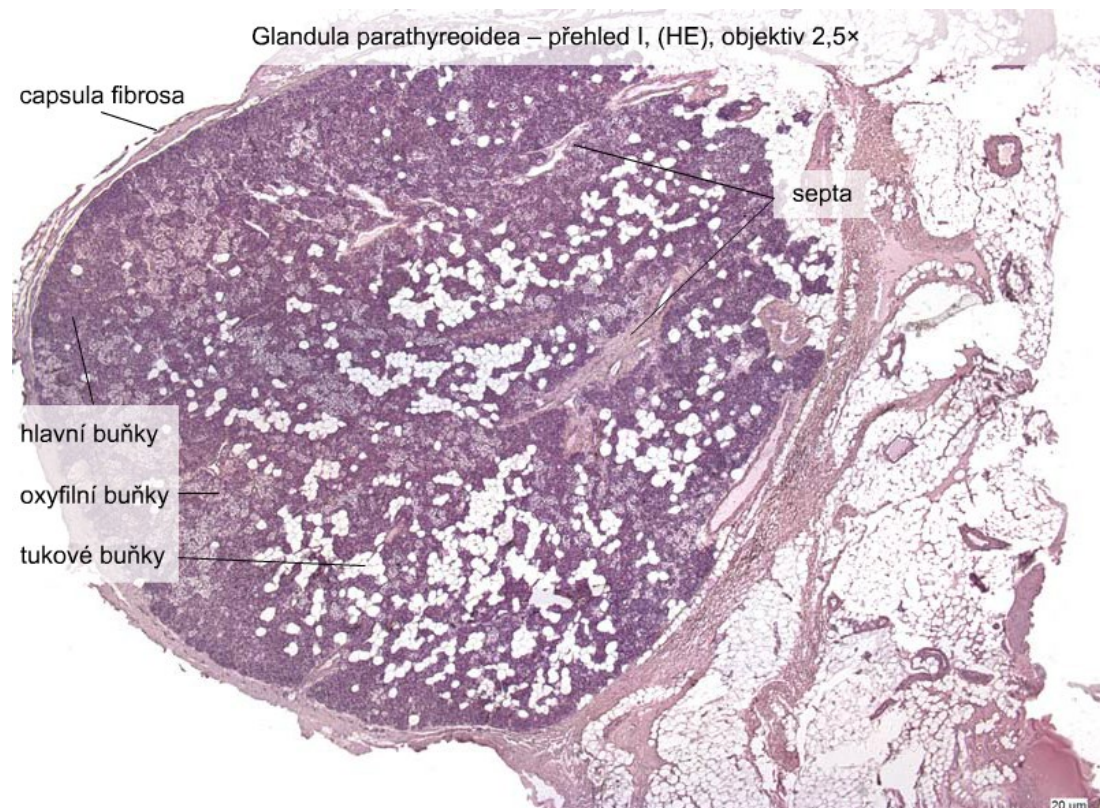
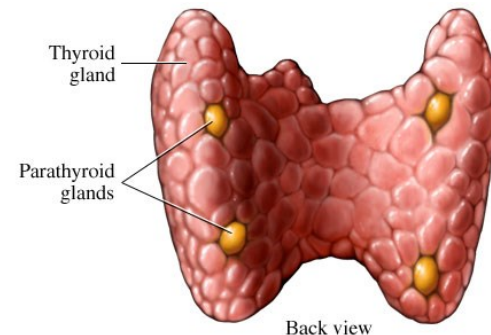
PŘÍSTÍTNÁ ŽLÁZA (GL. PARATHYREOIDEA)

- 6 mm, 130 mg
- Vazivové pouzdro + septa
- Kapilární síť
- Trámce nebo skupiny žlázových buněk

Hlavní

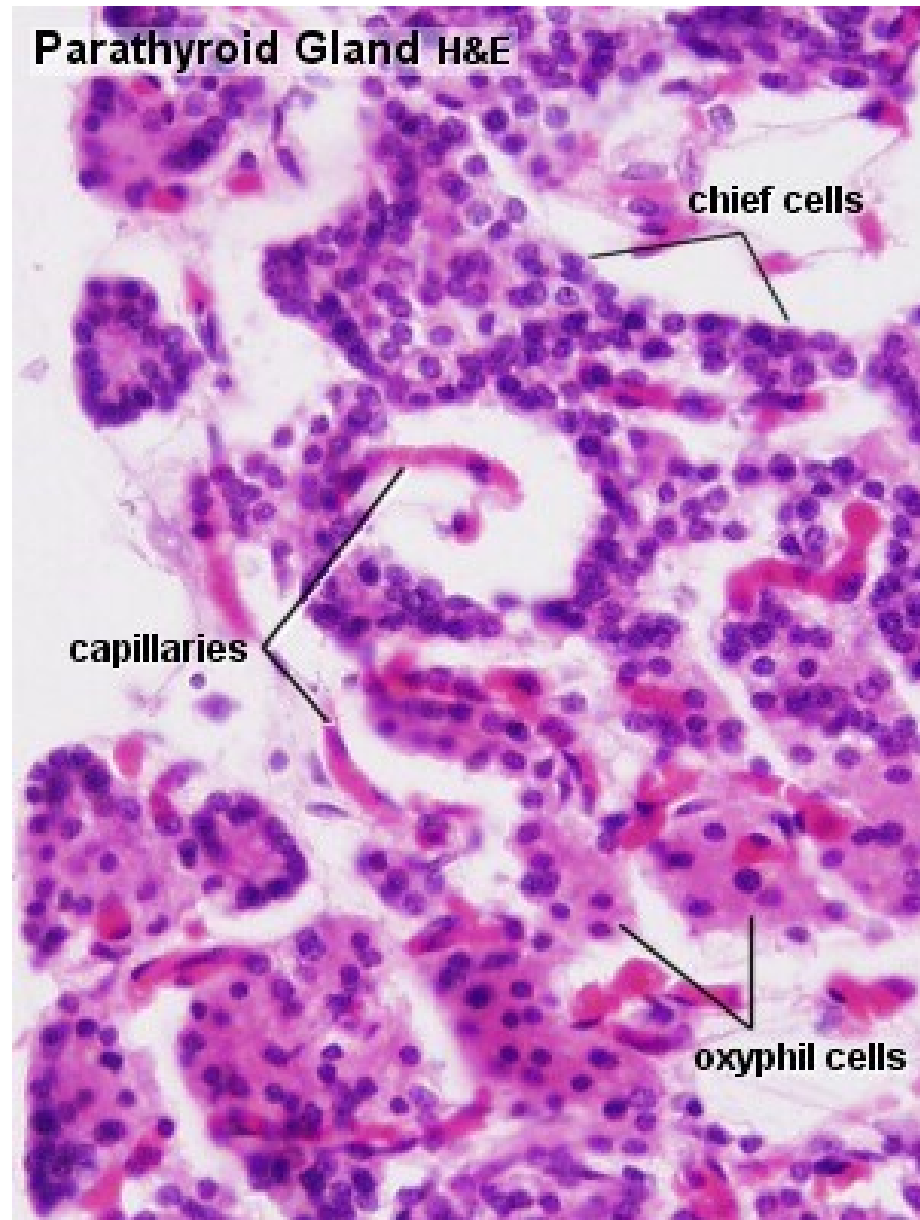
Oxyfilní

Tukové

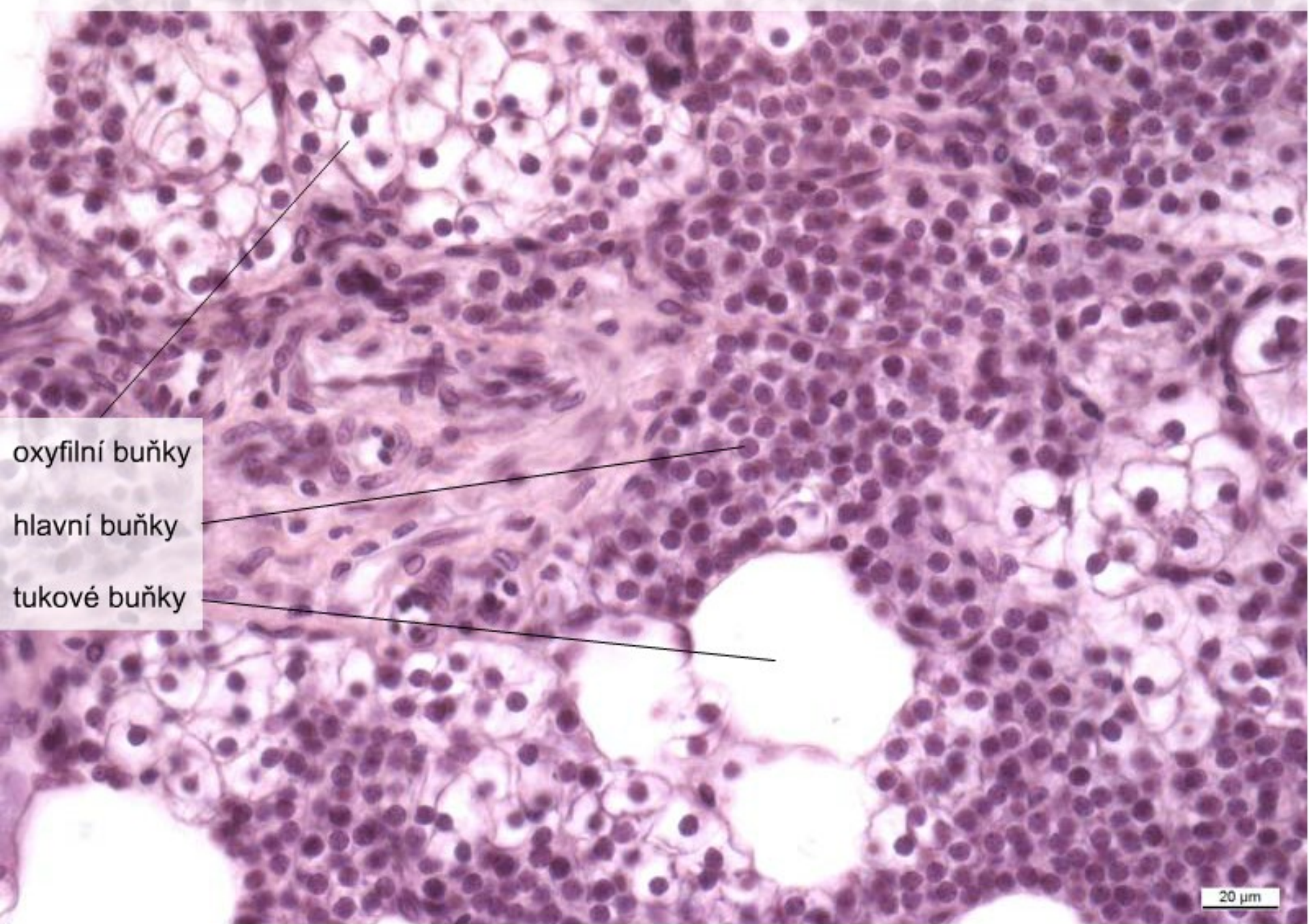


PŘÍSTÍTNÁ ŽLÁZA (GL. PARATHYREOIDEA)

- **Hlavní buňky**
 - nejpočetnější
 - malé buňky (7-10 µm) s velkým jádrem
 - mírně acidofilní
 - PTH – vápníkový metabolismus
- **Oxyfilní**
 - větší, polyedrické,
 - silně acidofilní/eozinofilní
 - kulaté jádro
 - glycogen



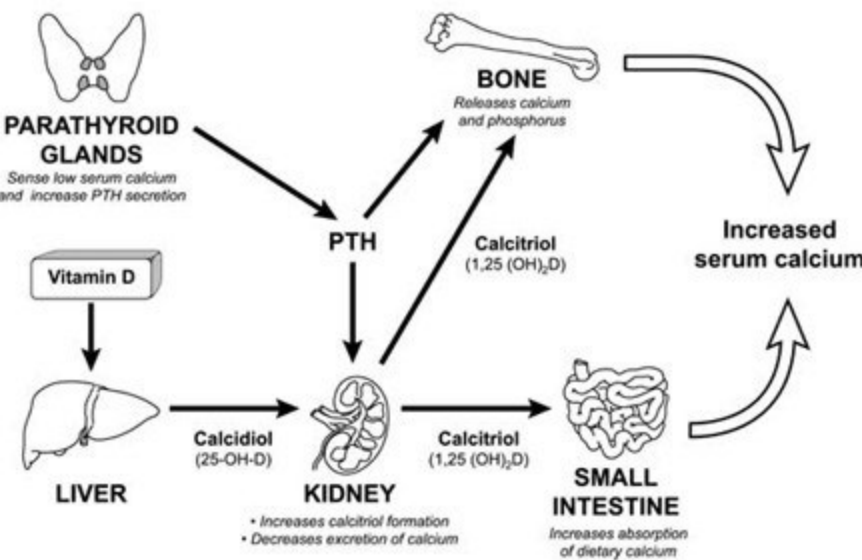
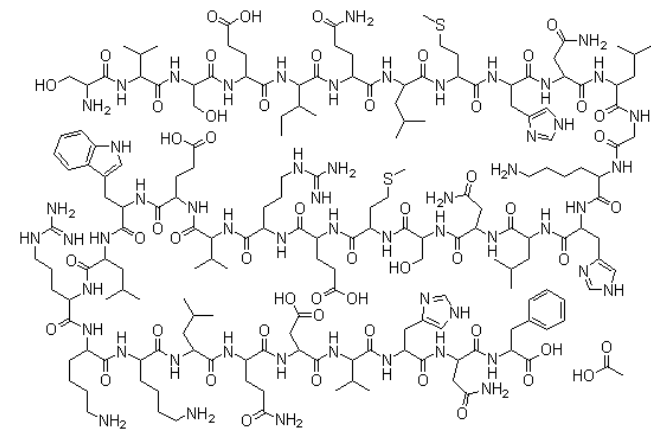
Glandula parathyreoidea – přehled II, (HE), objektiv 40×



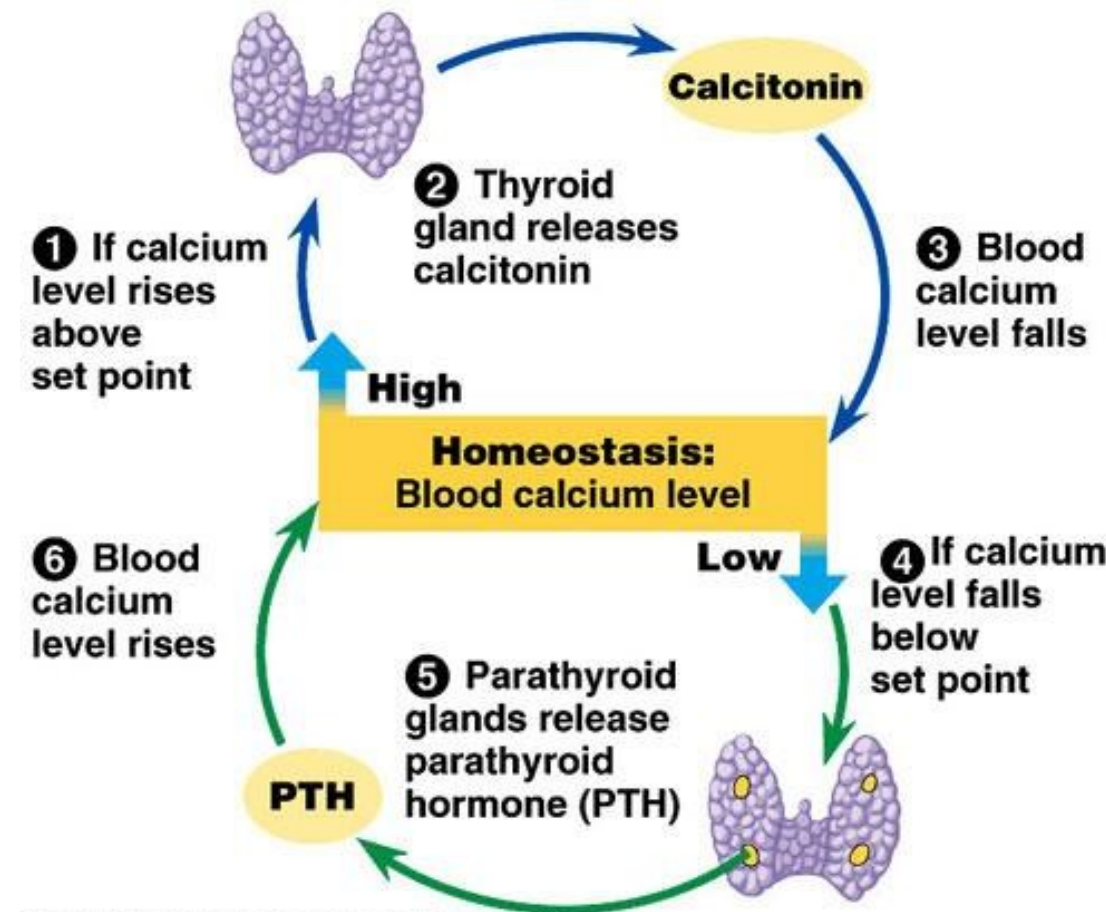
20 µm

Parathyroidní hormon (PTH, parathormone, parathyrin)

- 84 aminokyselin
- stimulace resorpce osteoklasty
- zvyšuje resorpci Ca^{2+} a Mg^{2+} v nefronu
- zvyšuje absorpci Ca^{2+} ve střevě (via vD3)

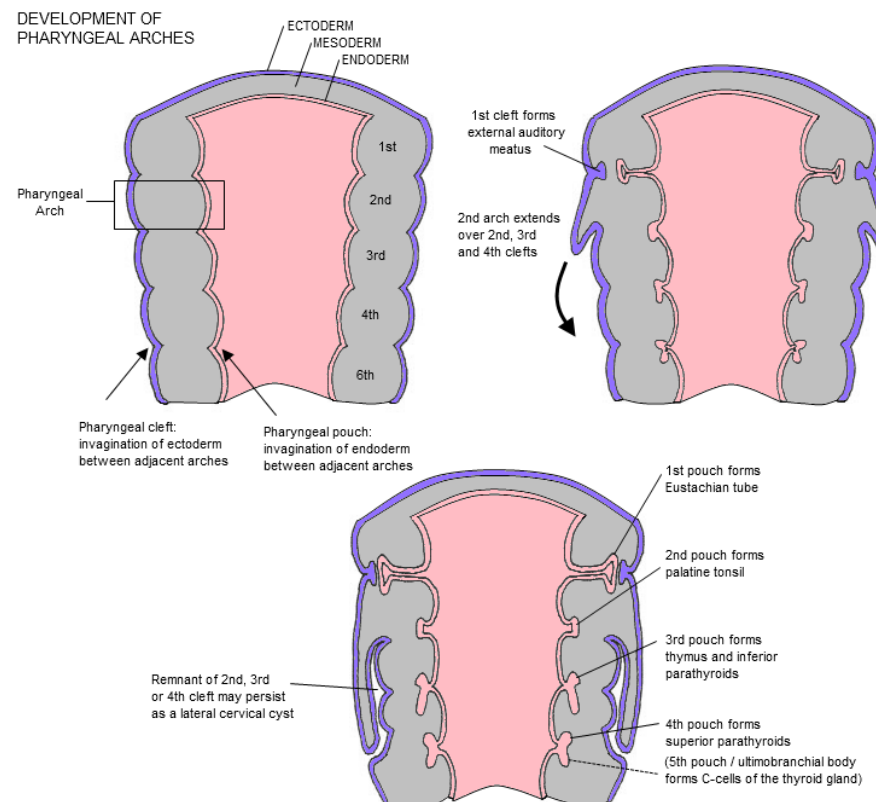


PTH vs. calcitonin

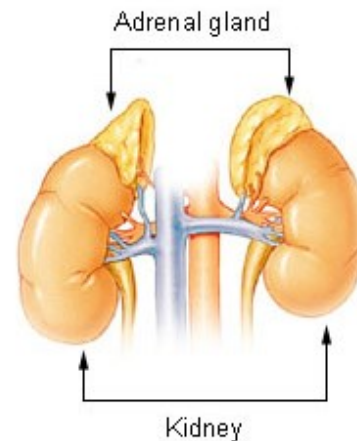
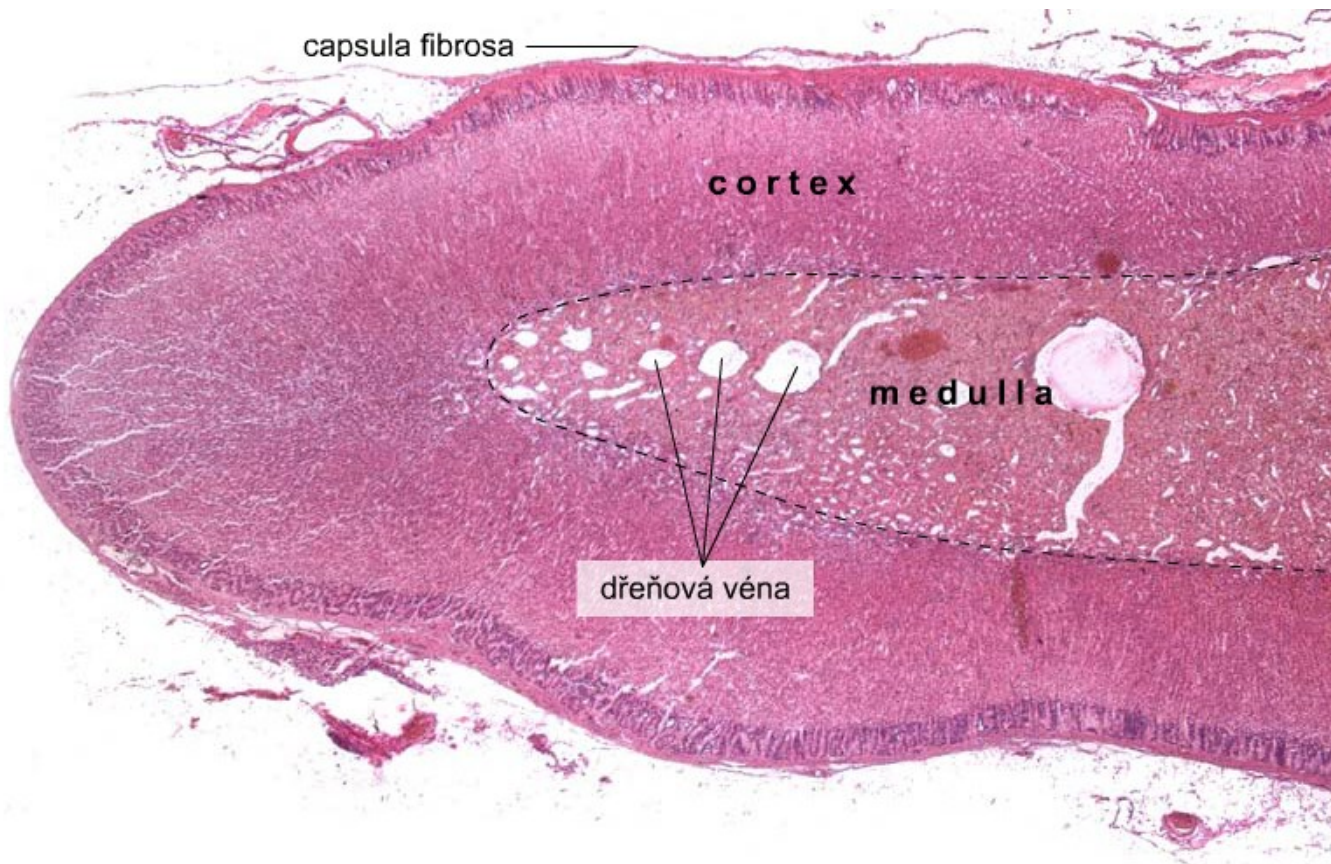


EMBRYONÁLNÍ VÝVOJ PŘÍŠTÍTNÉ ŽLÁZY

- *glandulae parathyroideae superiores* z dorsálního výběžku **4. faryngeální výchlipky**
- *glandulae parathyroideae inferiores* z dorsálního výběžku **3. faryngeální výchlipky**
- společně s thymem sestupují ke spodní části štítné žlázy
- možnost ektopické příštítnej žlázy v thymu nebo mediastinu



NADLEDVINA (CORPUS SUPRARENALIS)



20 µm

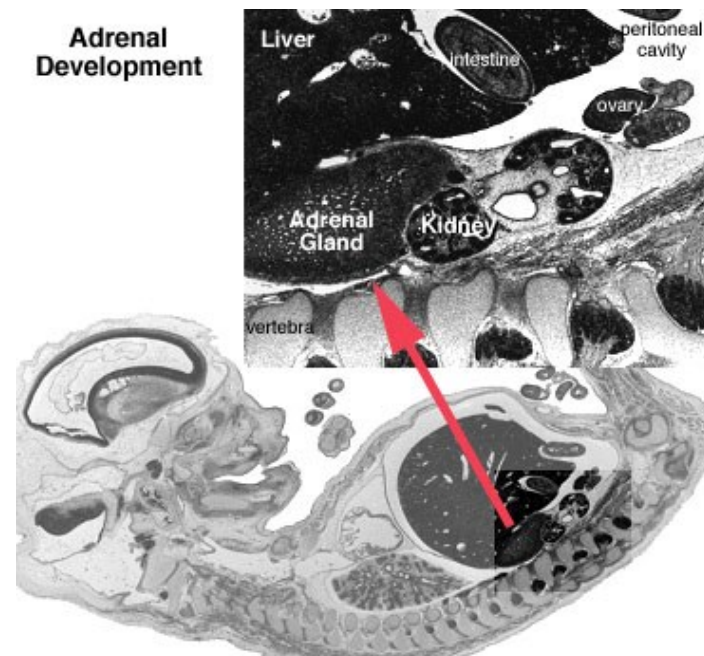
- Vazivový obal + septa
- Kapilární síť
- Různý embryonální původ kůry (coelomový epitel) a dřeně (neuronální lišta - neuroektoderm)

EMBRYONÁLNÍ VÝVOJ NADLEDVINY

Kůra

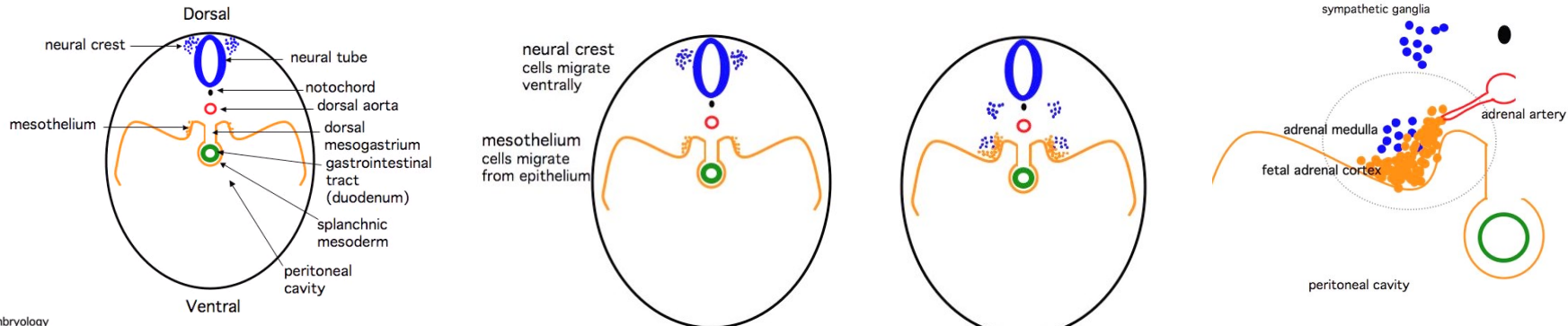
- mesoderm
- coelomový epitel
- primitivní (fetální) kůra: 5. (-6.) týden
- součást fetoplacentární jednotky
- definitivní kůra:
 - druhá vlna proliferace,
 - zona reticularis se plně diferencuje kolem 3. roku života

Adrenal Development

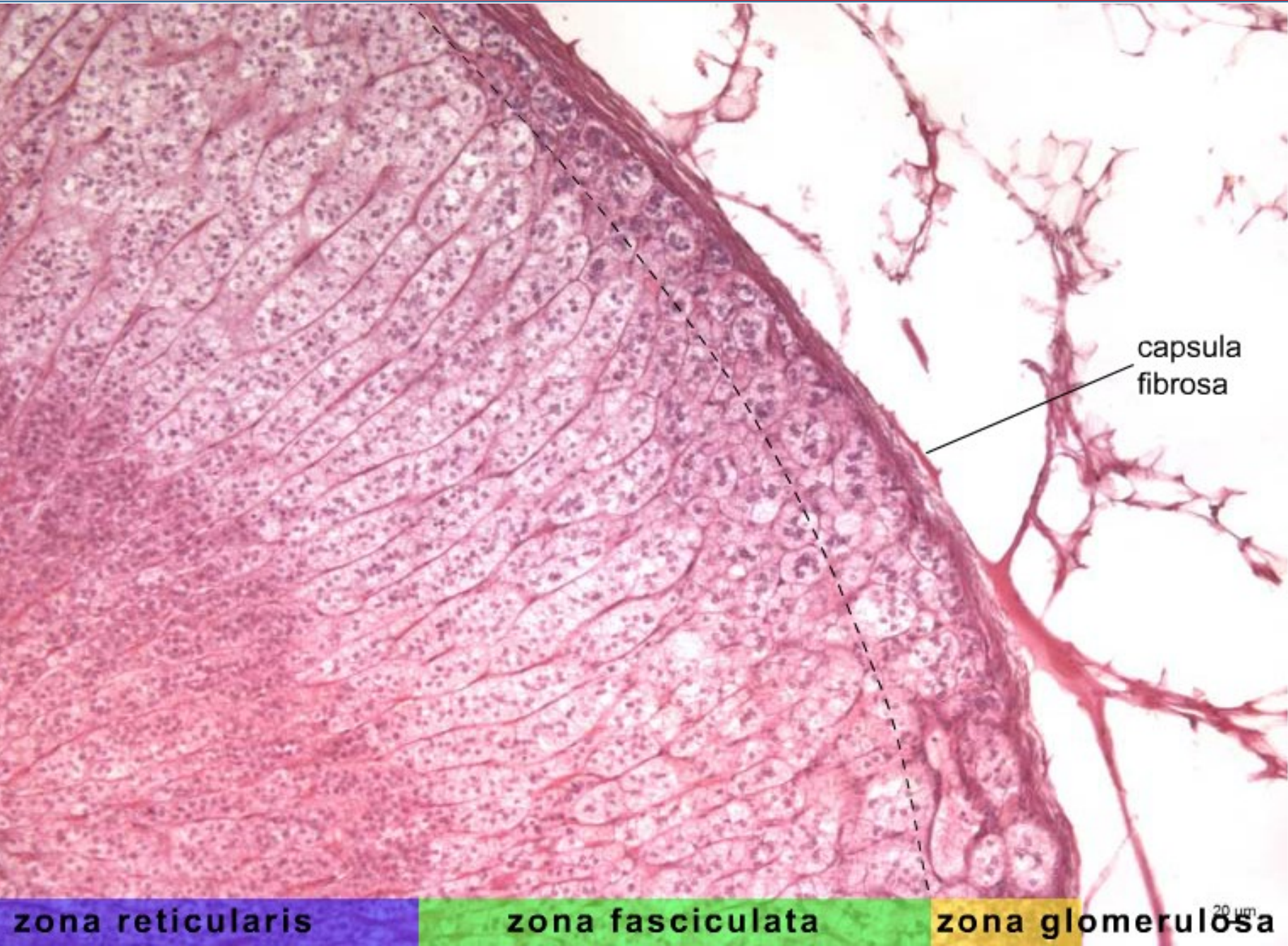


Dřeň

- neurální lišta

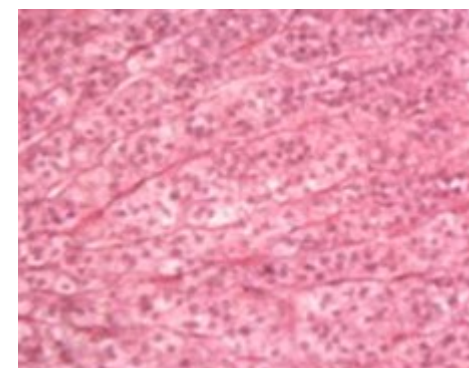
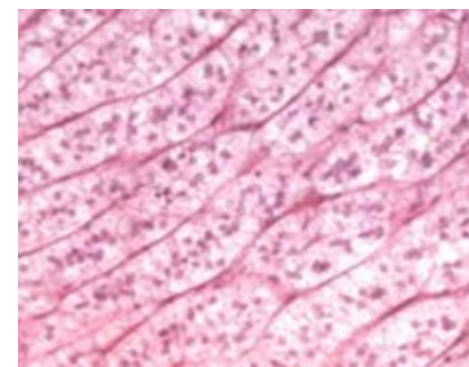
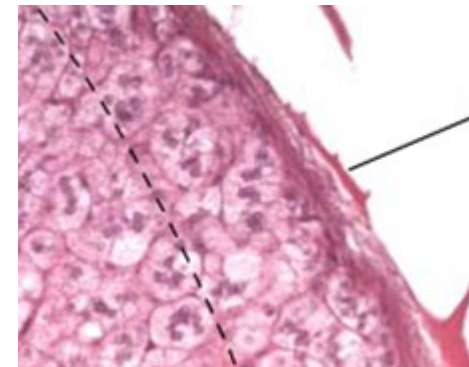


KÚRA NADLEDVINY (CORTEX)



KŮRA NADLEDVINY (CORTEX)

- **steroidogenní buňky**
 - hladké ER, Golgi, lipidové kapénky, početné mitochondrie s tubulárními kristami
 - steroidní hormony cortexu = CORTICOSTEROIDY
-
- **Zona glomerulosa (1/10)**
 - tenká vrstva pod vazivovým obalem
 - malé buňky, klubíčka
 - nepočetné lipidové kapénky
 - **mineralokortikoidy** (aldosteron)
-
- **Zona fasciculata (6/10)**
 - radiálně uspořádané trabekuly
 - lipidové kapénky v cytoplazmě
 - **glucocorticoids** (kortisol)
-
- **Zona reticularis (3/10)**
 - větvené trámce malých, acidofilních buněk
 - lipofuscin
 - **androgenní prekurzory**



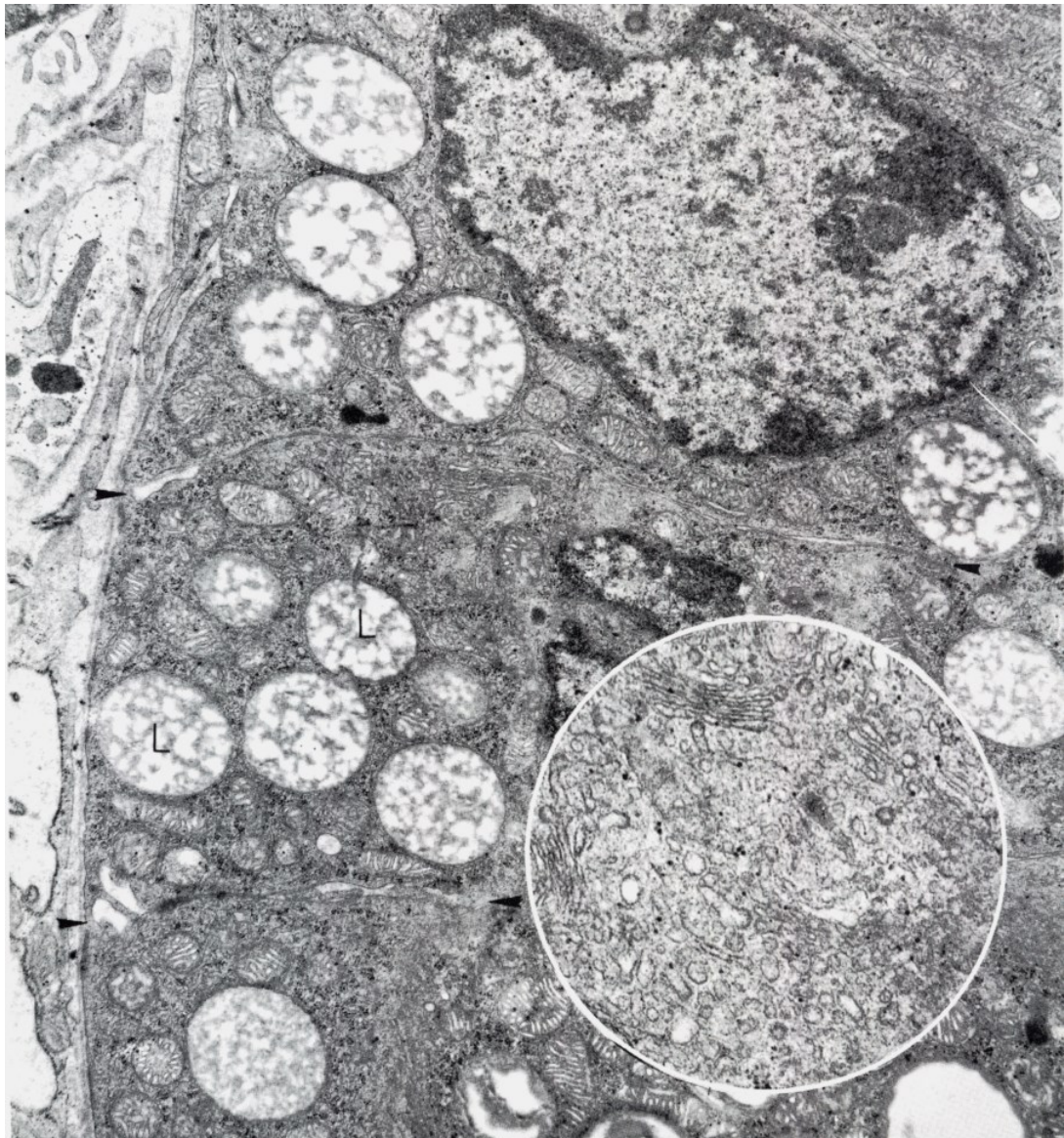
HORMONY KŮRY NADLEDVINY

- Steroidy produkované v kortexu
= KORTIKOSTEROIDY
- Steroidogenní buňky
 - SER, lipidové kapénky, mitochondrie
 - *mineralokortikoidy*
 - *glukokortikoidy*
 - *androgeny*

Aldosteron – zona glomerulosa

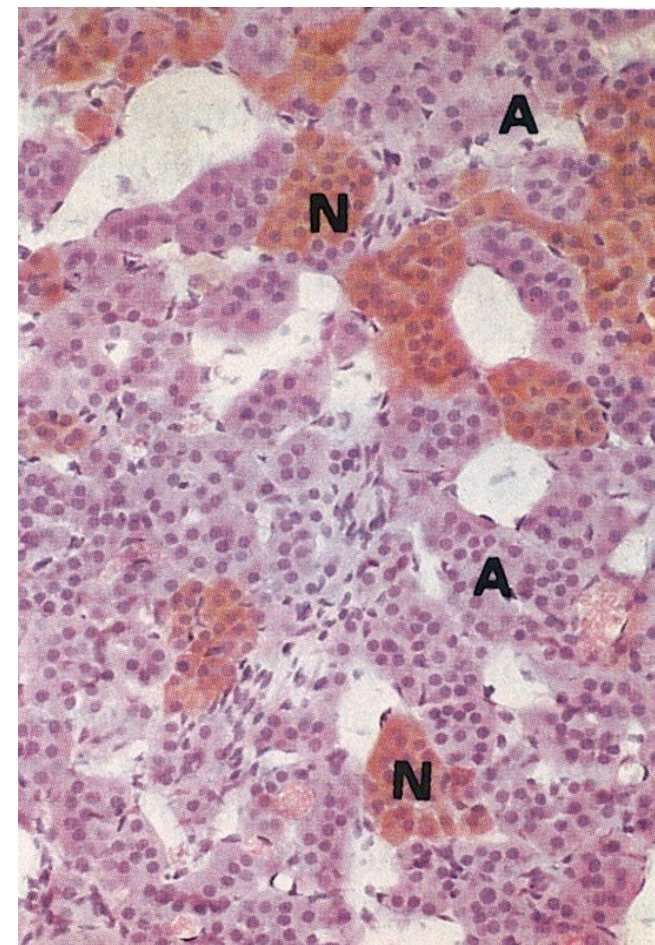
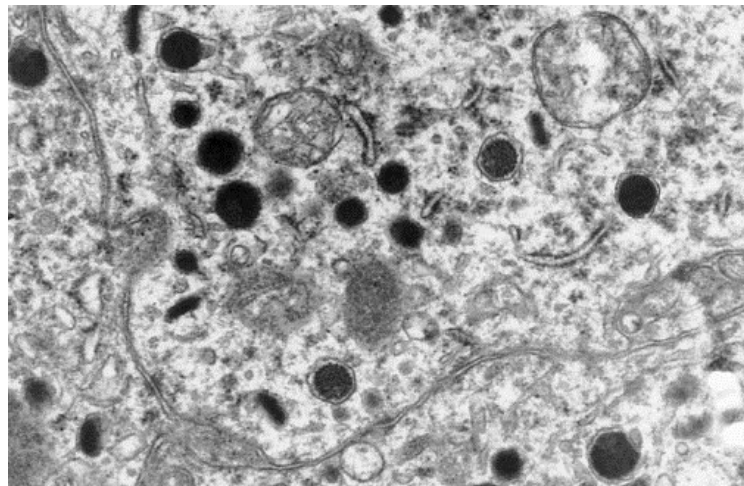
Kortisol – zona fasciculata

Testosteron – zona reticularis



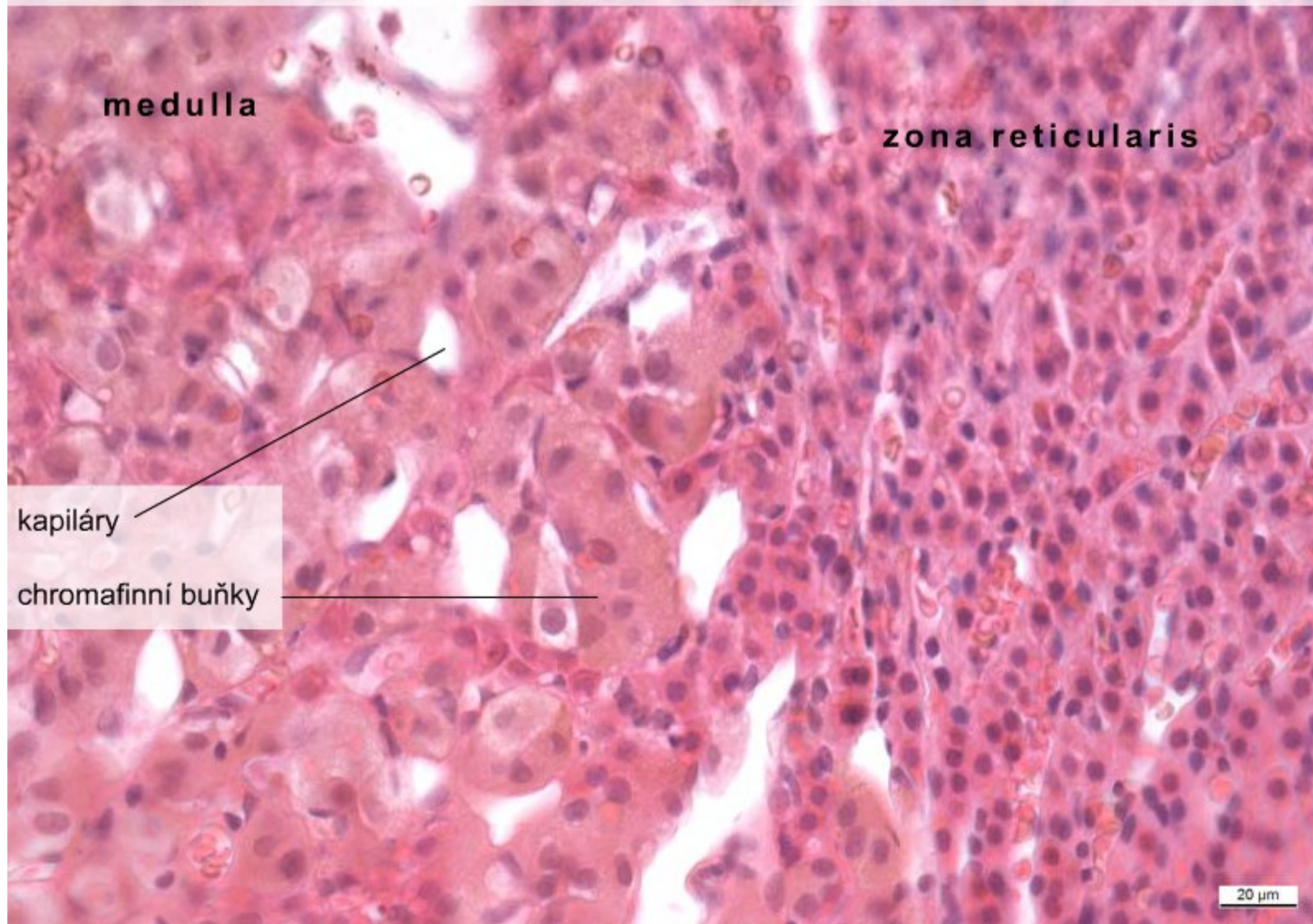
DŘEŇ NADLEDVINY

- Shluky žlázových buněk v retikulárním vazivu
 - chromaffinní buňky – modifikované postganglionové neurony
 - ganglionové buňky (A, N)
 - kapiláry, venuly, nervová vlákna
- adrenalin a noradrenalin



DŘEŇ NADLEDVINY

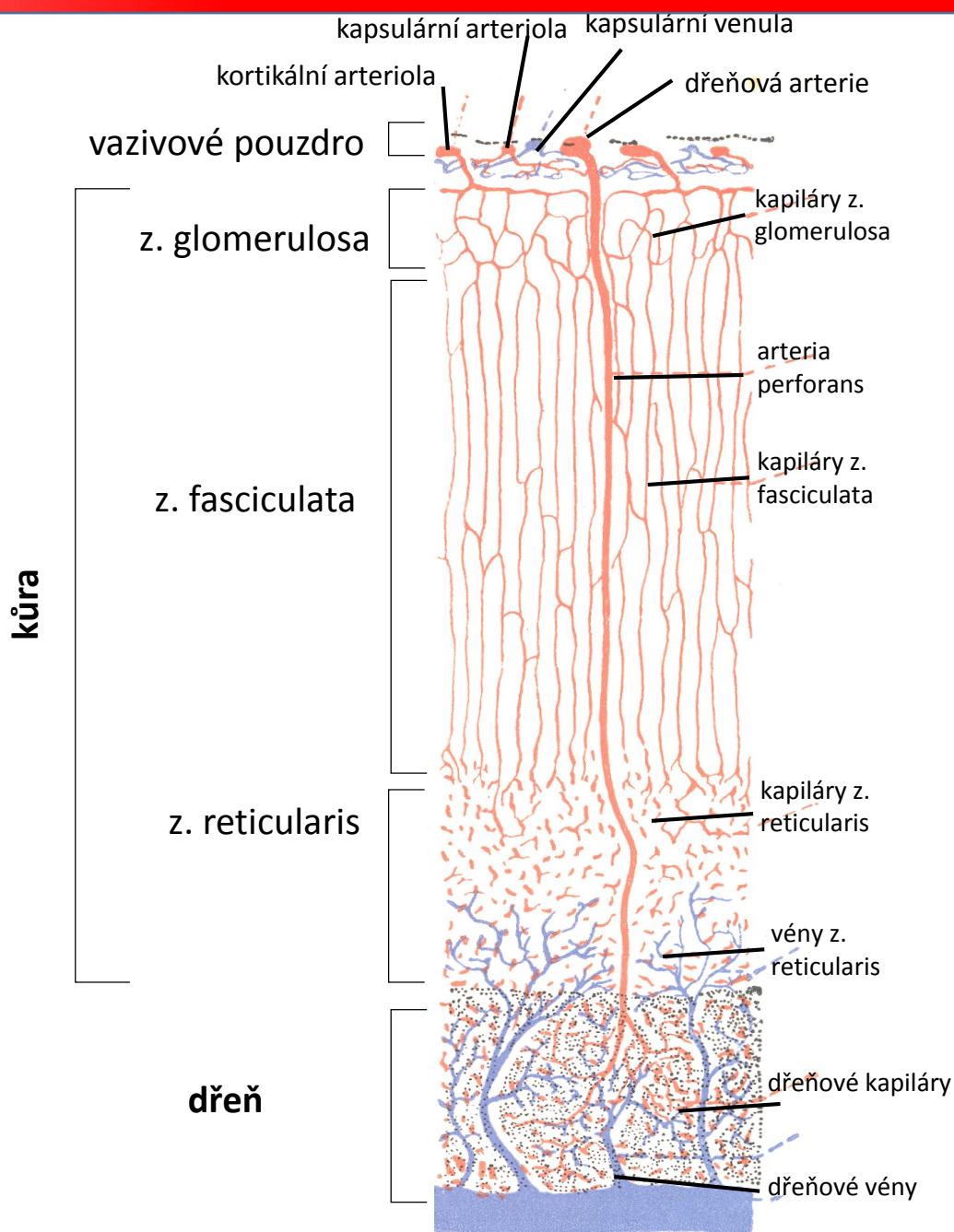
Corpus suprarenale – medulla, (HE), objektiv 40×



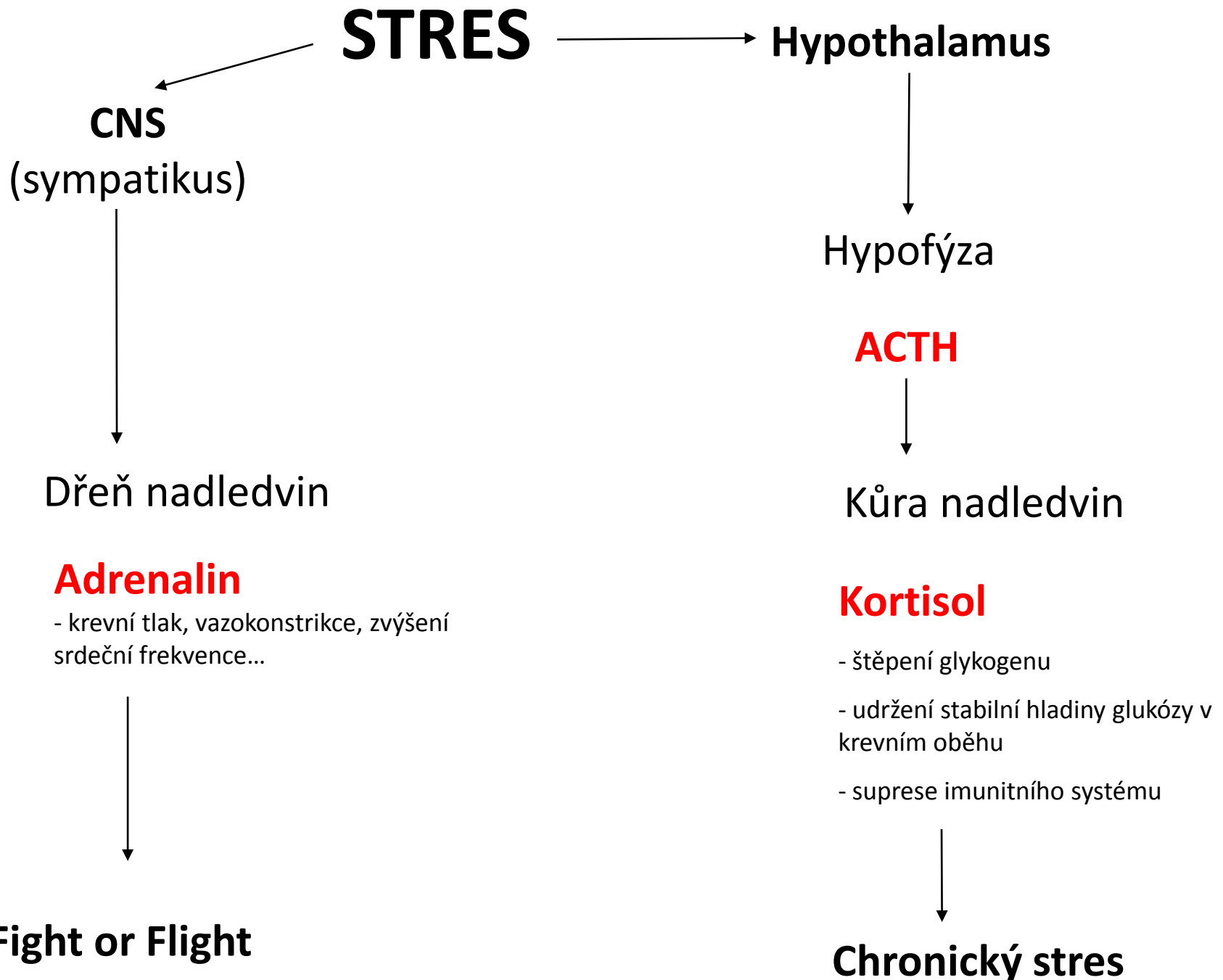
VASKULARIZACE NADLEDVINY

arteriae suprarenales (3) → arteriální plexus kůry pod vazivovým pouzdrem → radiálně orientované fenestrované sinusoidní kapiláry přecházející do kapilár dřeně → dřeňové vény → *v. suprarenalis*

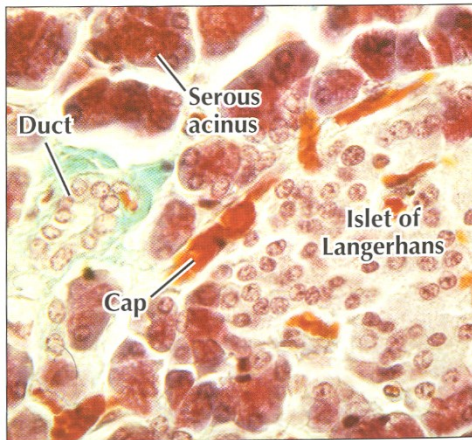
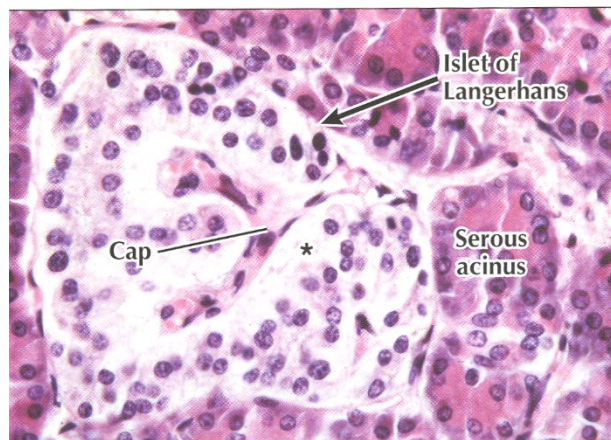
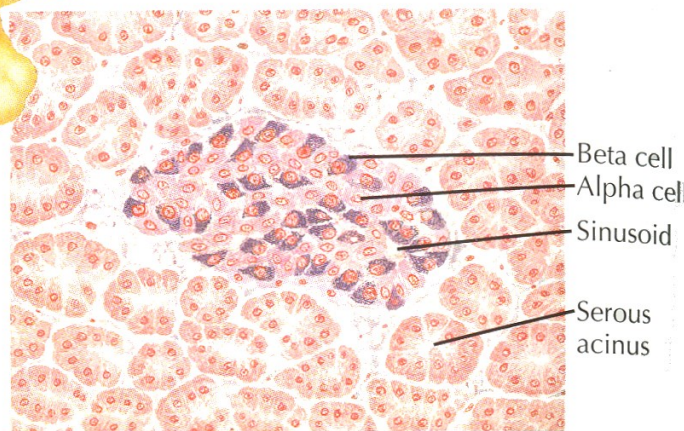
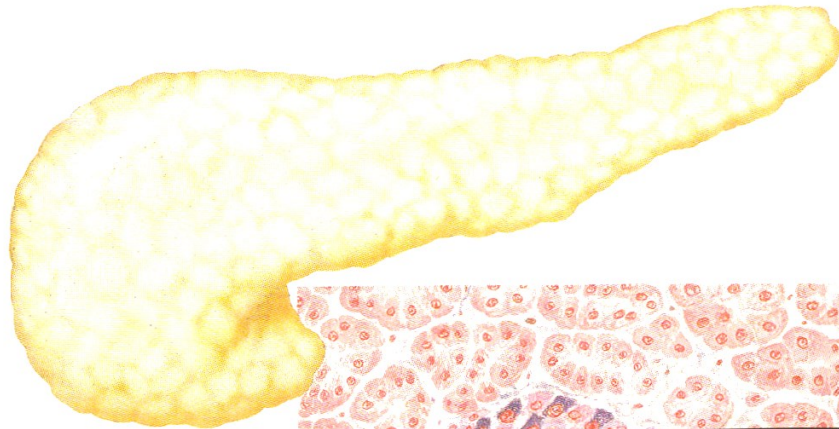
→ Medulární buňky pod vlivem hormonů kůry



Region (zóna)		Hormony	Cílová tkáň	Hormonální efekt	Kontrola
Kůra	Zona glomerulosa	Mineralokortikoidy (aldosteron)	Ledviny	Zvýšení renální reabsorpce Na ⁺ a vody Synergický efekt s ADH Vylučování K ⁺	součást renin-angiotensinového systému, produkce na základě zvýšené hladiny K ⁺ nebo nízké hladiny Na ⁺
	Zona fasciculata	Glukokortikoidy (hydrokortison)	Většina buněk	Uvolnění aminokyselin ze svalů, lipidů z tukové tkáně, periferní utilizace lipidů protizánětlivé účinky	Stimulace ACTH
	Zona reticularis	Androgeny	Většina buněk	U dospělých mužů nepodstatný U dětí a žen růst kostí, svalů, krvetvorba	Stimulace ACTH
Dřeň		Epinefrin, norepinefrin	Většina buněk	Zvýšení srdeční aktivity, centralizace oběhu, bronchodilatace, glykogenolýza, regulace glykémie	Sympatikus



LANGERHANSOVY OSTRUVKY PANKREATU



Paul Langerhans
1847 – 1888)

Beiträge
zur mikroskopischen Anatomie der
Bauchspeicheldrüse.

INAUGURAL-DISSESSATION,

zur
ERLANGUNG DER DOCTORWÜRDE

IN DER

MEDICIN UND CHIRURGIE

VORLESUNG DER

MEDICINISCHEN FACULTÄT

DER FRIEDRICH-WILHELM-UNIVERSITÄT

ZU BERLIN

UND ÖFFENTLICH ZU VERTRÄDENDE

am 18. Februar 1869

von

Paul Langerhans
aus Berlin.

OPPONENTEN:

O. Loewi de Mars, Dd. med.
O. Soltmann, Dd. med.
Paul Euge, Stud. med.

BERLIN.

BUCHDRUCKEREI VON GUSTAV LANGE.

LANGERHANSOVY OSTRŮVKY PANKREATU



PROFESSEUR LAGUESSE

Prof. d'Histologie à la Faculté de Médecine de Lille.

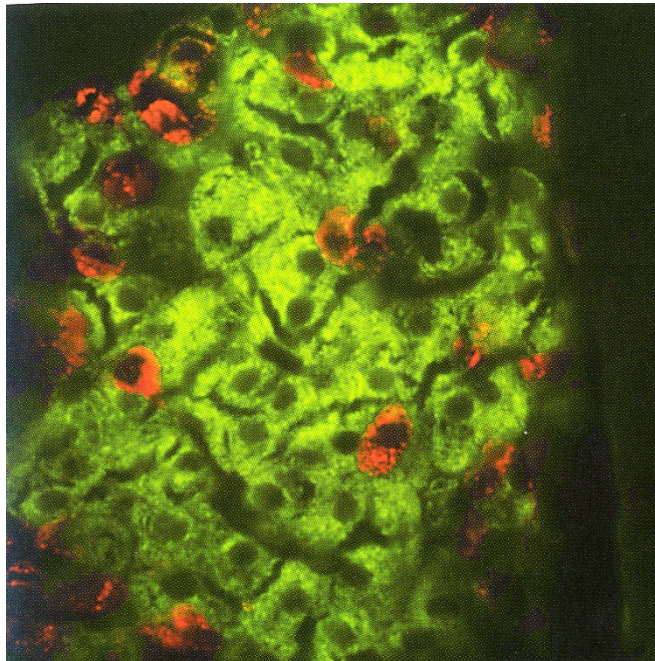
DESCHIENS, éditeur.

Laguesse E. Sur la formation des îlots de Langerhans dans le páncreas. Comptes Rend Soc Biol 1893;5 (Series 9k.819-20)



On July 27, 1921, Sir Frederick Banting and Charles Best succeeded in isolating insulin from canine pancreases and thereby discovered the first effective treatment for diabetes mellitus.

LANGERHANSOVY OSTRŮVKY PANKREATU



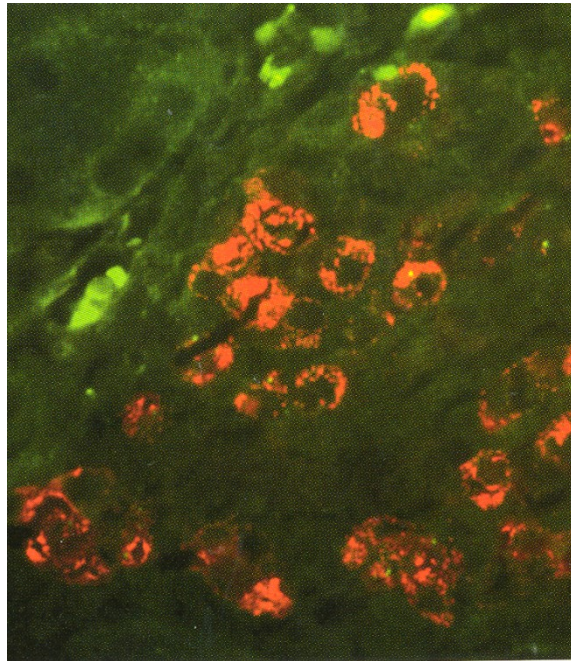
B-cells producing insulin

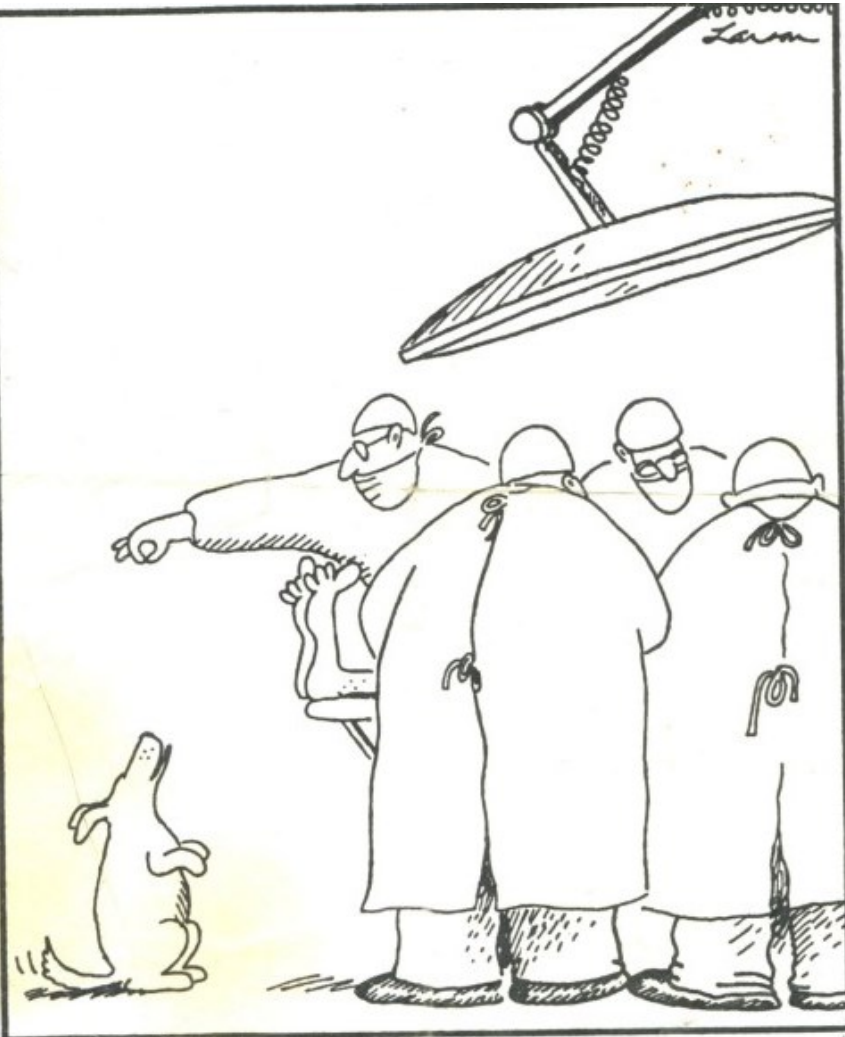
Ab-anti insulin –Alexa Fluor



A-cells producing glucagon

Ab-anti glukagon –Texas Red





Děkuji za pozornost

Dotazy a komentáře
pvanhara@med.muni.cz